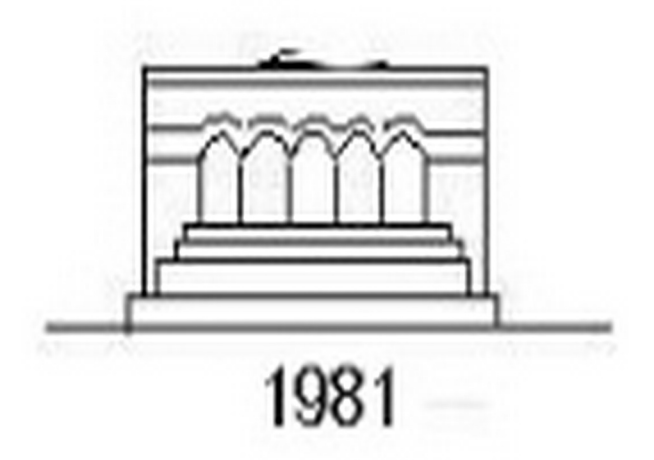
ՄԵԽԱՆԻԿԱ

МЕХАНИКА

MECHANICS



Մեխանիկա

XXXIV. No 3, 1981

Мехапика

А. Г. АВЕТИСЯН

ИССЛЕДОВАНИЕ ПОВЕДЕНИЯ НАПРЯЖЕНИЙ ОКОЛО ЖЕСТКО ЗАЩЕМЛЕННОЙ ВЕРШИНЫ СОСТАВНОГО УПРУГОГО КЛИНА

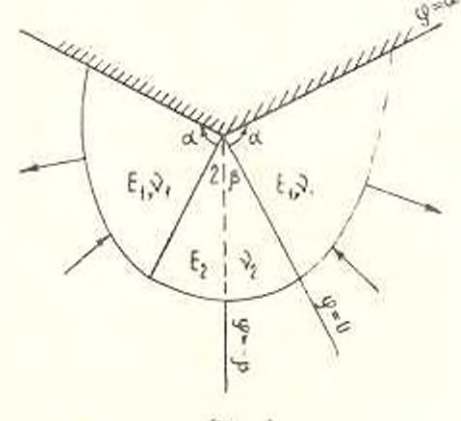
Исследование напряженного состояния вблизи края поверхности контакта составного упругого тела проведено в работах [1—11].

В настоящей работе при помощи местного решения плоской задачи теории упругости [4] исследуется напряженное состояние около края поверхности соединения в композиции, представляющей из себя спай трех плоских клиньев, соединенных по боковым сторонам. Края составного клина заделаны. Материалы боковых клиньев одинаковы и углы раствора равны. На замыкающей части контура составного клина задана внешняя нагрузка, обуславливающая плоскую деформацию или плоское напряженное состояние.

Решение рассматриваемой задачи приводится к отысканию кория трансцендентного уравнения.

Анализ результатов вычислений, проведенных для трех серий значений няти параметров задачи для плоского напряженного состояния составного клина, показывает, что характер напряженного состояния около рассматриваемого края поверхности соединения существенным образом зависит от упругих деформативных характеристик соединенных материалов и от геометрии соединения.

1. Пусть тело изготовлено из трех спаянных между собой по боковым поверхностям цилиндрических тел. Поперечным сечением тела является составной клин с заделанными краями и углом раствора 2(α+β). Материалы боковых клиньев одинаковы с одинаковым углом раствора α, а между боковыми клиньями расположен клин из другого материала с углом раствора 2β (фиг. 1).



Dier. I.

Вследствие симметричности задачи на динии симметрии выполняются условия симметрии или идентичные им условия гладкого контакта и можно считать, что одновременно рассматривается аналогичная задача для клина, составленного из двух материалов с углом раствора $\alpha + \beta$, сторона $\phi = \alpha$

(в полярной системе координат I, ϕ) которого заделана, а на стороне $\phi = -\beta$ выполняются условия гладкого контакта. Линия контакта материалов принимается за полярную ось ($\phi = 0$), на замкнутой части контура действует внешняя нагрузка (ϕ иг. 1).

При отсутствии массовых сил компоненты напряжений через функцию напряжений Эри Ф в полярных координатах выражаются формулами

$$\sigma_r = \frac{1}{r} \frac{\partial \Phi}{\partial r} + \frac{1}{r^2} \frac{\partial^2 \Phi}{\partial z^2} = \frac{\partial^2 \Phi}{\partial r^2} = \frac{\partial}{\partial r} \left(\frac{1}{r} \frac{\partial \Phi}{\partial r} \right) \tag{1.1}$$

Функция Ф (г, ц) в областях I и II (фиг. 1) удовлетворяет бигармоническому уравнению

$$\Delta^{2}\Phi_{1} = \left(\frac{\partial^{2}}{\partial r^{2}} + \frac{1}{r}\frac{\partial}{\partial r} + \frac{1}{r^{2}}\frac{\partial^{2}}{\partial z^{2}}\right)^{2}\Phi_{1} = 0 \quad i = 1, 2 \quad (1.2)$$

Решение уравнения (1.2) в областях 1 и 11 имеет вил [4]

$$\Phi_i = r^{k+1} \Theta_i(i, \varphi) \tag{1.3}$$

rze

$$\Theta_{i} = A_{i1} \sin(i+1) + A_{i2} \cos(i+1) + A_{i3} \sin(i-1) + A_{i4} \cos(i-1) + A_{i$$

 A_{ij} (i=1, 2; j=1, 2, 3, 4) — постоянные интегрирования; i=1, 2, 3, 4 некоторый нараметр.

Краевые условия и условия на линии контакта в случае плоского напряженного состояния через функцию Ф имеют следующий вид [12]:

$$\frac{1}{r} \frac{\partial \Phi_1}{\partial r} + \frac{1}{r^2} \frac{\partial^2 \Phi_1}{\partial \varphi^2} - \nu_e \frac{\partial^2 \Phi_1}{\partial r^2} = 0$$

$$(2 + \nu_e) \left(\frac{1}{r} \frac{\partial^3 \Phi_1}{\partial r^2 \partial \varphi} - \frac{2}{r^2} \frac{\partial^2 \Phi_1}{\partial r \partial \varphi} + \frac{2}{r^3} \frac{\partial \Phi_1}{\partial \varphi} \right) + \frac{3}{r^2} \frac{\partial^2 \Phi_1}{\partial r \partial \varphi} - \frac{2}{r^3} \frac{\partial^2 \Phi_1}{\partial \varphi} - \frac{2}{r^3} \frac{\partial^2 \Phi_1}{\partial \varphi} - \frac{2}{r^3} \frac{\partial^2 \Phi_1}{\partial \varphi} \right) + \frac{3}{r^2} \frac{\partial^2 \Phi_1}{\partial r \partial \varphi} - \frac{2}{r^3} \frac{\partial^2 \Phi_1}{\partial \varphi} = 0 \qquad \text{при} \quad \varphi = \pi$$

$$(2 + 1) \left(\frac{1}{r} \frac{\partial^3 \Phi_2}{\partial r^2 \partial \varphi} - \frac{2}{r^2} \frac{\partial^2 \Phi_2}{\partial r \partial \varphi} + \frac{2}{r^3} \frac{\partial \Phi_2}{\partial \varphi} \right) + \frac{3}{r^2} \frac{\partial^2 \Phi_2}{\partial r \partial \varphi} - \frac{2}{r^2} \frac{\partial^2 \Phi_2}{\partial r \partial \varphi} - \frac{2}{r^3} \frac{\partial^2 \Phi_2}{\partial \varphi} - \frac{1}{r^3} \frac{\partial^3 \Phi_2}{\partial \varphi} = 0$$

$$- \frac{2}{r^3} \frac{\partial \Phi_2}{\partial \varphi} + \frac{1}{r^3} \frac{\partial^3 \Phi_2}{\partial \varphi} = 0 \qquad \text{при} \quad \varphi = -\frac{1}{r} \frac{\partial^2 \Phi_2}{\partial r \partial \varphi} + \frac{1}{r^2} \frac{\partial^2 \Phi_2}{\partial \varphi} - \frac{\partial^2 \Phi_2}{\partial \varphi} - \frac{\partial^2 \Phi_2}{\partial \varphi} - \frac{1}{r^3} \frac{\partial^2 \Phi_2}{\partial r^2} - \frac{\partial^2 \Phi_2}{\partial r^2} \right) = \frac{1}{E_1} \left(\frac{1}{r} \frac{\partial \Phi_1}{\partial r} + \frac{1}{r^2} \frac{\partial^2 \Phi_2}{\partial \varphi} - \frac{\partial^2 \Phi_2}{\partial \varphi^2} - \frac{\partial^2 \Phi_2}{\partial r^2} \right) \qquad (1.6)$$

$$\frac{1}{E_1} \left[(2 + \gamma_1) \left(\frac{1}{r} \frac{\partial}{\partial r^2 \partial \varphi} - \frac{2}{r^2} \frac{\partial^2 \Phi_1}{\partial r \partial \varphi} + \frac{2}{r^3} \frac{\partial}{\partial \varphi} \right) + \frac{3}{r^3} \frac{\partial}{\partial r \partial \varphi} - \frac{2}{r^3} \frac{\partial \Phi_1}{\partial \varphi} + \frac{1}{r^3} \frac{\partial^3 \Phi_1}{\partial \varphi^3} \right] =$$

$$= \frac{1}{E} \left[2 - \left(\frac{1}{r} \frac{\partial^3 \Phi_2}{\partial r^2 \partial \varphi} - \frac{2}{r^3} \frac{\partial^2 \Phi_2}{\partial r \partial \varphi} + \frac{2}{r^3} \frac{\partial \Phi_1}{\partial \varphi} \right) - \frac{3}{r^2} \frac{\partial^2 \Phi_2}{\partial r \partial \varphi} - \frac{2}{r^3} \frac{\partial \Phi_2}{\partial \varphi} + \frac{1}{r^3} \frac{\partial^3 \Phi_2}{\partial \varphi^3} \right] \quad \text{nph } z = 0$$

где E_i и v_i (i=1,2) — модули упругости и коэффициенты Пуассона материалов. Для плоской деформации вместо v_i подставляется $v_i/(1-v_i)$.

Удовлетворяя (1.5) я (1.6), получаем систему линейных алгебраических уравнений относительно постоянных интегрирования A_{ii} (i = 1, 2; j = 1, 2, 3, 4)

$$\lambda \left[v_{1} \ \lambda^{+} \ s_{1}^{-} A_{11} + v_{1}^{-} \lambda^{-} c_{1} A_{12} + (v_{1}^{-} \lambda^{+} - 4) s_{1} A_{13} + (v_{1}^{-} \lambda^{+} - 4) c_{1} A_{14} \right] = 0$$

$$\lambda \left[\lambda \left[v_{1} \ \lambda^{-} c_{1} A_{11} - v_{1}^{+} \lambda^{-} s_{1} A_{12} + (v_{1}^{-} \lambda^{-} + 4) c_{1} A_{13} - (v_{1}^{-} \lambda^{-} + 4) s_{1} A_{11} \right] = 0$$

$$\lambda \left[v_{2}^{-} \lambda^{-} c_{2}^{-} A_{21} + v_{2}^{-} \lambda^{-} s_{2}^{-} A_{22} + (v_{1}^{-} \lambda^{-} + 4) c_{2} A_{23} + (v_{2}^{+} \lambda^{-} - 4) s_{2} A_{24} \right] = 0$$

$$\lambda \left\{ \frac{1}{E_{1}} \left[v_{1}^{+} \lambda^{-} A_{12} + (v_{1}^{+} \lambda^{-} - 4) A_{1} \right] - \frac{1}{E_{2}} \left[v_{2}^{+} \lambda^{+} A_{22} + (v_{1}^{-} \lambda^{-} - 4) A_{24} \right] \right\} = 0$$

$$\lambda \left\{ \frac{1}{E_{1}} \left[v_{1}^{+} \lambda^{+} A_{12} + (v_{1}^{+} \lambda^{-} - 4) A_{1} \right] - \frac{1}{E_{2}} \left[v_{2}^{+} \lambda^{+} A_{22} + (v_{2}^{-} \lambda^{-} + 4) A_{24} \right] \right\} = 0$$

$$\lambda \left\{ \frac{1}{E_{1}} \left[v_{1}^{+} \lambda^{+} A_{11} + (v_{1}^{-} + 4) A_{13} \right] - \frac{1}{E_{2}} \left[v_{2}^{-} \lambda^{+} A_{22} + (v_{2}^{-} \lambda^{-} + 4) A_{24} \right] \right\} = 0$$

$$A_{12} - A_{14} - A_{22} - A_{24} = 0$$

$$\lambda^{-} A_{13} + \lambda^{-} A_{23} - \lambda^{-} A_{23} = 0$$
(1.7)

В системе (1.7) для краткости приняты обозначения

$$s_1^+ = \sin((\lambda + 1)\alpha, \ s_2^+ = \sin((\lambda - 1)\beta, \ s_1^- = \sin((\lambda - 1)\alpha, \ s_2^- = \sin((\lambda - 1)\beta)$$

$$c_1^+ = \cos((\lambda + 1)\alpha, \ c_2^- = \cos((\lambda + 1)\beta, \ c_1^- = \cos((\lambda - 1)\alpha, \ c_2^- = \cos((\lambda - 1)\beta)$$

$$\lambda^+ = \lambda + 1, \quad \lambda^- = \lambda - 1, \quad y_1^+ = y_1 + 1 \quad i = 1, 2$$

Для существования нетривнального решения однородной системы (1.7) необходимо, чтобы ее определитель равнялся нулю

$$\Delta(\lambda, \mu, \nu_1, \nu_2, \alpha, \theta) = 0$$

который после ряда громоздких преобразований приводится к трансцеидентному уравнению относительно х

$$\Delta = -\frac{64 \, \kappa^6 \, \lambda^{-3}}{E_1} \left\{ m_1^2 \, \mu \, \kappa \sin 2 \, (\alpha + \beta) + \left[m_1^2 - m_1^2 \, \mu - m_1^2 \, \mu \right] - m_1^2 \, \frac{m_1 - \mu \, m_2}{2} + 2 \left(\frac{m_1 - m_2 \, \mu}{4} \right)^2 (m_1^2 - 4 \, m_1 + 8) \right\} \left(\kappa \sin 2 \, \beta - \sin 2 \, \kappa \beta \right) + \frac{1}{2} \left(\kappa \sin 2 \, \beta - \sin 2 \, \kappa \beta \right) + \frac{1}{2} \left(\kappa \sin 2 \, \beta - \sin 2 \, \kappa \beta \right) + \frac{1}{2} \left(\kappa \sin 2 \, \beta - \sin 2 \, \kappa \beta \right) + \frac{1}{2} \left(\kappa \sin 2 \, \beta - \sin 2 \, \kappa \beta \right) + \frac{1}{2} \left(\kappa \sin 2 \, \beta - \sin 2 \, \kappa \beta \right) + \frac{1}{2} \left(\kappa \sin 2 \, \beta - \sin 2 \, \kappa \beta \right) + \frac{1}{2} \left(\kappa \sin 2 \, \beta - \sin 2 \, \kappa \beta \right) + \frac{1}{2} \left(\kappa \sin 2 \, \beta - \sin 2 \, \kappa \beta \right) + \frac{1}{2} \left(\kappa \sin 2 \, \beta - \sin 2 \, \kappa \beta \right) + \frac{1}{2} \left(\kappa \sin 2 \, \beta - \sin 2 \, \kappa \beta \right) + \frac{1}{2} \left(\kappa \sin 2 \, \beta - \sin 2 \, \kappa \beta \right) + \frac{1}{2} \left(\kappa \sin 2 \, \beta - \sin 2 \, \kappa \beta \right) + \frac{1}{2} \left(\kappa \sin 2 \, \beta - \sin 2 \, \kappa \beta \right) + \frac{1}{2} \left(\kappa \sin 2 \, \beta - \sin 2 \, \kappa \beta \right) + \frac{1}{2} \left(\kappa \sin 2 \, \beta - \sin 2 \, \kappa \beta \right) + \frac{1}{2} \left(\kappa \sin 2 \, \beta - \sin 2 \, \kappa \beta \right) + \frac{1}{2} \left(\kappa \sin 2 \, \beta - \sin 2 \, \kappa \beta \right) + \frac{1}{2} \left(\kappa \sin 2 \, \beta - \sin 2 \, \kappa \beta \right) + \frac{1}{2} \left(\kappa \sin 2 \, \beta - \sin 2 \, \kappa \beta \right) + \frac{1}{2} \left(\kappa \sin 2 \, \beta - \sin 2 \, \kappa \beta \right) + \frac{1}{2} \left(\kappa \sin 2 \, \beta - \sin 2 \, \kappa \beta \right) + \frac{1}{2} \left(\kappa \sin 2 \, \beta - \sin 2 \, \kappa \beta \right) + \frac{1}{2} \left(\kappa \sin 2 \, \beta - \sin 2 \, \kappa \beta \right) + \frac{1}{2} \left(\kappa \sin 2 \, \beta - \sin 2 \, \kappa \beta \right) + \frac{1}{2} \left(\kappa \sin 2 \, \beta - \sin 2 \, \kappa \beta \right) + \frac{1}{2} \left(\kappa \sin 2 \, \beta - \sin 2 \, \kappa \beta \right) + \frac{1}{2} \left(\kappa \sin 2 \, \beta - \sin 2 \, \kappa \beta \right) + \frac{1}{2} \left(\kappa \sin 2 \, \beta - \sin 2 \, \kappa \beta \right) + \frac{1}{2} \left(\kappa \sin 2 \, \beta - \sin 2 \, \kappa \beta \right) + \frac{1}{2} \left(\kappa \sin 2 \, \beta - \sin 2 \, \kappa \beta \right) + \frac{1}{2} \left(\kappa \sin 2 \, \beta - \sin 2 \, \kappa \beta \right) + \frac{1}{2} \left(\kappa \sin 2 \, \beta - \sin 2 \, \kappa \beta \right) + \frac{1}{2} \left(\kappa \sin 2 \, \beta - \sin 2 \, \kappa \beta \right) + \frac{1}{2} \left(\kappa \sin 2 \, \beta - \sin 2 \, \kappa \beta \right) + \frac{1}{2} \left(\kappa \sin 2 \, \beta - \sin 2 \, \kappa \beta \right) + \frac{1}{2} \left(\kappa \sin 2 \, \beta - \sin 2 \, \kappa \beta \right) + \frac{1}{2} \left(\kappa \sin 2 \, \beta - \sin 2 \, \kappa \beta \right) + \frac{1}{2} \left(\kappa \sin 2 \, \beta - \sin 2 \, \kappa \beta \right) + \frac{1}{2} \left(\kappa \sin 2 \, \beta - \sin 2 \, \kappa \beta \right) + \frac{1}{2} \left(\kappa \sin 2 \, \beta - \cos 2 \, \kappa \beta \right) + \frac{1}{2} \left(\kappa \sin 2 \, \beta - \cos 2 \, \kappa \beta \right) + \frac{1}{2} \left(\kappa \sin 2 \, \beta - \cos 2 \, \kappa \beta \right) + \frac{1}{2} \left(\kappa \cos 2 \, \beta - \cos 2 \, \kappa \beta \right) + \frac{1}{2} \left(\kappa \cos 2 \, \beta - \cos 2 \, \kappa \beta \right) + \frac{1}{2} \left(\kappa \cos 2 \, \beta - \cos 2 \, \kappa \beta \right) + \frac{1}{2} \left(\kappa \cos 2 \, \beta - \cos 2 \, \kappa \beta \right) + \frac{1}{2} \left(\kappa \cos 2 \, \beta - \cos 2 \, \kappa \beta \right) + \frac{1}{2} \left(\kappa \cos 2 \, \beta - \cos 2 \, \kappa \beta \right) + \frac{1$$

$$+ \frac{m_1 - \mu \, m_2}{2} \, \mu \, (m^2 - 4 \, m_1 + 8) \sin 2 \, \mu + m_1 \, (m_1 - 4) \, \frac{m_1 - \mu \, m_2}{2} \, \left(1 - \frac{m_1 - \mu \, m_2}{4} \right) \, (\lambda \sin 2 \, 3 \cos 2 \, \lambda z + \sin 2 \, \lambda \beta \cos 2 \, \lambda z) - \mu \, m_1 \, \left(m_1 - 4 \right) \, \frac{m_2 - \mu \, m_2}{2} \, \sin 2 \, \lambda \beta \cos 2 \, \lambda z + 2 \, m_1^2 \, \left(\frac{m_1 - \mu \, m_2}{4} \right)^2 \, (\cos 2 \, \alpha - 1) \, (\lambda^3 \sin 2 \, \beta - \lambda^2 \sin 2 \, \lambda \beta) + \mu \, m_1^2 \, \frac{m_1 - \mu \, m_2}{2} \, (\cos 2 \, \alpha - 1) \, \lambda^2 \sin 2 \, \lambda \beta + 4 \, \mu \, m_1^2 \, \left(\frac{m_1 - \mu \, m_2}{2} \right) \, \left(\cos 2 \, \alpha - 1 \right) \, \lambda^2 \sin 2 \, \lambda \beta + 4 \, \mu \, m_1^2 \, \left(\frac{m_1 - \mu \, m_2}{2} \right) \, \left(\cos 2 \, \alpha - 1 \right) \, \lambda^2 \sin 2 \, \lambda \beta + 4 \, \mu \, m_1^2 \, \left(\cos 2 \, \alpha - 1 \right) \, \lambda^2 \sin 2 \, \lambda \beta + 4 \, \mu \, m_1^2 \, \left(\cos 2 \, \alpha - 1 \right) \, \lambda^2 \sin 2 \, \lambda \beta + 4 \, \mu \, m_1^2 \, \left(\cos 2 \, \alpha - 1 \right) \, \lambda^2 \sin 2 \, \lambda \beta + 4 \, \mu \, m_1^2 \, \left(\cos 2 \, \alpha - 1 \right) \, \lambda^2 \sin 2 \, \lambda \beta + 4 \, \mu \, m_1^2 \, \left(\cos 2 \, \alpha - 1 \right) \, \lambda^2 \sin 2 \, \lambda \beta + 4 \, \mu \, m_1^2 \, \left(\cos 2 \, \alpha - 1 \right) \, \lambda^2 \sin 2 \, \lambda \beta + 4 \, \mu \, m_1^2 \, \left(\cos 2 \, \alpha - 1 \right) \, \lambda^2 \sin 2 \, \lambda \beta + 4 \, \mu \, m_1^2 \, \left(\cos 2 \, \alpha - 1 \right) \, \lambda^2 \sin 2 \, \lambda \beta + 4 \, \mu \, m_1^2 \, \left(\cos 2 \, \alpha - 1 \right) \, \lambda^2 \sin 2 \, \lambda \beta + 4 \, \mu \, m_1^2 \, \left(\cos 2 \, \alpha - 1 \right) \, \lambda^2 \sin 2 \, \lambda \beta + 4 \, \mu \, m_1^2 \, \left(\cos 2 \, \alpha - 1 \right) \, \lambda^2 \sin 2 \, \lambda \beta + 4 \, \mu \, m_1^2 \, \left(\cos 2 \, \alpha - 1 \right) \, \lambda^2 \sin 2 \, \lambda \beta + 4 \, \mu \, m_1^2 \, \left(\cos 2 \, \alpha - 1 \right) \, \lambda^2 \sin 2 \, \lambda \beta + 4 \, \mu \, m_1^2 \, \left(\cos 2 \, \alpha - 1 \right) \, \lambda^2 \sin 2 \, \lambda \beta + 4 \, \mu \, m_1^2 \, \left(\cos 2 \, \alpha - 1 \right) \, \lambda^2 \sin 2 \, \lambda \beta + 4 \, \mu \, m_1^2 \, \left(\cos 2 \, \alpha - 1 \right) \, \lambda^2 \sin 2 \, \lambda \beta + 4 \, \mu \, m_1^2 \, \left(\cos 2 \, \alpha - 1 \right) \, \lambda^2 \sin 2 \, \lambda \beta + 4 \, \mu \, m_1^2 \, \left(\cos 2 \, \alpha - 1 \right) \, \lambda^2 \sin 2 \, \lambda \beta + 4 \, \mu \, m_1^2 \, \left(\cos 2 \, \alpha - 1 \right) \, \lambda^2 \sin 2 \, \lambda \beta + 4 \, \mu \, m_1^2 \, \left(\cos 2 \, \alpha - 1 \right) \, \lambda^2 \sin 2 \, \lambda \beta + 4 \, \mu \, m_1^2 \, \left(\cos 2 \, \alpha - 1 \right) \, \lambda^2 \sin 2 \, \lambda \beta + 4 \, \mu \, m_1^2 \, \left(\cos 2 \, \alpha - 1 \right) \, \lambda^2 \sin 2 \, \lambda \beta + 4 \, \mu \, m_1^2 \, \left(\cos 2 \, \alpha - 1 \right) \, \lambda^2 \sin 2 \, \lambda \beta + 4 \, \mu \, \mu \, \alpha + 4 \, \mu$$

где

$$u = \frac{E_1}{E_2} - m_1 = v_i - 1, \quad i = 1, 2$$

Трехкратный корень $\lambda=1$ уравнения $\Delta=0$ исключен, так как ему соответствует тривиальное решение рассматриваемой краеной задачи для Θ .

В следующих частных случаях уравнение (1.8) примет вид

при
$$\beta = 0$$
 $\lambda \sin 2z + \frac{m_1 - 4}{m_1} \sin 2z = 0$ (1.9)

при
$$a = 0$$
 $\lambda \sin 2\theta + \frac{m_s}{m_s} = \frac{4}{\sin 2\theta} = 0$ (1.10)

при v = 1, $v_1 = v_2 = v$, m = v - 1

$$\lambda \sin 2 (\alpha + \beta) + \frac{m-4}{m} \sin 2 i (\alpha + \beta) = 0$$
 (1.11)

а при и— 0

$$\lambda \sin 2\beta + \sin 2\lambda \beta = 0 \tag{1.12}$$

$$\lambda^2 \sin^2 \alpha - \left(\frac{m-4}{m_1}\right) \sin^2 \lambda \alpha = 0 \tag{1.13}$$

Уравнения (1.9) — (1.11) соответствуют известным случаям однородного клина с различными граничными условиями [1].

Для каждой комбинации конкретных значений параметров α , β , μ , ν , уравнение (1.8) имеет бесконечное множество корней, расположенных в комплексной плоскости λ симметрично относительно осей координат. Кориям (1.8), имеющим отрицательные действительные части, соответствуют решения, которые для вершины клина не имеют смысла. Остальные кории (1.8), которым соответствуют нетривиальные решения, прону-

меруем по порядку возрастания действительных частей. При равных действительных частях нумерация ведется по возрастанию минмой части. Принимаем, что все эти кории простые.

Решение плоской задачи теории упругости в рассматриваемой области может быть представлено в виде ряда [13]

$$\Phi = \sum_{k=1} r^{\lambda_k - 1} \Theta(\varphi, \lambda_k) \tag{1.14}$$

где

$$\Theta$$
 (φ, $A = \begin{bmatrix} \Theta_{\alpha}(\varphi, A_k) & \text{при} & 0 & \pi & \pi \\ \Theta_{\alpha}(\varphi, A_k) & \text{при} & -\beta \leqslant \pi \leqslant 0 \end{bmatrix}$ (1.15)

Система функций Θ (ϕ , —) в интервале (— β , α) является четырехкратно полной и классе действительных функций, непрерывных со своими производимии до четвертого порядка и интервалах (— β , 0). (0, α) и удовлетворяющих условиям (1.14) и (1.15) [4, 6].

Из (1.1) и (1.14) видно, что если $0 \le \text{Re }(\lambda_1) < 1$, то напряжения при приближении к угловой точке линии раздела областей неограниченно нозрастают, причем порядок особенности напряжений ири этом равен $|\text{Re }(\lambda_1) - 1|$. А если $|\text{Re }\lambda_1 > 1|$, то напряжения затухают при |Fe| > 0.

Таким образом, исследование характера напряженного состояния в окрестности края поверхности соединения нагруженного составного тела при заданных граничных условиях приводится к отысканию корией с наименьшей положительной действительной частью трансцендентного уравнения (1.8).

Искомый корень уравнения (1.8) вычислен на ЭВМ для следующих значений параметров задачи:

$$v_1$$
, $v_2 = 0.2$, 0.3, 0.4
 $\mu = 2^m$; $n = 0, 1, 2, 4, 5, 6$; $\mu = 2^m$; $m = 1, 2, 4, 6$; $\mu = 1 \pm 2^{-k}$, $k = 1, 2, 4, 6$;

$$\alpha + \beta = \frac{\pi}{2} + \frac{\pi}{12} n_1$$
, $\alpha = \frac{\pi}{24} q_1 q_2 - 1$, $\alpha = 11 + 2n_1$, $\alpha = -1$, $\alpha = -$

В табл. 1, 2, 3 приведены значения наименьших положительных действительных частей корией трансцендентного уравнения (1.8) для некоторых комбинаций указанных значений параметров, характервых для рассматриваемой задачи.

2. Апализ результатов вычислений, проведенных для трех серий значений пяти параметров задачи (α , β , μ , $\nu_{\rm c}$ и $\nu_{\rm c}$), поэволяет выявить следующие общие закономерности характера напряжений вблизи вершины составного клина;

a)
$$s + \beta = \frac{\pi}{2} - \frac{\pi}{12}$$

При одинаковых значениях коэффициентов Пуассона ($v_1 = v_2$, табл. 1) вблизи вершины клина (t = 0) напряжения затухают, если $0.5 < \mu < 64$,

$$x + 3 = \frac{1}{2} + \frac{1}{12}$$

	ji.	$\frac{z}{24}q$							
		q 1	3	5	6	7	8	9	
Na - Na - D.2	0.25 0.50 0.75 1.0 128	0.9432 1.0457 1.0866 1.1081 1.1778	0.7567 0.9424 1.0438 1.1081 1.3795	0.6751 0.8854 1.0164 1.1084 1.6281	0.6630 0.8779 1.0105 1.1084 1.3866	0.6736 0.8886 1.0202 1.1084 1.21474	0.7180 0.9240 1.038# 1.1084 1.0911	0.8294 0.9947 1.0691 1.1084 1.0048	
v = 0 + 2 0 2	0.25 0.5 0.75 1.0 64.0 128	0,9577 1,0537 1,0920 1,1125 1,1771 1,177	0.7738 0.9570 1.0516 1.1113 1.3762	0.6924 0.8983 1.0207 1.1027 1.4529	0.6761 0.8875 1.0144 1.0981 1.2519	0.6817 0.8935 1.0168 1.0941 1.1018	0.7208 0.9232 1.0300 1.0910 0.9959	0.8262 0.9865 1.0515 1.0887 0.9200	
0.2 1 0.4	0.25 0.5 0.9375 1.0 64.0 128.0	0.9355 1.0283 1.0791 1.0829 1.1114	0.7555 0.9349 1.0746 1.0868 1.3030	0.6755 0.8847 1 0934 1.1031 1.6061	0.6643 0.8799 1.0702 1.1113 1.3759	0.6755 0.8929 1.0968 1.1163 1.2269	0.7209 0.9295 1.1021 1.1170 1.1077	0.8324 0.999 1.1058 1.1139 1.0305	

при любых значениях угла π , где $\pi = \frac{E_0}{E_0}$, а E_0 , ν , и α соответствуют (материалу) клину с наделанным краем. В атом случае характер напряжений соответствует характеру напряжений около вершины однородного клина при $\alpha < \pi$.

Если и < 0.5, то вблизи вершины составного клина затухание напряжений невозможно и напряжения имеют особенности. С увеличением α и интервале $0 < \alpha < \alpha$, порядок особенности напряжений увеличивается, а

в интернале $a_1 < a < \frac{\pi}{2} - \frac{\pi}{12}$ уменьшается. Предельный угол a_1 на-

ходится в $6\frac{1}{24} < \alpha < 7\frac{\pi}{24}$ Изменения значений коэффициентов Пуас-

сона почти не влияют на интервал малонапряженности, но несколько изменяют порядок особенности напряжении.

При $\beta=0$ задача приводится к однородому клину с заделанивми краями с углом раствора $2\alpha<\pi$, и около вершины этого клина напряжения затухают [6].

Если $\mu > 64$ и $\alpha > 7$ вблизи вершины клина затухание напряжений невозможно. Интервал изменения значений параметров задачи, при котором появляется особенность напряжений, увеличивается при увеличении μ .

$$\alpha + \beta = \frac{\pi}{2}$$

При одинаковых значениях коэффициентов Пуассона материалов ($v_i = v_i = 0.2, 0.3, 0.4,$ табл. 2) около вершины клина независимо от углов α и β напряжения затухают, если $\mu > 1$, имеют конечные значения, если $\mu = 1$, и бесконечно возрастают (имеют особенность), если $\mu < 1$.

С увеличением значения коэффициентов Пуассона порядок особенности напряжений уменьшается.

При различных значениях коэффициентов Пуассона $(v_i \neq v_j)$ указанные интервалы существенно изменяются.

Если увеличивается v. (соответствующий материалу c заделанным краем), то при малых значениях угла α интервал изменения значений μ . соответствующий зоне малонапряженности, уменьшается ($\mu = 0.75$, $v_1 = 0.4$, $v_2 = 0.2$).

Если увеличивается v_2 , интервал изменения значений параметров задачи, при котором напряжения около края поверхности контакта имеют особенности, увеличивается при малых значениях α и уменьшается при больших значениях α (табл. 2).

Таблина 2

2										
	:2	$z = \frac{\pi}{24} q$								
		q = 1	3	5	6	7	8 9	10	11	
1 0 2	0.98437 1.0 1.0156 16.0 64.0 128.0	0,999 1,0007 1,0470 1,0495 1,0500	0.998 1.0023 1.1662 1.1753 1.1768	0.996 1.0039 1.3565 1.3763 1.3792	0,9954 1,0045 1,4213 1,3931 1,3872	1.0 1.0048 1.2560 1.2199	1.142 2 1. 1.09611.	0040 1 .00 0626 1 .01 0055 0 .94	0.998 0.9016 0.9870 0.9047 0.9047 0.8806	
0 2 0.2	0.75 0.9375 0.98437 1.0 4 16 64	0,9918 1,0030 1,0051 1,0058 1,0389 1,0475 1,0496	0.9702 1.0044 1.0114 1.0136 1.1326 1.1668 1.1755	0.9445 0.9985 1.0099 1.0135 1.2445 1.3355 1.3675	0.9336 0.9944 1.0072 1.0113 1.2522 1.2665 1.2488	0.9906 1.0041 1.0084 1.1979 1.1337	0.9882 0. 1.0013 0. 1.0055 1. 1.1370 1. 1.0365 0.	9879 0,99 9944 0,99 0031 1,00 0888 1,03 9696,0,93	152 U . 9695 901 0 . 9944 987 0 . 9990 014 1 .0005 5321 . 0260 304 0 . 9256 508 9 . 8240	
1 0.2 2 0	0.9375 0.98437 1.0 1.0156 1.0625 1.25	0.9919 0.9941 0.9948 0.9954 0.9973 1.0036	0.9803 0.9871 0.9893 0.9914 0.9973 1.0173	0.9787 0.9906 0.9944 0.9981 1.0088 1.0459	0.9814 0.9955 1.0 1.0014 1.0173 1.0627	1.0009 1.0089 1.0107 1.0248	1.0053 I. 1.0102 1. 1.015 1. 1.0288 1.	0074,1,00 0016'1.00 0158,1,0' 0277;1,0'	969 0.9488 068 1.0040 099 1.0057 130 1.0073 216 1.0118 506 1.0263	

Таким образом, для получения более широкого интервала малонапряженности около вершины составного клина необходимо, чтобы материал, имеющий заделавный край, имел меньший коаффициент Пуассона ($v_i \ll v_i$) и больший угол раствора ($\alpha \gg \beta$), или же больший коэффициент Пуассона и меньший угол раствора.

В этом случае также имеется особенность папряжений вблизи вершины составного клина при достаточно больших значениях се и µ (табл. 2).

B)
$$2 \div 3 = \frac{\pi}{2} + \frac{\pi}{12}$$

Как показывает анализ результатов вычислений (искоторые характерные для задачи вычисления приведены в табл. 3), имеется узкий интер-

Таблица 3

2 + 12											
	14.	$u=\frac{\pm}{24}q$									
		q 2	4	-5	S	9	10	11	12		
2.0	1.25 1.5 2 4 64 128	0.9270 0.9383 0.9329 0.9757 0.9985 0.9992	0.9439 0.9679 1.0000 1.0525 1.1049 1.1065	0.9533 0.9851 1.0289 1.1028 1.1740 1.1762	0.9774 1.0315 1.1149 1.1208 1.0929 1.0854	0.9882 1.0315 1.1065 1.1648 0.996 0.9908	1.0781	0.9985 1.0411 1.0600 0.8800	0.9718 1.0000 1.0167 0.8470		
0 2 =0	1.25 1.5 2 4 16 64	0.9322 0.9427 0.9564 0.9777 0.9943 0.9985	0.9408 0.9628 0.9918 1.0382 1.0745 1.0836	0.9493 0.9785 1.0179 1.0814 1.1283 1.1390	0.9885 1.0465 1.1473 1.1495 1.1596 1.0972	0.9950 1.0541 1.1472 1.10640 1.0034	1.1098	1.0173 1.0634 1.0874 0.9642	0.9847 1.0142 1.0343 0.9427		
04 v = 02	1.25 1.5 2 4 16 64	0.9352 0.9452 0.9582 0.9786 0.9946 0.9986	0.9605 0.9819 1.0106 1.0575 1.0954 1.1051	0.9721 1.0007 1.0398 1.1059 1.1602 1.1739	0 9917 1.0365 1.0937 1.1216 1.0226 0.9827	0.9896 1.0323 1.0791 1.0711 0.9493 0.8998	1.0551	1,0008 1,0271 1,0063 0,8671	0,9780 0,9965 0,9841 0,8555		

рал изменсиня значений параметров задачи, при котором напряжения затухают (в отличие от однородного тела, когда имеется концентрация напряжений при исся значениях параметров задачи). Затухание напряжений

возможно при n>1.25 и $lpha>rac{\pi}{12}$, то есть когда клип с углом растворя 2eta

и с заделанными краями около вершины не имеет особенности напряжений Порядок особенности напряжений увеличивается с увеличением угла

до некоторого предела 2 < 21 и уменьшается при д > 21. Предельный угол паходится и интервале

фициентов Пуассона почти не влияет на интервал малонапряженности и на значение предельного угла 2 (табл. 3).

Ереванский полителинческий институт им. К. Маркса

Flooryngaa 9 VII 1980

<mark>ԼԱՐՈՒՄՆԵՐԻ Վ</mark>ԱՐՔԻ ՀԵՏԱԶՈՏՈՒՄԸ ԲԱՂԱԳՐՅԱԼ ԱՌԱՉԳԱԿԱՆ ՍԵՊԻ ԿՈՇՏ ԱՄՐԱԿՑՎԱԾ ԳԱԳԱԹԻ ՇՐՋԱԿԱՅՔՈՒՄ

Ամփոփում

Առաձղականության տեսության Հարթ խնդրի տեղական լուծուժների ոգնությամբ Հետազոտվում է լարվածային վիճակը բաղադրյալ Հարթ սեպի ամրակցված գագաթի շրջակայրում։ Բաղադրյալ սեպը իրենքը ներկայացնում է եզբերով իրար միացված երեբ սեպերի միացություն։ Եղբային սեպերի նյութերը միևնույնն են և բացվածբի անկյունները Հավասար։

Մեպի <mark>եզրագծի փակող մաս</mark>ի վրա արված է արտաբին րեռնվածք։

Դիտարկվող խնդրի լուծումը բերվում է տրանոցենդենտ հավասարման արմատների որոշմանը։

Հաշվումների արդյունըների վերլուծությունը ցույց է տալիս, որ լարվածային վիճակի բնույքը միացման մակերևույքի դիտարկվող եղբերի շրջակայթում էապես կախված է միացվող նյուների առաձգա-դեֆորմատիկ ընութադրիչներից և միացման երկրաչափությունից։

AN INVESTIGATION OF STRESS BEHAVIOUR NEAR THE RIGIDLY FIXED TOP OF A COMPOSITE ELASTIC WEDGE

A. G. AVETISIAN

Summary

By means of a local solution of the plane problem in the theory of elasticity, the stressed state near the rigidly fixed top of an elastic wedge, representing a combination of three wedges, joined by their lateral sides, is investigated. The materials of the lateral wedges are similar and the angles of opening are equal. On the closed part of the wedge contour an external load is given. The solution of the problem is reduced to the finding of a root of transcendental equations. The analysis of the calculation results shows that the pattern of the stressed state near the edge of the junction surface essentially depends on elastic deformative characteristics of the joined materials and on the geometry of joint.

ANTEPATYPA

- 1. Williams M. L. Stress singularities resulting from various boundary conditions in angular corners of plates in extention. J. of Appl. Mech., 1952, vol. 19.
- 2. Аксентан О. К. Особенности напряженно деформированного состояния плиты в окрестности ребра. [IMM, 1967, т. 31, вып. 1, с. 173—186.
- Болии Действие касательных и пормальных нагрузок на прямоугольные упругие клицья, выполненные на разных материалов и соединенные по граням. ПМ, 1968, 1. 35, серия Е. № 3.

- Чобанян К. С. Способ повышения вибропрочности соединения. Авт. свид. 307869.
 «Бюлдетень открытия, изобретения...», № 21, 1971.
- Чобанян К. С., Геворкян С. Х. Поведение поля напряжений около угловой точки линии развла и надаче плоской деформации составного упругого тела. Изв. АН Арм. ССР, Механика, 1971, т. 24, № 5.
- Аветисян А. Г., Чобанян К. С. Характер напряжений в заделанной окрестности края поверхности соединения составного тела, нагруженного в условиях плоской задачи теории упругости. Изв. АН Арм. ССР, Механика, 1972, т. 25, № 6.
- Аветисян А. Г. Особенности напряжений в составном теле при контурных условиях глядкого контакта. «Исследования по теории пластии и оболочек». Вып. 12, Казань, изд-то КГУ, 1976.
- Knetn M. Zur Theorie der Druckversuchs. Abhand der Aerodynamische Inst. u. d. Techn. Hachschule, Aachen, Germany, 1927, v. 7, pp. 43 -62.
- Rao A. K. Stross concentrations and singularities at interface corners. ZAMM. 1971, 51, s. 395 406.
- Hein V. L. and Erdogun F. Stress singularities in a two-material wedge. Int. Journ of Fracture Mech., 1971, 7, № 3, pp. 317—330.
- Theocarts P. S., Gdoutes E. E. and Thirees C. G. Stress Singularities in a Biwedge Under Various Boundary Conditions. Acta mechanica, 1978, vol. 29, No. 1-4, pp. 55-73.
- Чобанян К. С. О функции напряжений для плоской задачи геории упругости составных тел. Докл. АН Арм. ССР, 1961, т. 32, № 2.
- Ворович И. И. О поведении основных краевых задач плоской теории упругости в
 окрестности особых точек границы. Тезисы докладов на 111 Всесоюзном съездепо теоретической и прикладной механике. М., 1968.

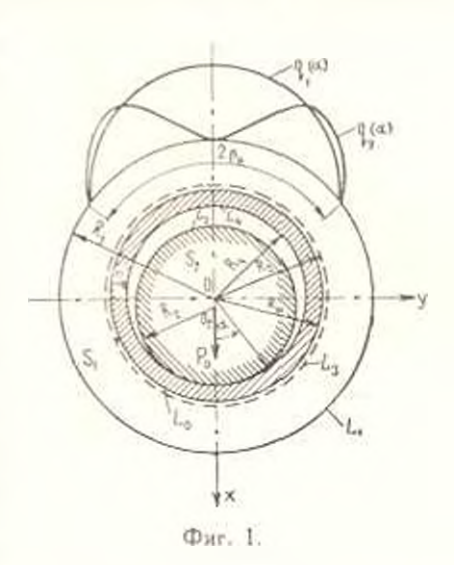
Механика

м и. теплыя

РЕШЕНИЕ ЗАДАЧИ О ВНУТРЕННЕМ КОНТАКТЕ УПРУГОГО ЦИЛИНДРА И ДВУХ КОНЦЕНТРИЧЕСКИХ КОЛЕЦ. СОЕДИНЕННЫХ ПОСРЕДСТВОМ НАТЯГА

§ 1. Постановка задачи. Вывод уравнений Рассмотрим упругое изотропное концентрическое кольцо S_* , единичной толщины с внутренним R_* и внешним R_* , раднусами (фиг. 1). На части внешнего контура кольца S_* , определяемой углом $2^{\rm B}_*$, приложены чаланные имприжения пормальные

(радиальные) $q_1(2)$ и касттельные q. (a). В отверстие кольцевой области S, иставлено с натягом 4 кольцо (втулка) S_0 , причем $\Delta = R_1 -$ -Ra, где R - радиус внешней поверхности кольца So. Предполагаем, что контакт между кольцами S₀ и S₁ осуществляется по всей их поверхности соприкосновения, то есть по дуге (0, 2 п). С внутренней поверхностью кольцевой области S_0 , радиус которой R_4 , контактирует упругий цилиндр (диск) S. радиуса R. в центре которого приложена сосредоточенная сила, причем радиус цилиндра 尽 несколько меньше радиуса внутренней по-



верхности кольца $S_0(R_*\leqslant R_4)$. Трением между кольцами S_0 , S_1 и дис ком пренебрегаем.

Введем систему прямоугольных декартовых координат xOy, к которой отнесены области S, S_1 (или S), причем так, что начало этой системы совпадает с центрами круговых отверстий в кольцевых областях S_0 и S_1 (с центром цилиндра S_2), а ось O_2 — с линией действия силы P_0 , приложениюй в центре диска. Обозначим через α полярный угол точек границ областей S_1 , S_2 , отсчитываемый от оси O_3 протип хода часоной стрелки.

В соответствии с постановкой задачи на контурах L_0 , L_1 , L_2 , L_3 , L_4 , рассматриваемых областей S_{in} S_{in} S_{in} имеем следующие граничные условия:

$$= (8) = \begin{cases} 0 & \text{Ha} \ L_0, \ L_2, \ L_3, \ L_4 \\ q_1(2) & \text{Ha} \ L_1 & \text{RPH} \ \pi = \beta_0 + \alpha + \beta_0 \end{cases}$$
 (1.1)

$$k_2(z) = k_1(z)$$
 на L_2 и L_4 при $-z_4 \leqslant z \leqslant z_0$ (1.3)

$$k_{a}(a) = k_{a}(a)$$
 на L_{a} и L_{b} при $0 \le a \le 2\pi$ (1.4)

Здесь — и α . — подярные углы конечных точек области контакта между телами S и

Задача состоит в определении контактиых давлений $p(\alpha)$ и $q(\alpha)$, величины угла контакта $2\alpha_e$, а также в установлении условия, при котором не нарушается контакт между контактирующими кольцами S_e и S_e .

Принятая схема нагружения контактирующих тел поэводит использовать результаты решения рассматриваемой задачи для расчета напряжений в проушинах и годояках шатунов.

В известных работах [1, 2] рассматриваются задачи о вдавливанни кругового диска в тонкое упругое кольцевое покрытие, подкрепляющее контур отперстия в исограниченной плоскости или внутренний контур кольцевой области. В этих работах принимается геометрическая гипотеза Кирхгофа—Лява теории тонких оболочек.

Для вывода уравнений поставленной задачи воспользуемся условиями (1.3) и (1.4), выражающими равенство кривизи деформированных границ тел S_0 , S_0 в области контакта.

Кривизна деформированного контура круговой области радиуса R определяется формулон

$$k(z) = \frac{1}{R} - \frac{v_r + v_r^*}{R^2}$$
 (1.5)

где $v_r(x)$ — радиальное смещение точек рассматриваемого контура: $v_r = \frac{dv_r}{dx}$.

Сумму радиального смещения в и его второй производной в можно выразить на основании [3] следующим образом: для точек контура кругового отверстия в двусвязной области (круговое концентрическое кольцо) или односвязной области (бесконечная плоскость с круговым отверстием)

$$v_i + v_i^2 = \text{Re} \frac{R}{2G_i} \{v_j [\Phi_i^+(t_0) - t_0 \Phi_i^{(-)}(t_0)] + \Phi_i^{(-)}(t_0) - t_0 \Phi_i^{(+)}(t_0)\}$$
 (1.6)

для точек контуров конечной односвязной области (круговой диск) или двусвязной области (внешний контур)

$$v_{r} + v_{r} = \operatorname{Re} \frac{R}{2 G_{f}} \left[z_{f} \left[\Phi_{f}^{\dagger} \left(t_{0} \right) - t_{0} \Phi_{f}^{\dagger} \left(t_{0} \right) \right] + \Phi_{f}^{\dagger} \left(t_{0} \right) - t_{0} \Phi_{f}^{\dagger} \left(t_{0} \right) \right]$$
(1.7)

Здесь Φ_i (t_0) и Φ_j (t_0) — граничные аначения функции Колосона Мусжелишвили Φ_i (z) при $z \to t_0$, причем $z = re^{iz}$ (i = V - 1), $i = Re - \tau$ очка на контуре радиуса R, j = 0, 1, 2 соответственно для областей S_0 , S_1 и S_3 ; Φ_i (t_0) = $\frac{d\Phi_i}{dt_0}$ (t_0) ; t = 3 - 4 у для плоской деформации и

 $z_j = (3 - v_i)/1$ — для случая плоского напряженного состояния; $G_j = E_j/2 (1 - v_j)$, а E_i и v_j —соответственно модули Юнга и коэффициенты Пуассона для материалов колец $S_0(j=0)$, $(j=1)_1$ и цилипд ра $S_2(j=2)$. В формулах (1.6) и (1.7) под R следует подразумеват раднус того контура, для которого определяется сумма $v_j + v^i$.

Таким образом, для отыскания суммы раднального смещения и его второй производной необходимо иметь функции Колосова—Мусхелишвили Φ_i (2) для областей S_{ϵ_1} S_{ϵ_2} и S_2 .

На основании известного комплексного представления плоской задачи теории упругости [3] найдены следующие выражения для функции $\Phi_{j}(z)$:

для области 🖏

$$\Phi_{0}(z) = \frac{1}{2\pi i} \int_{1-z}^{z} \frac{p(t) dt}{t-z} + \frac{z_{0}P_{0}}{2\pi(1+z_{0})} \frac{1}{z} + \frac{k^{2}}{4\pi} c_{0} - \frac{z_{0}P_{0}(1-k^{2})}{\pi(1+z_{0})R_{3}^{2}} - \frac{1}{2\pi} - \frac{1}{2\pi} \int_{1-z}^{z} \frac{dt}{t_{1}-z} + \frac{1}{4\pi} a_{0} + a_{1}z - \sum_{i=1}^{z} (a_{k}z^{k} + a_{0}z^{k})$$

$$(1.8)$$

где $z = re^{iz}$ ($R_4 \leqslant r \leqslant R_3$); $r = R_4/R_3$; $f = R_1e^{iz}$; $f_1 = R_2$ (0 - полярный угол, отсчитываемый от оси Ox протии хода часовой стрелки);

$$d_0 = \int_0^{2\pi} q(z) dz, = \int p(z) dz$$
 (1.9)

$$c_k = \int_{-\infty}^{a_k} p(x) \cos kx \, dx \tag{1.10}$$

$$a_0 = -\frac{i^2}{4\pi (1-1)}(d_0 - i^2), \quad a_1 = -\frac{i^3 A_{-1}}{4\pi (1-1)}$$

$$a_k = \frac{1}{R_3 D_k} \lambda^{k+2} [(1-\lambda^{-1k+2}) A_{-k} - (k+1) (1-\lambda^2) \lambda^{-2k} A_k] \quad (k=\pm 2, \pm 3, \cdots)$$

$$A_{-1} = \frac{\lambda}{2\pi} \left[\lambda \left(\lambda^2 - 2 \right) c_1 + d_1 + \frac{2 *_0 P_0 \left(1 - \lambda^2 \right)}{\left(1 + x_0 \right) R_2} \right]$$

$$A_{\pm} = -\frac{\lambda}{2\pi} \left[\lambda^{\pm} \left[(k-1) \left(\lambda^{\pm} k - k - 1 \right) \left(1 - \lambda^{\pm} \right) \right] c_k + (k-k)^{-2} - 1 \right] d_k$$

$$A_{\pm} = \frac{\lambda}{2\pi} \left[\lambda^{\pm} \left(\lambda^2 k - k - 1 \right) c_k + d_k \right]$$

$$D_k = \lambda^{-2 k - 2} \left(1 - \lambda^{2k} \right)^2 - k^2 \left(1 - \lambda^2 \right)^2$$

$$c_1 = \int_0^{x_0} p(z) \cos z \, dz, \quad d_1 = \int_0^{2z} q(z) \cos z \, dz \qquad (1.11)$$

$$d_k = \int_0^{z_0} q(z) \cos kz \, dz \qquad (1.12)$$

$$d_{\lambda} = \int_0^{z_0} q(z) \cos kz \, dz \qquad (1.12)$$

$$d_{\lambda} = \frac{1}{2\pi i} \int_{L_k}^{z_0} \frac{q(t) \, dt}{t - z} + \frac{\lambda^2}{2\pi \left(1 + x_0 \right) z} + b_0 + b_1 z + \sum_{k=2}^{\infty} b_k z^k + \sum_{k=2}^{\infty} b_{-k} z^{-k} \quad (1.13)$$

$$r_{\lambda} = z - re^{iz} \left(R_0 \le r \le R_1 \right); \quad t - R_0 e^{iz}$$

$$b_k = \frac{1}{D_k} \frac{1}{K_1^k} \left[(1 + k) \left(1 - p^2 \right) A_k - \left(1 - p^{-2k-2} \right) A_{-k} \right] \quad (k = \pm 2, -3, \cdots)$$

$$D_k^{\perp} = p^{-2k-2} \left(1 - p^{2k} \right)^2 - k^2 \left(1 - p^2 \right)^2, \quad \rho = \frac{R_0}{R_1}$$

$$A_k = \frac{1}{2\pi} \int_0^{x_0} d_z + B_k, \quad A_{-k} = -\frac{1}{2\pi} p^k \left(z^2 k - k - 1 \right) d_k + B_{-k}$$

$$b_0 = \frac{1}{2 \left(1 - p^2 \right)} \left(B_0 + \frac{p^2 d_0}{2\pi} \right), \quad B_0 = \frac{1}{2\pi} \int_{-R_0}^{x_0} q_1(z) \, dz \qquad (1.14)$$

$$B_k = \frac{1}{2\pi} \int_{-2\pi}^{x_0} \left(q_1(z) \cos kz - q_2(z) \sin kz \right) dz$$

$$b_1 = \frac{A_{-1}}{R_1 \left(1 - p^2 \right)}, \quad A_{-1} = -\frac{1}{2\pi} p \left(p^2 - 2 \right) d_1 - \frac{x_1 \gamma d_1 \left(1 - p^2 \right)}{\pi \left(1 - x_1 \right)} + B_{-1}$$

(1.16)

 $B_{-1} = \frac{1}{2\pi} \int_{0}^{\alpha+p_0} (q_1(\alpha)\cos \alpha + q_2(\alpha)\sin \alpha) d\alpha$

для области S.

$$\Phi_{2}(z) = -\frac{1}{2\pi i} \int_{t}^{z} \frac{p(t) dt}{t - z} + \frac{P_{0}z}{\pi R_{2}(1 + z_{2})} - \frac{P_{0}}{2\pi (1 + z_{2})} \frac{1}{z} + \frac{1}{4\pi i} \int_{t}^{z} \frac{p(t)}{t} dt$$
(1.17)

rae

$$z = re^{t_2} \quad (0 \le r \le R_2); \quad t = R_2 e^{t_3}$$

На основании гранциных условий (1.1) (1.4) и выражений (1.6)—(1.17) приходим к следующей системе интегральных уравнений для определения контактных давлении $p(\alpha)$ и $q(\alpha)$:

$$\frac{1}{2\pi} \int \operatorname{ct} g \frac{\theta - x}{2} q' \left(\theta \right) d\theta = \gamma_1 q \left(\alpha \right) + M_0 - \gamma_4 \frac{2P_0}{\pi K_0} \cos \alpha + 2 + 2 \sum_{k=2}^{\infty} M_k \cos k\alpha + \frac{4\gamma_5 \Delta G_0}{R_0} , \quad 0 \le \alpha \le 2^{-\alpha}$$

$$\frac{1}{\pi} \int \operatorname{ct} g \frac{\theta - x}{2} p \left(\theta \right) d\theta + 2 \gamma_8 p \left(\alpha \right) + \frac{\pi}{4} \sum_{k=2}^{\infty} \left(d_0 - C_0 \right) - 2 \sum_{k=2}^{\infty} L_k \cos k\alpha - \frac{8\pi \gamma_8 G_0}{R_4}$$
(1.18)

3десь $t = R_4 - R_2 -$ радиальный зазор:

$$\gamma_{1} = \frac{1}{h_{1}} [(x_{1} - 1) G_{0} - (x_{0} - 1) G_{1}], \quad \gamma_{2} = \frac{1}{h_{1}} (x_{0} + 1) G_{1}$$

$$\gamma_{3} = \frac{1}{h_{2}} (x_{1} + 1) G_{0}, \quad \gamma_{4} = \frac{1}{h_{1}} (x_{1} G_{0} + G_{1}), \quad \frac{1}{h_{1}} G_{1}$$

$$h_{1} = (1 + x_{1}) G_{0} + (1 + x_{0}) G_{1}, \quad \gamma_{6} = \frac{1}{h_{1}} [(x_{0} - 1) G_{2} - (x_{2} - 1) G_{0}]$$

$$\gamma_{7} = \frac{1}{h_{2}} (x_{0} + 1) G_{2}, \quad \gamma_{8} = \frac{1}{h_{2}} (x_{7} G_{2} + G_{0}), \quad \gamma_{9} = \frac{1}{h_{2}} G_{2}$$

$$h_{2} = (1 + x_{0}) G_{2} + (1 + x_{2}) G_{0}$$

$$P_{0} = R_{2} \int p(a) \cos a \, da$$

$$M_{0} = \frac{1}{2\pi (1 + x_{2})^{2}} c_{0} - \frac{1}{2\pi} \left(\frac{1}{1 + x_{2}} + \frac{1}{1 + x_{2}}\right) d_{0} - \frac{\gamma_{3} B_{0}}{1 + x_{2}}$$
(1.20)

$$M_{k} = \left\{ \frac{N_{k}}{2\pi} - \frac{1}{2\pi} \left[(k-1) Y_{k} - (k+1) E_{k} \right] \right\} d_{k} + \\
+ \gamma_{2} \left\{ \frac{1}{2\pi} k h^{k} \left[h^{2} (k-1) - k - 1 \right] - \frac{k-1}{2\pi} X_{k} + \frac{k+1}{2\pi} \Gamma_{k} \right\} c_{k} + \gamma_{3} S_{k} \right. \\
N_{k} = \frac{1}{D_{k}^{2}} \left[(k^{2}-1)(1-p^{2}) g^{2k} + (g^{2k}-p^{2})(k-1) (2^{2}k-k-1) - \\
- (k^{2}-1)(1-p^{2}) (p^{2}k-k-1) + (k+1)(1-p^{2k+2}) \right] \\
S_{k} = \frac{1}{D_{k}^{2}} \left\{ \left[(k^{2}-1) g^{k} (1-p^{2}) + (k+1) p^{-k} (1-p^{2k+2}) \right] B_{k} - \\
- \left[(k-1) p^{k} (1-p^{-2k-2}) + p^{-k} (1-k^{2})(1-p^{2}) \right] B_{-k} \right] \\
L_{k} = \left\{ \frac{1}{\pi} \left[(k-1) h^{k} X_{k} - (k+1) h^{-k} \Gamma_{k} \right] - \frac{1}{\pi} (k-1) h^{2k} (l^{2}k - k - 1) \right\} c_{k} + \left\{ \frac{1}{\pi} \left[(k-1) h^{k} Y_{k} - (k-1) h^{-k} E_{k} \right] - \\
- \frac{1}{\pi} (k-1) h^{k} \right\} d_{k} \\
X_{k} = \frac{\lambda^{k}}{D_{k}} \left\{ (h^{2}k - k - 1) \left[h^{2k+2} - h^{4} - (k^{2}-1) (1-h^{2}) \right] + (k+1) (1-h^{2}) \right\} \\
Y_{k} = \frac{\lambda^{k}}{D_{k}} \left[(k-1) (1-h^{2}) (h^{2}k - k - 1) + h^{2k+2} - 1 \right] \\
E_{k} = -\frac{h^{2}}{D_{k}} \left[h^{2k} + k - kh^{-2} - 1 \right]$$

Из (1.19) вытекает уравнение, полученное в [4] для случая внутреннего контакта диска и кольца при заданных напряжениях $q_{*}(\alpha)$ и $q_{*}(\alpha)$.

§ 2. Решение уравнения (1.18). Применяя к этому уравнению формулы обращения Гильберта [5] и вычисляя при этом необходимые интегралы, получим

$$q'(a) + \gamma_1 q(a) = -\gamma_1 M_0 - \gamma_4 (1 - \gamma_4) \frac{2P}{\pi R_0} \cos a - \frac{1 - \gamma_4}{R_0} \frac{Q}{R_0} \cos a - \frac{1 - \gamma_4}{R_0} \cos a - \frac{1 -$$

Следовательно, задача об определения контактного давления $q(\alpha)$ на посадочной поверхности колец S и S, свелась к дифференциальному уравнению, имеющему точное решение Решая известными методами ураппение (2.1), находим

$$q(\alpha) = -\frac{M_0}{\tau_1} - \frac{4\gamma_5 \Delta G_0}{\gamma_1 K_0} + \frac{2\gamma_4 P_0}{\tau_1 \Gamma_0} \cos z - 2\sum_{k=2} \frac{M_k}{\gamma_1 \Gamma_0} \cos k\alpha \quad (2.2)$$

Предположим, что при $\alpha=\pi$ контактное давление $q(\alpha)$ обращается внуль, то есть $q(\pi)=0$. Для этого случая найдем натяг $\Lambda=\Lambda_{\min}$. Из формулы (2.2) при $\alpha=\pi$ получим

$$\Delta_{\min} = -\frac{M_0 R_0}{4 \tau_1 s G_0} - \frac{\tau_1 P_0}{4 \tau_1 s G_0} - \frac{\tau_1 R_0}{2 \tau_2 G_0} \sum_{k=2}^{\infty} \frac{M_1}{\tau_1 + k} \cos k \pi \qquad (2.3)$$

С учетом (2.3) формула (2.2) получает вид

$$q_{\min}(z) = \frac{1}{\pi R} (1 + \cos z) - 2 \sum_{n=1}^{\infty} (\cos \kappa z - \cos k\pi)$$
 (2.4)

где $q_{\mathrm{ala}}\left(lpha
ight)$ — контактное давление при $\Lambda = \Delta_{\mathrm{mla}}$.

На основании выражении (1.9), (1.11), (1.12) и (2.2) находим

$$d_{i} = -\frac{\gamma_{2}\lambda^{2}(1-\beta^{2})c_{0} + 2\pi\gamma_{3}(1-\beta^{2})B_{0}}{(1-\lambda^{2})[\gamma_{1}(1-\beta^{2})(1-\beta^{2})]} + d_{1} = i\frac{P}{R_{4}}$$

$$-\frac{8\pi\delta G_{0}\gamma_{3}(1-\beta^{2})(1-\beta^{2})}{R_{0}[(1-\delta^{2})[\gamma_{1}(1-\beta^{2})-\gamma_{3}]-\gamma_{2}\lambda^{2}(1-\beta^{2})]} + d_{1} = i\frac{P}{R_{4}}$$
(2.5)

$$d_{k} = -\frac{2 \pi \gamma_{2} S_{k} + \gamma_{2} \{k\}^{k} [\lambda^{2} (k-1) - k - 1\} - (k-1) X_{k} + (k+1) \Gamma_{k} | c_{k}}{\gamma_{1} + k + \gamma_{3} N_{k} - \gamma_{2} [(k-1) Y_{k} - (k-1) E_{k}]}$$
(2.6)

§ 3. Приближенное решение уравнения (1.19). В уравнении (1.19)

произведем замену переменных, полагая $\log \frac{\alpha}{2}$ — $a\cos \theta$, $\log \frac{\theta}{2}$ = $a\cos \theta$

$$\left(a = \lg \frac{x_0}{2}\right)$$
. В таком случае это уравнение с учетом (2.5) и (2.6) запишется так:

$$\frac{1 + a^{2} \cos^{2}\theta}{\pi a} \int_{0}^{1} \frac{p'(\theta_{1}) d\theta_{1}}{\cos \theta_{1} - \cos \theta} + 2 \pi p(\theta) - \frac{1}{\pi (1 - \kappa^{2})} c_{0} + \frac{P_{0}}{R_{4}} \left[\frac{4 \gamma_{4} \gamma_{7}!}{\pi (1 + \gamma_{1}) (1 - \epsilon)} - \frac{4 \gamma_{6}}{1 + a^{2} \cos^{2}\theta} \right] + \frac{1}{\pi (1 + \gamma_{1}) (1 - \epsilon)} \left[\frac{4 \gamma_{6} \cos \theta_{1}}{1 + a^{2} \cos^{2}\theta} \right] + \frac{2 M_{1}^{2} \cos k \pi}{(1 - \kappa^{2}) (\gamma_{1} + k)} c_{k} + \frac{P_{0}}{R_{4}} \left[L_{2} \cos (2 k \arctan \theta_{1} \cos \theta_{1}) + \frac{2 M_{2}^{2} \cos k \pi}{(1 - \epsilon) (\gamma_{1} + k)} \right] c_{k} + \frac{4 \gamma_{6} a E_{0}}{(1 + \gamma_{0}) R_{1}} \quad 0 \leq \theta \leq \pi \qquad (3.1)$$

Control of the second second

$$M_{1}^{*} = \frac{\gamma_{2}}{2} \frac{(\gamma_{1} + k)[k! [k! (k-1) - k-1] - (k-1)X_{1} + (k+1)\Gamma_{1}]}{\gamma_{1} + k + \gamma_{3}N_{k} - \gamma_{2}[(k-1)Y_{k} - (k+1)E_{k}]}$$

$$M = \frac{\gamma_{3} + k(\gamma_{1} + k)}{\gamma_{1} + k + \gamma_{3}N_{k} - \gamma_{2}[(k-1)Y_{1} - (k+1)E_{k}]}$$

$$L_{1}^{*} = \frac{1}{4} \{(k-1)i^{k}X_{k} - (k+1)i^{k}Y_{k} - (k-1)i^{2k}(i^{2}k - k - 1) - (k-1)X_{2} + (k+1)Y_{k} - (k-1)i^{2k}(i^{2}k - k - 1) - (k-1)X_{2} + (k+1)Y_{k} - (k-1)i^{2k}(i^{2}k - k - 1) - (k-1)X_{2} + (k+1)Y_{k} - (k+1)Y_{k} - (k+1)X_{2} + ($$

Искомое контактное давление р (0) представим в виде

$$p(\theta) = \frac{eE_0}{R_4} \sum_{i=1}^{2N-1} b_m \sin m \theta_i \quad m = 1, 3, \dots, 2N-1$$
 (3.2)

Удовлетвория уравнению (3.1) в конечном числе N равноотстояща точек b, приходим к следующей системе уравнений для определения ковффициентов b_m :

$$\sum_{m=1}^{2N-1} b_m A_m = \frac{4 \gamma_0}{1 + \nu_0} \quad (\mu = 1, 2, \dots, N)$$
 (3.3)

LIC

$$A_{mx} = \frac{m(1 + a^{2}\cos^{2}\theta_{p})\sin m\theta_{x}}{a\sin\theta_{p}} + 2\gamma_{g}\sin m\theta_{p}$$

$$-\frac{2\gamma_{g}\sin\frac{m\pi}{2}}{1 + a^{2}\cos^{2}\theta_{p}} + 8m\cos\frac{\pi}{2}\sin\frac{m\pi}{2} + r^{m}\frac{\pi}{2}\left(\frac{k\gamma_{g}}{2(1 - k^{2})}\right)$$

$$-\frac{1 - a^{2}\cos^{2}\theta_{p}}{1 + a^{2}\cos^{2}\theta_{p}} + 4\gamma_{g}\sum\left\{2a\int_{km}\left|L_{l}\cos\left(2k\arctan\left(a\cos\theta_{p}\right)\right) + \frac{2M_{1}\cos k\pi}{(1 - k^{2})(\gamma_{1} + k)}\right| + \pi\cos\frac{\alpha_{0}}{2}m\sin\frac{\pi}{2}\log^{m}\frac{\pi_{0}}{4}\left(\frac{2M_{2}\cos k\pi}{(1 - k^{2})(\gamma_{1} + k)}\right)\right\}$$

$$+L_{1}\cos\left(2k\arctan\left(a\cos\theta_{p}\right)\right)$$

$$+L_{2}\cos\left(2k\arctan\left(a\cos\theta_{p}\right)\right)$$

$$+\frac{k\pi}{2N}$$
(3.4)

Связь между постоянными с., P_{ϕ} и с., и неизвестными коэффициентами b_m имеет вид

$$c_0 = 2 = \frac{E_0}{\nu} H_2, \quad H_2 = \sum_{m=1}^{\infty} b_m \sin \frac{m\pi}{2} t g^m$$
 (3.5)

$$P_0 = 2 \operatorname{vis} E_0 \cos \frac{a_0}{2} H_1, \quad H = \sum_{m=1}^{2N-1} b_m \, m \sin \frac{m}{2} \, \operatorname{tg}^m =$$
 (3.6)

$$c_k = 4 \alpha \frac{\varepsilon E_0}{R_1} \sum_{k=1}^{2N-1} b_k f_k \tag{3.7}$$

rge

$$\int \frac{\sin (m \arccos x) \cos (2 k \arctan t g \, ux)}{1 + \alpha x} \, dx$$

Для получения выражений (3.4)—(3.7) необходимо ряд (3.3) подеташить в уравнение (3.1) и равенства (1.9), (1.10), (1.20) и вычислить необходимые интегралы.

Решив систему уравнений (3.3) для заданных угла контакта α_0 и упругих востоянных контактирующих тел, найдем коэффициенты b_m , подставив воторые в (3.2), получим функцию распределения контактного давления $p(\alpha)$. Затем с помощью формул (2.3) и (2.4) можно определить контактное давление $q(\alpha)$, действующее на посадочной поверхности между кольцами S_n и S_n и ведичину минимального натяга Δ_{\min} , при котором $q(\pi) = 0$. Эти формулы с учетом (2.5), (2.6) и (3.5)—(3.7) принимают вид

$$a_{m-1}(z) = \frac{zE}{R_4} \left\{ 2i \left(1 - \cos z \right) \cos \frac{\alpha_0}{2} H_1 - 4 \sum_{k=2}^{\infty} \left[2a M_1^2 \sum_{m=1}^{2N-1} b_m J_{km} + \pi M_2^2 \cos \frac{z}{2} H_1 \right] \frac{\cos k\alpha - \cos k\pi}{\gamma_1 + k} \right\}$$
(3.8)

$$\Delta_{\min} = \varepsilon \left(1 + \gamma_{0}\right) \left\{ -\frac{1}{2\gamma_{5}(1-\lambda^{2})} H + \frac{R_{0}}{\gamma_{5}(1-\lambda^{2})} \cos \frac{1}{2} H - \frac{(1-\lambda^{3})\left[\gamma_{1}(1-\gamma^{2}) - \gamma_{3}\right] - \gamma_{2}\lambda^{2}(1-\gamma^{2})}{\gamma_{5}(1-\gamma^{2})(1-\lambda^{2})} \right| H \cos \frac{z_{0}}{2} + \frac{2}{\sum_{i} \left(2aM_{i}^{2}\sum_{i}^{2N}b_{m} f_{km} + \frac{1}{2}\sum_{i}^{2N}cos\frac{1}{2}\right) \frac{cos}{\gamma_{1}-k} \right] \right\}$$
(3.9)

rae

$$B_0^* = B_0 \frac{R_4}{P_0}$$

§ 4. Числовой пример. Предположим, что напряжения q_1 (α) и q_2 (α) представлены выражениями

$$a_1(z) = A (1 + \cos n\alpha)$$

$$a_2(z) = -A \sin n\alpha, \quad n = 2, 3, \cdots$$
(4.1)

где = $-\frac{1}{20} \leqslant 2 = \frac{1}{6} + \frac{3}{20}$; $2\frac{1}{20}$ — угол, определяющий протяженность участка внешней поверхности кольца S_{10} к которой приложены напряже-

ния q_1 и q_2 ; $q_1(\beta_0) = q_2(\beta_0) = 0$ (последнее условие удовлетворяется когда n=2 спответствует $\beta_0=\frac{\pi}{2}$ n=3, $\beta_0=\frac{\pi}{2}$ и т. а.).

Постоянную А найдем из условия равновесия внешних сил. действую щих на контактирующие тела. Это условие имеет вид

$$P = R_1 | \{q_1(z) \cos a - q_2(a) \sin a\} dz$$
 (4.2)

Таблица в

0.5673

0.4209

0.3354

0.2212

Подставив в равенство (4.2) формулы (4.1), найдем

$$A = \frac{(n-1) \log P_0}{2 \left[(n-1) \sin \frac{2}{3} - \sin (n-1) \beta_0 \right] R_4}$$

Кроме того, на основании выражений (1.14), (1.15) находим

$$B_{k} = \frac{A\beta_{0}}{\pi}$$

$$B_{k} = \frac{A}{\pi} \left[\frac{(-1)^{-}}{k} \sin k \beta_{0} + \frac{1}{n-k} \cos (n-k) \pi \sin (n-k) \beta_{0} \right]$$

$$B_{k} = \frac{A}{\pi} \left[\frac{(-1)^{k}}{k} \sin k \beta_{0} + \frac{1}{n+k} \cos (n-k) \pi \sin (n+k) \beta_{0} \right]$$

Угол контакта 20 Параметр $\varphi = \frac{R_4}{R_2}$ 0.5455 0.5 0.17250.27120.0387 0 0062 0.1058 65 0 0017 -0.0091-0.03070.0023 0.0005 0.0008 0.0005 0.00130,0001 0.0002 0.0001 $P_n : E_n$ 0.3983 0.97720.17980.0347 U. 1386 0.5166 $\rho(0) R_4 - E_0$ $\rho(0) R_4 - E_0$ 0.1744 0.2808 0.5775 0.42540.1417 0.2099 0.6 0.10070.1548 0.31710.1135 b_3 0.0138 0.04930,0063 --0.0166 -0.0017--0,0021 0,0018 0.0003 0.0005 $P_{0} = b_{11}$ 0.0002 0.0001 0.0001

Числовые расчеты проведены для случая, когда контактирующие темнаходятся в условиях обобщенного плоского напряженного состояния, то

p (0) R | E

q (0) R 1 + E0

0.1050

0.0408

0.1025

0.0700

0.2279

0 1293

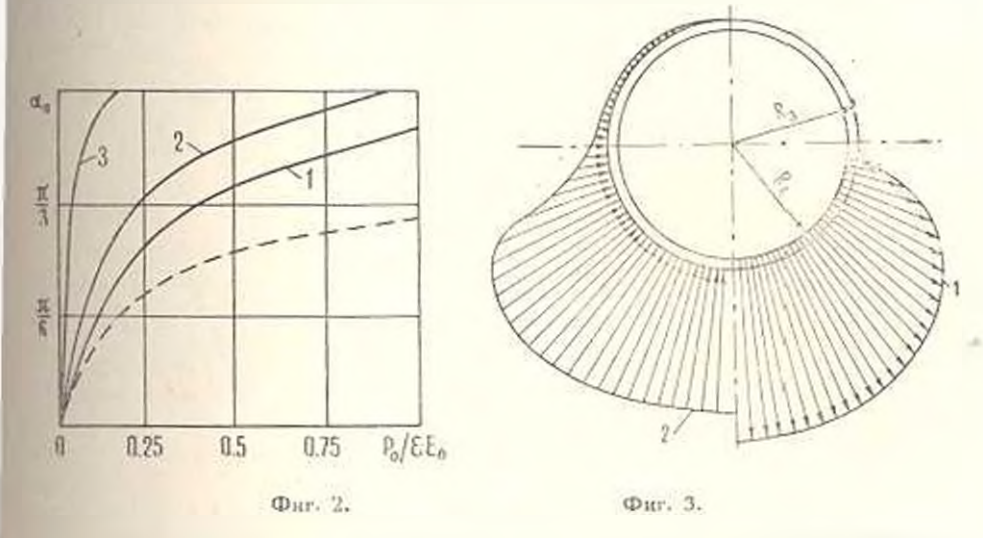
0 1521

0.1001

есть когда $x_j = (3-y_j)/1 + ...$ Кроме того, принято $E_1 = E_2 = 2 E_0$. $v_n = v_n = 0.3$; $v_n = 0.3$; $v_n = 0.9$. Параметр 2 кольца S_1 принимал значения 0.5; 0.6; 0.8.

При указанных значениях параметров вычисления проводились на 3BM «EC—1020» при N=6.

Значения коаффициентов b_m ($m=1,3,\cdots,11$), величин $P_0/\epsilon E_0$, $\Delta_{\rm min}$ и контактных давлений p (z) и q (z) при $\alpha=0$ приведены в табл. 1, а на фиг. 2 показана зависимость между углом контакта и величиной $P_0/\epsilon E_0$, причем кривая 1 соотпетствует p=0.5, кривая 2-p=0.6, кривая $3-p^*=0.8$. Штриховая кривая на этой фигуре построена для случая, когда $R=\infty$ и $R=\infty$ (задача о давлении диска S_z на границу кругового отверстия в бесконечной плоскости).



На фиг. 3 показано распределение контактных давлений $p(\alpha)$ и q(x) для случая, когда $=\frac{4}{6}\pi$, p=0.5, $\lambda=0.9$ и $3_0=\frac{\pi}{4}$ причем кривая 1 выражает изменение контактного давления p(x) на внутренней поверхности кольца S_0 , а кривая 2— контактного давления q(x) на внешней его поверхности.

Дрегобычский педагогический миститут им. Ив. Франко

Flortymana 15 IV 1980

IF. b. SBANTE

<mark>ԱՌԱՁԳԱԿԱՆ Գ</mark>ԼԱՆԻ ԵՎ ՉԳՎԱԾՔԻ ՄԻԶՈՏՈՎ ՄԻԱՑՎԱԾ ԵՐԿՈՒ Հ<mark>ԱՄԱԿԵՆՏՐՈՆ ՕՂ</mark>ԱԿՆԵՐԻ ՆԵՐՔԻՆ ԿՈՆՏԱԿՏԻ ՄԱՍԻՆ ԽՆԳՐԻ ԼՈՒԾՈՒՄՔ

Ավիոփում

Հուծվ<mark>ել է առաձ</mark>գական գլանի և հրկու համակհնարոն օղակների կոնտակտի ժ<mark>ամանակ առա</mark>ջացած լարումների թաշխման վերաբերյալ խնդիրը։ Օղակները իրար հետ միացված են ձղվածքի միջոցով, <mark>իսկ զլանը</mark> դրվան է ներքին օղակի անցքի մեջ բացվածքով։

Խնդիրը րերվել է երկու ինտնգրալ Հավասարումների<mark>ց կազմված</mark> սիսանժի լուծմանը։ Տրված է խնդրի թվային լուծումը։

SOLUTION FOR THE PROBLEM IN INTERNAL CONTRACT OF AN ELASTIC CYLINDER WITH TWO CONCENTRIC RINGS CONNECTED BY TENSION

M . I. TEFLY

Summary

The problem in distribution of stresses resulting at the contact of an elastic circular cylinder with two concentric rings has been solved. The rings are connected by tighness and the cylinder is inserted into circular hole in the internal ring with a gap. The problem is reduced to the solution of a system of two integral equations. The numeral colution for the problem is given.

AHTEPATYPA

- Минтарин С. М., Торосия Ф. С. О контактном взаимодействии кругового дили бескопечной пластины с круговым отверстием, подкрепленным голими кольцепи покрытием. Или. АН Арминской ССР, Механика, 1978, т. 31. № 5.
- Торосин Ф. С. О внутрением контактном взаимодействии кругового диска и кругом го кольца, подкрепленного на обводе отверстия тонжим кольцевым покрытил Изв. АН Армянской ССР. Механика, 1979, т. 32, № 1.
- Мускелинация Н. И. Некоторые основные задачи математической теории упругода М., «Наука», 1966.
- Теплый М. П. Задача о внутреннем контакте цилиндра и кольца при наличии зазор или цатята. Тезисы докладов Всесоюзной конференции по теории упругости. Ер ван, АН Армянской ССР, 1979.
- 5. Мускуливации Н. И. Сиптулярные интегральные уравнения, М., «Наука», 1968.

А. Г. БАГДОЕВ, А. А. ВАНЦЯН

ПРОНИКАНИЕ ТОНКОГО ТЕЛА В МЕТАЛЛЫ И ГРУНТЫ

Проникание тел в пластические и сыпучие среды рассматривалось в [1—5]. Проникание тонких тел в сжимаемую жидкость исследовалось в [6—8]. Проникание тонких тел в первоначально упругие среды с образованием фронта пластических разрушений или фронта меридиональных трещин [9] рассмотрено и [10—12]. В настоящей статье рассматривается пронивание тонких тел в металлы и грунты. Показано, что решение в основном порядке, использованное в работах [10—12], для идеально пластической среды позади фронта разрушения верно лишь при пренебрежении диссивации энергии на фронте. Получено более точное решение с помощью уравнения ударной аднабаты [9]. Найдены значения максимальной глубины проникания для тела, состоящего из цилиндра, переходящего в конус (криволинейный).

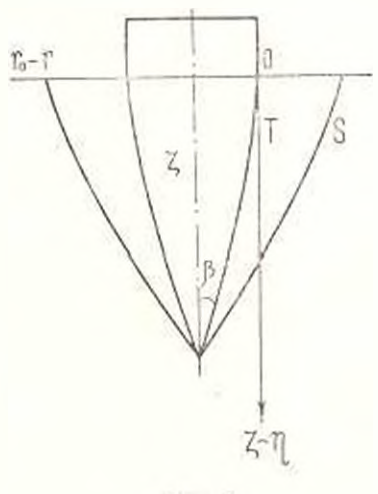
Проведены эксперименты по прониканию в различные металлы и композиты. Показано хорошее соответствие с результатами расчетов по получениым формулам. Дается обобщение результатов на визкопластические среды, уравнения состояния которых описаны в [13—16]. С помощью полученных решений основного порядка, используя соотношения работ [10, 11], можно получить решения в порядке р. где р полуугол раствора тела. Полученные решения верпы всюду, кроме малой окрестности свободной воверхности среды и вершины тела.

Решение задачи для идеально-пластического течения вблизи тела

В настоящей статье дается решение задачи пронижания тонкого твердого тела вращения и первоначально эпругую среду.

Решение чисто упругой задачи [10, 11] показывает, что вблизи тела следует учитывать неупругое поведение материала, тогда для тонких тел можно внести поверхность S, отделяющую область разрушения огобласти упругого поведения материала (фиг. 1) вблизи тела.

Метод, развитый в настоящей статье, состоит в изучении фронта разрушения, который исходит из вершиим тела, упругой области вне S и области разрушения позади S.



Фиг. 1.

Можно ввести ось X по пормали к свободной поверхности среды, занимающей полупространство, а через I обозначить радиальную координату. Уравнение поверхности тела можно взять в виде $I = I_n$ (x, I), где I мало, I есть время с начала проникания, причем при I = 0 — 0. Уравнение поверхности разрушения берется в виде $I = I_{n} \xi_n$, причем предположено $\xi_n \gg 1$, но ξ_n мало, тогда можно для упругого решения вблизи S взять асимптотику для чалых I, а для решения позади S пользоваться формулами, соответствующими переходу к большим значениям I/I_n , что соответствует линейной асимптотихе.

Можно сделать различные предположения о характере разрушения среды позади S. Если разрушение происходит вдоль площадок скольжения, то следует пользоваться уравнением пластического течения. При разрушении среды растигивающими кольцевыми напряжениями можно считать, что среда разрушалась изоль меридиональных трещин и использовать уравнение [12], причем решение задачи о проинкании в такую средудано в [10]. В настоящей статье решается задача для пластической среды. В области между поверхностями S и T предполагаем что имеется течение среды, описываемое уравнениями Мизеса [4, 14]

$$\frac{\varepsilon_{ir}}{\varepsilon_i} = \frac{\sigma_{re} - \sigma}{2\,\tau_s}, \quad \frac{\varepsilon_{ij}}{\varepsilon_i} = \frac{\sigma_{ij} - \sigma}{2\,\tau_s}, \quad \frac{\varepsilon_{xi}}{\varepsilon_i} = \frac{\sigma_{xx} - \sigma}{2\,\tau_s}$$

$$\frac{\varepsilon_{xr}}{\varepsilon_i} = \frac{\sigma_{xr}}{\tau_s}, \quad \varepsilon_{er} = \frac{\partial v_r}{\partial r}, \quad \varepsilon_{ij} = \frac{v_r}{r}, \quad \varepsilon_{xx} = \frac{\partial v_r}{\partial x}$$
(1.1)

где v_r , v_x компоненты скорости частиц, причем для тонких тел $|v_r| \ll |v_r|$, $|v_x| = 1$ постоянныя предел текучести, б v_r^2 есть правая часть условия текучести

$$(s_{rr} - s_{el})^2 + (s_{rr} - s_{el})^2 + (s_{rr} - s_{el})^2 + 6 s_{rr}^2 = 6$$
 (1.2)

Уравнение иссжимаемости, записанное в основном порядке

$$\frac{\partial v_r}{\partial r} - \frac{v_r}{r} = 0$$

после интегрирования и удовлетворения кинематического условия на теле

$$v_r = \frac{dr_s}{dt}$$
 Aget

$$v_{s} = \frac{a_{r_{k}}}{\partial t} \tag{1.3}$$

Для интенсивности скоростей деформации получится $e_i \approx 2 \frac{v_r}{r}$. Вводя раднальную компоненту вектора перемещений U

вную компоненту нектора перемещении О

$$\frac{dU_{r}}{dt} = \frac{dU_{r}}{dt} = \frac{\partial U_{r}}{\partial t} + \frac{\partial U_{r}}{\partial r} v_{r}$$

можно после интегрирования найти

$$U_r = r + F(r^2 - r_h^2) \tag{1.4}$$

 $A_{\Lambda 1}$ определения функции F и решения позади фронта r=r \S в [11] было дано решение

$$U_r = r - \sqrt{r^2 - r_k^2} \tag{1.5}$$

удовлетворяющее граничному условию на теле и условию асимптотического сращивания с (1.9). Однако можно показать, что указанное сращивание ве единственно. Поэтому следует, вообще говоря, для выбора единственного решения язять уравнение энергии на фропте $\ell=\ell, \pm$, или уравнение ударной адиабаты [9]

$$e_1 - e_2 = -\left(v_{e_1} - v_{e_1}\right) \frac{z_{e_1} + z_{e_2}}{2z_1 z_0} \frac{\partial r_k}{\partial t} \tag{1.6}$$

где с — энергия на единицу массы, индекс 1 дает величины впереди, а инлекс 2 — позади поверхности r = 1 = значения = 1 имеют вид [9]

$$e_{1} - e_{0}(T_{1}) + 2\nu \frac{f^{2}}{r_{k}^{2} z_{0}^{4}}$$

$$e_{2} = e_{0}(T_{2}) + \varepsilon_{1} + \frac{\tau^{2}}{2}$$
(1.7)

тде T_{-1} — температура. ε_s — энергия разрушения, $\varepsilon_o(T) = CT$, последние слагаемые соответствуют внутренией энергии [13] упругой области и внутренией энергии пластической области в начале ее образования или ее значению на поверхности разрушения S.

В упругой области вне поверхности S решение можно искать методом источников в виде [10]

$$u_{r} = \frac{f(x, t)}{r} \cdot u_{r} \approx 0 \tag{1.8}$$

где I(x, t) — функция, определяемая из граничных условии на поверхности S. Для напряжений в упругой среде имеет место

$$z_{rr} = \lambda \Delta + 2 \frac{\partial u}{\partial r} \qquad z_{00} = \Delta + 2 \frac{u}{r}$$

$$z_{1r} = \Delta + 2 \frac{\partial u}{\partial r} \qquad = \pi \left(\frac{\partial u}{\partial r} + \frac{\partial u}{\partial r} \right) \qquad (1.9)$$

$$\Delta = \frac{\partial u_r}{\partial r} - \frac{u_r}{r} - \frac{\partial u_r}{\partial x}$$

Tогда на (1.8) и (1.9) следует впереди S

$$\Delta \approx 0$$
, $z_{rr} = -2 \mu \frac{f(x_{r}, t)}{r^{2}}$, $z_{tt} \approx 2 \mu \frac{f(x_{r}, t)}{r^{2}}$, $z_{xx} = 0$ (1.10)

$$x_{r_0} = \frac{f(x, t)}{r}, \quad v_{r_0} = \frac{1}{r} \frac{\partial f(x, t)}{\partial t} \tag{1.11}$$

Подставляя упругое решение (1.11) в (1.2), можно получить

$$\frac{2 y f(x, t)}{r_k^2 \xi_0^2} = \epsilon_{\epsilon} \qquad (1.12)$$

Используя соотношения (1.6), (1.7), (1.11) и з_и = з_{из} можем пайти

$$\frac{\partial f}{\partial t} = r_k \frac{\partial r_k}{\partial t} - r_k \frac{\partial r_k}{\partial t} \frac{z_0^2}{\tau_s} (z_s + CT_z - CT_s) \qquad (1.13)$$

Предполагая постоянство выражения $\varepsilon_s + CT_c - CT_1 = e_2 - e_1$, можно из (1.12) и (1.13) получить

$$f = \frac{1}{2} a r_k^2, \, \tilde{z}_a^2 = \frac{\mu a}{\tilde{z}_a} \cdot a = \frac{1}{1 + \frac{\mu}{2} \rho_1 (\tilde{z}_s + CT_s - CT_1)}$$
 (1.14)

В предположении, что $\frac{1}{T}$ ($\epsilon_s - CT_s - CT_1$) 1, получаем a = 1 в формуле (1.11) и решение дается (1.5). Решение впереди S

$$u_e = a \frac{r_k^2}{2r} \tag{1.15}$$

Для определения 0,, в области течения можно использовать упрошенные уравнения движения

$$\frac{1}{2} = 0, \quad z_{11} - z_{00} = -2z_{00}$$
 (1.16)

ОТКУДа

$$z_{rr} = 2 z_s \ln r + \bar{x} (x_r t) \tag{1.17}$$

где $\phi(x, t)$ — произвольная функция.

Используя условие непрерывности σ_{r_0} , при $r = r_{\kappa} \zeta_0$, с учетом (1.10). (1.17) и (1.14) получим

$$s_{rr} = r \left(2 \ln \frac{r}{r_{k} s_0} - 1 \right)$$
 (1.18)

причем на теле при $r = r_n$

Решение позади S найдется путем приравинвания (1.4) к (1.15) при $r = r_n \xi_0$ и получится

$$F(r^2 - r_k^2) = \frac{\sqrt{r^2 - r_k^2}}{\sqrt{\xi_0^2 - 1}} \left(\frac{a}{2\xi_0} - \xi_0 \right)$$
(1.20)

$$U_{r} = r + \frac{V r^{2} - r_{k}^{2}}{V \xi_{0}^{2} - 1} \left(\frac{a}{2 \xi_{0}} - \xi_{0} \right)$$
 (1.21)

Используя формулу для плотности

$$\rho = \rho_0 \left(1 - \frac{\partial u_r}{\partial r} \right) \left(1 - \frac{u_r}{r} \right)$$

получим

$$\text{при } r > r_k \colon_0 \quad \rho = \rho_0 \Big(1 - \frac{\alpha}{4 \, r^4} \Big)$$
 при $r < r_k \colon_0 \quad \rho = \rho_0 \Big(\frac{\alpha}{2 \, \tau_0} - \, \xi_0 \Big)^2 \frac{1}{\tau_0 - 1} = \rho_0 \Big(1 - \frac{\alpha}{\tau_0} + \frac{1}{\tau_0} \Big)$

то есть плотность постояния и имеется водна сжатия.

§ 2. Определение глубины проникания

Рассмотрим задачу о проникании конуса с углом полураствора β , тогда = $(I-x)\beta$. Предполагая, что на теле имеет место граничное условие α ,, где α , коэффициент трения, можно для силы сопротив левия прониканию получить

$$P = -2\pi \int_{0}^{(y)} (f-x) \beta(\beta+k_1) z_n dx$$

RAH

$$P = -\pi \beta \left(\beta - k_{\perp}\right) z_{\perp} f^{\perp} \left(\ell\right) \tag{2.1}$$

Записывая закон движения тела массы m m j'' = P, получим после интернрования и с учетом (1.22)

$$f'^2 = V^2 - \frac{2}{3m} \pi \beta (\beta + k_1) \approx \left(1 + \ln \frac{\pi \alpha}{2}\right) f^2$$

где V — начальная скорость тела. Условие $f(\cdot) = 0$ дает для максимальной глубины приникания следующее выражение:

$$f_{\text{max}}^{3} = \frac{2 \, m \, V^{2}}{2 \, \pi \, \tau_{\text{s}} \left(1 + \ln \frac{\mu a}{\tau_{\text{s}}} \right) \beta \left(\beta + k_{1} \right)} \tag{2.2}$$

§ 3. Определение максимальной глубины проникания для цилинлрического тела, переходящего в конус

Рассмотрим цилиндрическую часть тела, которая переходит в кривоаввенный конус с уравнением образующей (фиг. 1)

$$r_k = r_0 - \beta (\zeta - \gamma)^*, \qquad = l - x \tag{3.1}$$

Вначале предположено, что идоль цилиндра среда примыкает к телу и 0. Для силы сопротивления в момент времени t, соответствующий волиому погружению конической части тела, или при l > 1 можно получить

$$P = 2\pi \tau_s \left(1 + \ln \frac{\mu a}{\tau_s} \right) \left[\frac{r}{\nu + 1} \right] + \frac{1}{2} \beta^2 \zeta^{2\nu} + k_1 r_0 (f - \zeta)$$
(3.2)

Уравнение движения в этом случае исследовано ниже. Для задачи с отсутствием трения на цилиндрической части ($k_i=0$) уравнение движения будет при $f>\xi$

$$mf'' = -2\pi \epsilon_s \left(1 + \ln\frac{m\alpha}{\epsilon}\right) \left| \frac{v}{\epsilon} \beta k_1 z^{-1} + \frac{1}{2} \delta^2 \zeta^{2\gamma} \right|$$
 (3.3)

После интегрирования получим

$$\frac{f'^2}{2} - \frac{V_1^2}{2} = -\frac{2^{-1}}{m} \left(1 - \ln \frac{m}{2} \right) \left(\frac{v}{v+1} \, 3k_1 \, ... \, 1 + \frac{1}{2} \, k_2 \, ... \, 1 \right) (3.4)$$

где 1. — скорость тела в момент, когда / = - или при полном погружении конуса. При / < - уравнение движения тела имеет вид:

$$mf'' = -2\pi \epsilon_s \left(1 + \ln\frac{\mu\alpha}{\epsilon_s}\right) \left[\frac{1}{2}\beta^2 \xi^{2s} + \beta \xi^* k_1 f - \frac{\beta k_1}{\nu + 1}\xi^{\nu+1} - \beta^2 \xi^* (\xi - f)^{\nu} + \frac{\beta^2}{2}(\xi - f)^{2\nu} + \frac{\beta k_1}{\nu + 1}(\xi - f)^{\nu-1}\right]$$
(3.5)

После интегрирования и складывания с (3.4) с учетом того, что при $I=\xi\,I'=V_{I}$, получим

$$\frac{f'^{2}}{2} = \frac{V^{2}}{2} = \frac{2\pi^{2}}{m} \left(1 + \ln \frac{na}{\pi}\right) \left[\left(\frac{v}{v+1}\right) k_{1} + \frac{1}{2} \left(\frac{v}{v+2}\right) + 3k_{1}^{2} \left(\frac{v}{v+2}\right) \right] + 3k_{1}^{2} \left(\frac{v}{v+1}\right) \left(2\frac{v}{v+1}\right) + 3k_{1}^{2} \left(\frac{v}{v+2}\right) \right]$$

где V — начальная скорость.

 Π ри f'=0 $f=f_{\max}$ и для f_{\max} получится

$$f_{\max} = \frac{1}{\frac{v}{v+1}} \frac{1}{\beta k_1 \zeta^{v+1} + \frac{1}{2} \beta^{2\zeta^{2}v}} \left[\frac{m V^2}{4 \pi \epsilon_s \left(1 + \ln \frac{\mu a}{\epsilon_s} \right)} + \frac{1}{(2v+1)(v+1)} - \frac{\beta k_1 \zeta^{v}}{2(v+2)} \right]$$
(3.6)

При у = 1, то есть для тела с прямодинейной конусной частью,

$$f_{\text{max}} = \frac{mV^2}{2 \pi \epsilon_s \left(1 + \ln \frac{\mu a}{\epsilon_s}\right) \beta \left(\beta + k_1\right) \zeta^2} + \frac{2}{3} \zeta$$
(3.7)

Отметим, что определение / для погружения криволинейного копуса, то есть формулы, подобной (2.2), при v ≠ 1 является довольно сложной задачей и в настоящей работе не рассмотрено.

Вычислим I_{max} с учетом того, что на цилипдрической части $k_1 \neq 0$.

Для силы сопротивления имеем формулу (3.2). Проподя те же рассуждения для i_{max} , будем иметь формулу при $i_{max} > 2$ или $i_{max} = 2$.

$$f_{\text{max}} = -\left(\frac{\beta\zeta}{2k_1} - \frac{\zeta}{\nu + 1}\right) + \left[\left(\frac{3\zeta}{2k_1} - \frac{\zeta}{\nu + 1}\right)^2 + \frac{\beta}{k_1} \frac{3\nu + 1}{(2\nu + 1)(\nu + 1)} - \frac{2\zeta}{(\nu + 1)(\nu + 2)} + \frac{mV^2}{2\pi \left(1 + \ln\frac{\mu a}{2}\right)(k_1)}\right]$$
(3.8)

При у=1 формула (3.8) переходит в формулу

$$I_{mn} = -\frac{K}{2} + \left| \frac{K^2}{4} + \frac{1}{-k_1 k_2} \right| \frac{m V^2}{2 \tau_n \left(1 + \ln \frac{y \sigma}{\tau_n} \right)} - \frac{-3 \left(3 + k_1 \right) \zeta^2}{\tau_n^2} \right| + \frac{2 \zeta^2}{k_1} \bigg|_{1}^{1/2}$$
(3.9)

где $K = \frac{R}{k_1} - 1$, $I_{max} = \frac{1}{2}$ дается (2.2).

На фиг. 2 приведены зависимости \int_{max} от $^{-}$ для конического тела, триходящего в цилиндр для $\beta \approx 0.22$ рад см $^{-}$ = 0.15, a = 1. Кри-

вые. I. II соотнетствуют прямому с

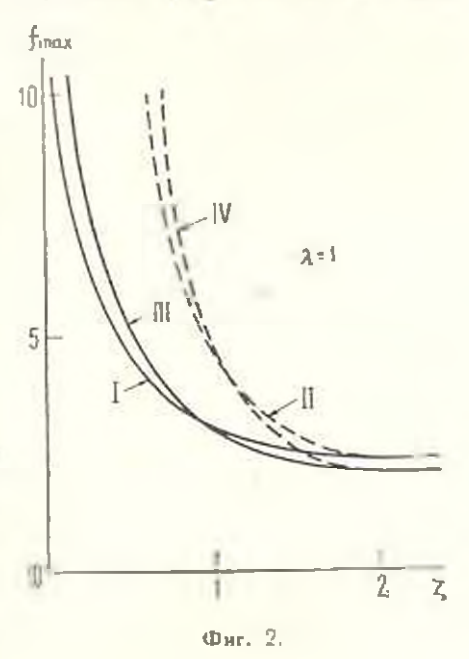
■ринолинейной образующей:

l-r=1, $k_1=0$ на цилиндре), l-r=1, $k_1=0$ (на цилиндре), ll-r=1.3, $k_1\neq 0$ (на цилиндре), lV-r=1.3, l=0 (на цилиндре) привято, что

$$\lambda = \frac{mV^n}{2\tau_s \left(1 + \ln \frac{\mu}{\tau_s}\right)} = 1$$

Как видно из кривых, наименьшее значение f_{das} (при у 1) соответствует то есть погружевир конуса.

Выражения (3.8), (3.9) выполниются при $< f_0$, где f_0 — высота тела. При $f > f_0$ и k_1 О сле-



дует интегрировать по поверхности тела при вычислении P. Тогда получим при $f > f_0$

$$P = 2 = \int_{r_k} r_0 k_1 (-z_n) dx + 2 = \int_{f-f_0} r_0 k_1 (-z_n) dx =$$

$$=2\pi\epsilon_{s}\left(1+\ln\frac{n_{0}}{\epsilon_{s}}\right)\left[\frac{1}{2}+1\right]+\frac{1}{2}3^{2}\epsilon^{2}+1 + \left(\frac{1}{2}-1\right)^{2}$$

Записывая mf'' = -P, интегрируя от $f = f_0$, $f' = V_0$ до данных значений f, f', полагая в (3.4) $f = f_0$, $f' = V_A$ и складыная полученные уравнения, можно получить для глубины проникания при полном погружении тела

$$f_{\text{max}} = f_0 + \frac{\frac{mV^2}{4\pi\tau_s \left(1 + \ln\frac{n\alpha}{2}\right)} + \frac{3^2 \left(3\nu + 1\right)\xi^{2\nu+1}}{2\left(2\nu + 1\right)\left(\nu + 1\right)} + \frac{\beta k_1 \xi^{\nu-2}}{(\nu+1)\left(\nu+2\right)}}{\frac{2}{2}k_1 \xi^{\nu} \left[\frac{f_0^2}{2} + \left(\frac{\beta \xi^{\nu}}{2k_1} - \frac{\xi^{\nu}}{2}\right)f_0\right]}{\frac{3}{2}k_1 \xi^{\nu} \left[\frac{f_0^2}{2} + \left(\frac{\beta \xi^{\nu}}{2k_1} - \frac{\xi^{\nu}}{2}\right)f_0\right]}$$

При $k_1 = 0$ на пилиядре для всех $f > 1_0$, в том числе и для $f > f_0$ и мест место формула (3.6).

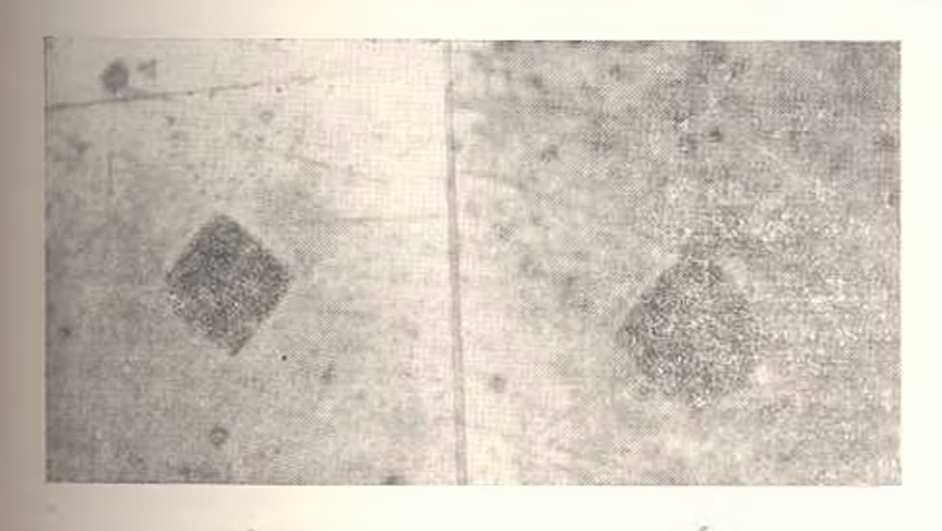
§ 4. Экспериментальное исследонание проникания

Для экспериментального исследования проникания в разные металлы были использонаны в качестве материалов для образцов алюминий, дюраль, латунь, медь. В качестве проникающего тела использовалось тонкое твердое тело.

Для определения параметра а в формулах (3.6)—(3.10) было проведено исследование материалов на микротвердость. Из испытываемых образцов вырезадись властикки, перпендикулярные оси проинкания. После специальной обработки на полированиой поверхности образцов микротвердомером ПМТ-3 по нескольким направлениям от кратера было рассмотрено понедение материала после вдавливания сидой 10 г четырохграниой алмазной пирамиды. После святия нагрузки выяснилось, что отпечатки имели форму квадратов (фиг. За), в окрестности кратера отпечатки имели форму криволицейных четырехугольников (фиг. 36). Причем гранина между областями регулярных и искаженных отпечатков принимается в качестве границы пластической области. Таким образом, там, где отпечатки становились квадратными, предполагалось наличие границы области разрушения, то есть определялась ведичина Е., которая оказалась постоянной. Подставляя значение и в формулу (1.14), можно подсчитать диссинацию анергии $\varepsilon_{r} + CT = CT_{r}$ на фронти $r - r_{hh}$ в разных материалах. В табанце принедены теоретические и экспериментальные данные карактерных величия.

Результаты исследования, приведенные в таблице, показывают, что разные материалы ведут себя качественно по-разному. В тех материалах, в которых при пропикании тела имеется касание со средой цилиндрической части, для определения максимальной глубины проникания хорошее соответствие с экспериментом дают формулы (3.8), (3.10). Сказанное относит-

св к образцам из алюминия, латуни. Причем для латуни имеется неполнов проникание и используется (3.8), а для алюминия $l_{\rm max} > l_{\rm o}$ и используется (3.10). В тех материалах, ширина кратера которых больше, чем диаметр



Фиг. 3.

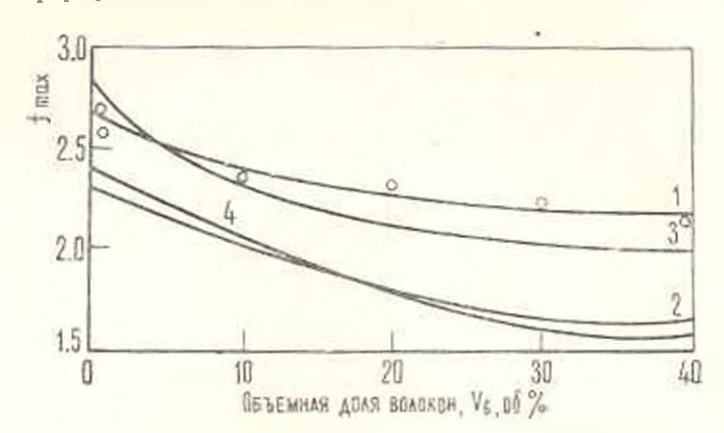
тела, при проинкании имеет место неполное касание вдоль цилипдрической чести тела, и хорошее соответствие с результатами эксперимента дает расчет по формуле (3.6), где припято k_i . О на цилипдрической части тела. Сказанное относится к дюралюминию, меди. Таким образом, имеется соответствие между теоретическими и опытиыми данными эначений ϵ_a и

-			7	Таблица				
Ве дичина Мэтериал Х	ж1 сж ²	T S ACE CO	max (k ₁ = 0) e,k	/ _{max} (k ₁ 0)	sken.	$\frac{\alpha}{\gamma_s} (\epsilon_s + C\Delta T)$	BRC	Коаф, тремия
Ampana	0.26	3000 0 65	4.45	4.28	4.5	0.54	7	0.15
Латупр	0.44	2911.80.54	3.82	2.19	2.2	0.85	9	0.25
Модъ	0,44	2205.90.48	3.11	2.72	3	1.08	e]	0.23
напимика	0.26	441.20.20	14.4	10_53	10	4	10	៧.15

Јем для всех материалов. Разумеется, рассматриваемая теория не подходит для случая полного илевления проникающего тела, что наблюдалось в опытах по прониканию в образцы из легированной стали и броизы. Кроме того, представляет интерес проникание в хрункие вещества, для которых значения и одиолучены в работе [10]. Следует заметить, что полученные в [10] значения са велики, то есть для хрупких тел получается большая область разрушения, поэтому соотношения [10] могут быть использованы лишь для определения порядков величин. То же [10] относится валичию фронта трещин, за которым следует фронт гечения.

В силу того, что a < 1, получается $\epsilon_a + C\Delta T > 0$, и имеет место увеличение I_{\max} в сравнении со значениями, получениями при a = 1, то есть чем больше податливость материала, опредсляемая по I_{\max} , тем больше сила ударной волны, через которую можно выразить диссипацию внергии [18, 9]. Значения μ и τ_a взяты из [19], причем согласно [15] для динамических задач τ_a увеличено в 1.5 раза. Значение k_a взято по [20].

Для экспериментального исследования проникация в [12] применялся композиционный материал, полученный армированием железного порошка марки ПЖ2М произвольно ориентированиями дискретными стальными волокнами. В качестве проникающего тела использоналось топкое твердое тело. На фиг. 4 кривая 1 дает результаты экспериментальных данных для различных объемных долей волокои, кривые 2, 3, 4 рассчитаны соответственно по формулам (2,2), (3,6), (3,8).



Фиг. 4. 1— кривая, полученная экспериментально, 2— кривая, рассчитанноя по формуле (2.2), 3— кривая, рассчитанная по формуле (3.6), 4— криная, рассчитанная по формуле (3.8).

Результаты исследований, приведенные на фиг. 5, показывают, что наибольшая глубина достигается для образцов, полученных из неармированного материала, а с увеличением объемной доли армирующих волокон глубина проникания тела уменьщается.

После проникания размер кратера превышал в 1.3—1.4 раза диаметр тела. Из фиг. 4 видно, что с экспериментальными данными больше всего сходится кривая 3, полученная по формуле (3.6), то есть при отсутствии силы трения на цилиндрической части, что объясияется появлением кратера с размером, большим диаметра проникающего тела.

§ 5. Проничание в аязко-пластическую и в сыпучую среды

Можно также рассмотреть случай вязкотекучего материала позади S. Определяющие уравнения вместо (1.1) можно взять в форме уравнений Купера—Симонса [14, 15, 23]

$$\tau_0 = \frac{\tau_0 - 2}{2\tau_0}, \quad \tau_0 = v_0 + \frac{\tau_0 + k \tau_0^2}{2\tau_0}$$
 (5.1)

еле в $\approx 2^{\frac{V}{r}}$ - 11 есть постоянная плотность материала среды. V — динамический коэффициент вязкости, т , k, n — постоянные. Вычисления § 1 могут быть приведены для рассматриваемой общей задачи и дают для распределения напряжения в разрушенной области

$$\mathbf{s}_{ir} = -\frac{1}{2} + 2 \cdot \ln \frac{r}{r_{ir}} - 2 \cdot r_{ir} \frac{\partial r_{ir}}{\partial t} \left(\frac{1}{r_{ir}} - \frac{1}{r_{ir}^{2n}} \right) - \frac{k}{n} \left(2 \cdot r_{ir} \frac{\partial r_{ir}}{\partial t} \right) \left(\frac{1}{r_{ir}} - \frac{1}{r_{ir}^{2n} r_{ir}^{2n}} \right)$$

$$(5.2)$$

где 4 определяется на условия (1.2), аписанного для упругого решения

$$\frac{p}{\xi_{I}^{2}} = \tau - k \left(2 \frac{\sigma_{I}}{r_{A}} \frac{1}{\sigma t} \frac{1}{\xi_{I}^{3}} \right) + 2 \gamma_{I} \frac{\sigma_{IA}}{r_{A} \sigma t} \frac{1}{t_{B}}$$

$$(5.3)$$

Еган условие на поверхности / $\frac{1}{2}$ / $\frac{1}{2}$ гависит только от компонент тензора невряжений [9], можно полагать $\frac{1}{2}$ 0 в (5.3). Можно видеть, что а общем случае поверхность фронта разрушения не подобна поверхности тела. Можно похазать, что для $\frac{2}{3}$ < n < 1 имеется расходимость интеграла

$$- \left(2 = r_1 \left(-\frac{\sigma_{r_1}}{\sigma_{x_1}} - k_3 \right) z_{rr} dx \right)$$

вредставляющего силу сопротивления вычисленную согласно (5.2) для вонуса. Для k=0 распределение напряжений на теле может быть записано в виде

$$\sigma_{rr} \approx -\tau_s \left(1 + \ln \frac{\alpha}{\tau_s}\right) - 2 \approx \frac{\partial r_k}{r_k \partial t}$$
(5.4)

Поростности вершины тела. Уравнение движения конического тела дает

$$f = -\frac{1}{m} \left(z_1 \ln \frac{1}{m} + z_2 \right) 3(3 + k_1) f^2 = \frac{1}{m} \left((1 + k_1) f f' \right)$$
 (5.5)

Последнее уравнение имеет форму уравнений Энлера-Поиселе-Резаля [3], но с переменным коэффициентом / при втором члене.

Для простоты рассмотрим среду, и которой $v = \tau_* = 0$ [21]. Гогда по (5.1), (5.2), (5.3) получится иначение σ_{in} причем максимальное раститивающее значение в области $r \ll r_*$ будет при $r = r_* \xi_*$

$$\sigma_{00} = \gamma \left(\frac{\partial r_k}{r_k \partial t}\right)^{\frac{n}{1-n}}, \quad \gamma = \mu \left(\frac{k}{\mu}\right)^{\frac{1}{1-n}} 2^{\frac{n}{1-n}}$$

Вводя трещиноватость среды у, используем уравнения [21]

$$A(N+1) \int z_{\max}^{N} dt_{1} = 1$$
 (5.6)

где A, N — константы, $\beta_{\max} = \beta_{\max}$ а в качестве I_1 удобио взять максимальное время с момента прохождения тела через данное сечение x = collst.

 ${\cal A}$ ля конуса, проинкающего с постоянной скоростью V_i получится для времени разрушения образца

$$I_1 = \left[A(N+1) \cdot \frac{1-n}{1-Nn-n} \right]^{\frac{1}{1-Nn-n}}$$
 (5.7)

Полученное соотношение верно при выполнении условии $\frac{1}{n} > N+1$, что

выполняется для ряда металлов [21, 22], например, для стали $\frac{1}{n}=10$.

Соотношения для вязко-пластической среды так же, как и формулы § 1 и § 2, можно применять и для групта. Для последнито можно также учесть кулоновское трение и записать [17, 21]

$$= -\frac{\tau_0}{1-k} - \frac{1-k}{1+k} \tau_{11} \quad \tau_0 = 2\tau_0 \tag{5.8}$$

Тогда можно внести изменения во все соотношения § 1. Уравнение движения дает вместо (1.18)

$$\sigma_{rr} = \frac{\tau_s}{k} \left(1 - \frac{r_k^2}{r^2} \right) + \frac{r_k^2}{r^2} \tilde{\sigma}_{rr}, \quad v = \frac{2k}{1+k}$$
 (5.9)

где σ_{rr} есть значение σ_{rr} на теле $(r=r_k)$. Решение для скоростей и перемещений можно снова взять в виде (1.15), в σ_{rr} в упругой области дается (1.10). Условие непрерывности σ_{rr} на товерхности разрушения дает

$$\frac{\varepsilon_s}{k} \left(1 - \frac{1}{\varepsilon_0^2} \right) + \frac{1}{\varepsilon_0^2} \overline{\sigma}_{rr} = -\frac{\mu a}{\varepsilon_0^2} \tag{5.10}$$

 $r = r_{230}$ для упругого решения (1.10), причем с учетом $r_{10} = r_{230}$ для упругого решения (1.10), причем с учетом $r_{10} = r_{230}$ для упругого решения (1.10), причем с учетом $r_{10} = r_{230}$ оно дает снова (1.14). Гаким образом, в задаче пронякания для сыпучей среды r_{10} сяова дается (1.14), но r_{10} из (5.10) обобщает значение (1.19), переходя в него для $r_{10} = r_{10}$. Поскольку напряжение на теле постоянно, можно после соответствующей замены $r_{10} = r_{10}$ пользоваться соотвошениями § 2 и для данной задачи.

Институт механики АП Армянской ССР

<mark>ՔԱՐԱԿ ՄԱՐՄՆԻ Ն</mark>ԵՐԹԱՓԱՆՑՈՒՄԸ ՄԵՏԱՂՆԵՐԻ ԵՎ ԲՆԱՀՈՂԵՐԻ ՄԵՋ

Ամփոփում

Դիտարկվում է թարակ մարժինների ներ**նափանցումը մետազների և դետ**եի մեջ։

քարակ մարմնի առաձգամամամուցիկուդրաստիկ միջավայրերի մեջ ներթափանցման ժամանակ փոթր չփման գործակցի համար միջավայրի շարժման հավասարումներում պահվում են միայն ըստ ռադիալ կոսրդինատի ածանցլալները։ Ենթադրվում է նաև, որ միջավայրի բայքայման ճակատի առջևում միջավայրը առաձղական է, իսկ ճակատի հանում միջավայրի համար տեղի ունի պլաստիկական հոսունություն։ Հաշվի առնելով այդ և օգտվելով համապատասխան հավասարումննրից, քայքայման ճակատի վրա արված և հատվածի աղիաբատի պայմաններից որոշվում են միջավայրի մասնիկների արադումյունները և առաջացած լարումները ներթափանցվող մարմնի շրջակայթում։

Որոշվում <mark>է նաև կոնա</mark>ձև ծայր ունեցող դլանային մարմնի ներթափանցան առավելագույ<mark>ն խորու</mark>թյունը։

կատարված են փորձեր տարբեր մետաղների և կոմպոդիաների մեջ բարակ մարմինների ներβափանցման վերաբերյալ և ցույց է սորվում ահսական ճանապարհով ստացված արգյունքների հետ նրանց լավ համապատասխանությունը։

Տրվում է մածուցիկոպլաստիկ և սորուն միջավայրերի մամար արդյունըհերի ընդնանրացումը։

THE PENETRATION OF A THIN BODY IN METALS AND SOIL

A. G. BAGDOEV, A. A. VANTSIAN

Summary

The problem in penetration of thin bodies into metals and soil is considered. On penetration of thin bodies for a small value of friction coefficient between the medium and body, on determination of the main part of the solution in equations of medium, only the derivatives over the radial coordinate are retained and the front of fracture is also introduced ahead of which the medium is elastic. Assuming that behind the front there is a plastic flow of medium, from the equation of incompressibility, from the conditions on the fracture front, including the shock adiabatic curve and from the equation of medium motion the particles velocities and stresses near the body are determined. The values of maximal depth of penetration for the body consisting of a tapering cylinder (curvelinear) are found. The experiments on penetration into various metals and composites are made.

The good agreement with the results of calculations on determination of the penetration depth and the radius of the fracture surface by the obtained formula is shown. The generalization of results for viscoplastic media and soil is presented.

AHTEPATYPA

- 1. Bachman M. A., Goldsmith W. The mechanics of penetration of projectiles into targets. International Journal of Engineering Science, 1978, vol. 16, Nr 11.
- 2 Ишлинский A Ю Осесимметричная задача пластичности и проба Бринеля. ПММ 1944, т. 8, иып. 3.
- 3. Аллен У. Мейфилд З. и Морисон Г. Динамиха проинкания снаряда в весок. В со. переводов «Механика», 1957, № 6.
- 4. Ильюшин А. А. Пластичность. М.—Л., ОГИЗ, ГИТТА, 1948.
- Wilkins M. L. Mechanics of penetration and perforation International Journal of Engineering Science, 1978, vol. 16, No. 11.
- Григорян С. С. Пекоторые вопросы гаводинамики тонких тел. Кандидатская диссертация, МГУ, 1956.
- 7. Сагононян А. Я. Пропикание. МГУ, 1974.
- 8. Баглося А. Г. Пространственные нестационарные данжения сплошной среды. Еревай, Изд. АН Арм.ССР, 1961.
- 9. Григорян С. С. Некоторые вопросы математической теории деформации горных пород. ПММ, 1967, т. 31, № 4.
- Баглоев А. Г. Проникание тонкого тела вращения в упругую среду. Изв. АН Арм.ССР, Механика, 1977, т. 30, № 5.
- Батлосн Л. Г. Мартироски А. Н., Сархисян Г. А. Решение некоторых нестационарных задач взаимодействия тел с упругими преградами. Изв. АН СССР, МТТ, 1978, № 3.
- Багдоен А. Г., Минисян В. Д. Исследование провикания толкого твердого тела в металлы. Изв. АН Арм.ССР, серия техи, наук. 1979, т. 32, № 3.
- Мастеров В. 4., Берковский В. С. Теория пластической деформации и обработки металлов давлением. М., «Металлургия», 1974.
- Ольшак И., Мруз З., Пежина П. Современное состояние теории пластичности. М., Мир. 1964.
- Ионов В. А., Отиболов И. М. Напряжения в телах при импульеных нагружениях. М., «Высшая школа», 1975.
- Зволинский Н. В., Подъяпольский Г. С., Опитман Л. М. Теоретические аспекты проблемы варыва в груптах. Изп. АН СССР, серия физика земли, 1973, № 1.
- Николасвекъй В. Н. О формулировке определяющих уравнения для плоского движения кулоповской сплошной среды, ПММ, 1968, т. 32, № 5.
- 18. Курант Р., Фридонас, Сверхавуковое течение и ударные волны, М., ИА, 1950.
- 19. Феодосы. В Н. Сопротиваение материалов. М., «Наука», 1970.
- 20. Еноходич А. С. Справочник по физикс. М., «Просвещение», 1978.
- 21. Качанов А. И. Теория полаучести, М.—А., Физматена, 1960.
- Wojno W. and Wierzbickt T. On porturbation solution for impulsively looded viscoplastic structures. Journal of Applied Mathematics and Physics ZAMP. 1979, vol. 30

Filmilife

Механика

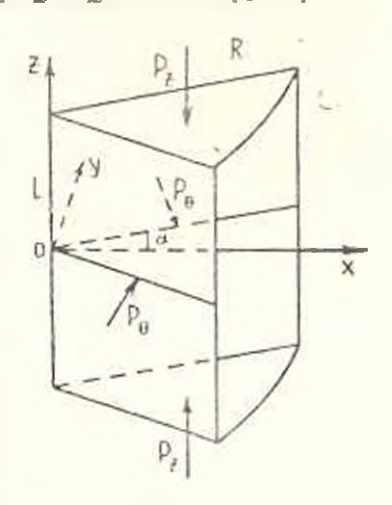
ж. г. апикян, м. а. задоян

ПРОСТРАНСТВЕННОЕ ТЕЧЕНИЕ ПЛАСТИЧЕСКИ АНИЗОТРОПНОГО КЛИНА МЕЖДУ ЖЕСТКИМИ ШЕРОХОВАТЫМИ ПЛИТАМИ

Сжатие прямоугольной массы жестко-пластического материала между жесткими парадлельными шероховатыми плитами рассмотрено в [1]. Плотое и осесимметричное пластические течения через клинообразный и котсообразный каналы рассмотрены в работах [1—3]. В настоящей работе
рассматривается пространственная задача прочности клина из несжимаекого пластически неоднородного анилотропного материала. Принимается,
то материал подчиняется соотношениям жестко-пластического тела Мижеса—Хилла [1].

1. Пусть пространственный клин (фиг. 1) сжимается шероховатыми жесткими наклонными плитами $\theta=\pm\alpha$, вращающимися вокруг продоль-

вой оси 2 с угловой скоростью ... Одвовременно кани вдаванивается в торцевых сечениях $z=\pm l$ жесткими шероховатыми плитами при задапных скоростях перемещений шо. Далее, как обычно, принимается, что касательное напряжение та возникающее между плитами и канном, рапияется продельному значению mk, где k — пластическая постоянивя, а $m(0 \le m \le 1)$ — показатель стецени шероховатости плит. Принимаем. что плиты обладают спойством шероховатости только вдоль радиального направления, а в направлении оси г они идеально гладки. Учитывая эти условия, полуобратным способом принимаем, что



Our. I.

ть = 7,2 = 0 по всему объему клина. На спободной поверхности услоше отсутствия нормального и касательного напряжений заменяется услоправенства нулю главного вектора напряжении.

Исходя из характера напряженно-деформированного состояния, полувбратным способом [4] принимаем, что для рассматриваемой задачи тенвор скоростей деформации не зависит от I и 2.

Ввиду симметрии поставленной задачи рассматривается напряженное состояние клина (0 \leq θ \leq α , 0 \leq z \leq l, 0 \leq r \sim R).

Очевидно, будем иметь следующие граничные условия:

$$\tau_{rb|\theta} = 0$$
 $\tau_{r0|s=\alpha} = -mk$, $v_{\theta=0} = 0$, $v_{|s=s} = -mr$ (1.1)

$$=0, \quad w = -w_0, \quad \int_0^{\pi} (1, \cos \theta - \pi, \sin \theta) d\theta_{r-1} = 0 \quad (1.2)$$

Принимается, что в каждой точке тела анизотропные споиства «подобны», то есть принимается, что параметры анизотропии пропорциональны пластически неоднородной функции. Таким образом, условие пластичности Мизес»—Хилла берется в киде

$$a_{11}(a_8 - a_7)^2 = a_{22}(a_7 - a_{22}(a_7 - a_8)^2 + a_{22}(a_7 - a_8)^2 + a_{22}(a_7 - a_8)^2 + a_{22}(a_8 - a_8)^2 + a_{22}($$

Соотношения между скоростями перемещений, скоростями деформаций и компонентами напряжении имеют вид

$$\begin{aligned}
&z_{r} - \frac{du}{dr} = \beta e^{-2 \cdot \theta} \left[a_{33} \left(z_{r} - z_{\theta} \right) + a_{22} \left(z_{r} - z_{z} \right) \right] \\
&z_{\theta} = \frac{u}{r} + \frac{1}{r} \frac{\partial u}{\partial \theta} = \beta e^{-2 \cdot \theta} \left[a_{11} \left(z_{\theta} - z_{z} \right) + a_{33} \left(z_{\theta} - z_{r} \right) \right] \\
&z_{z} = \frac{\partial u}{\partial z} = 3 - \left[a_{22} \left(z_{z} - z_{r} \right) + a_{11} \left(z_{z} - z_{\theta} \right) \right] \\
&2 \gamma_{r\theta} = \frac{\partial u}{\partial z} - \frac{u}{z} + \frac{1}{z} \frac{\partial u}{\partial \theta} = 2 \beta e^{-2 \cdot \theta} a_{13} \gamma_{r\theta}
\end{aligned} \tag{1.4}$$

Дифференциальные уравнения равновесия имеют вид

$$\frac{\partial s_{b}}{\partial \theta} = \frac{\partial s_{b}}{\partial \theta} = 2\tau_{rb} = 0 \tag{1.5}$$

Учитывая граничные условия и используя соотношения (1.4), находим [4]

$$u = rz$$
, $v = \frac{\pi v_0}{l} r\theta - 2r \int_0^{\theta} z_1 d\theta_1 \ w = -\frac{w_0}{l} z$ (1.6)

$$\varepsilon_{r} = A_{0} + 2 \int_{0}^{\infty} \gamma_{r0} d\theta, \qquad = -\frac{w_{0}}{l}, \quad \varepsilon_{0} = \frac{w_{0}}{l} - \varepsilon$$
 (1.7)

Из соотношений (1.4) также имеем

$$a_{r} - a_{6} = \frac{1}{x} [(a_{11} + a_{22}) \epsilon_{r} - a_{22} \epsilon_{s}] \frac{1}{a_{12}}$$

$$a_{22} - a_{6} = \frac{a_{12}}{x} [a_{22} \epsilon_{r} + (a_{22} + a_{33}) -] \frac{1}{a_{12}}$$
(1.8)

$$\sigma_{r} - \sigma_{s} = \frac{a_{10}}{a_{11}} (a_{11} \varepsilon_{r} - a_{33} \varepsilon_{r}) \frac{c_{r}}{c_{r} \varepsilon_{s}}$$

ric

$$a_{22}a_{11} + a_{31}a_{11} - a_{11}a_{22}$$

И. (1.5) и (1.8) следует

$$\frac{d\varepsilon_{r,0}}{a^{2}} + \frac{a_{12}}{x} [(a_{11} + a_{22})\varepsilon_{x}] + M = 0$$
 (1.9)

$$z_0 = M \ln r + N - 2 \int_0^1 z_A d\theta$$
 (1.10)

тае М, А — произвольные постоянные.

Из (1.3), (1.8)—(1.10) имеем

$$\frac{1}{1_{12}} = \frac{1}{a_{12}} = \frac{1}{a_{11} + a_{22}} = \frac{Q}{k}$$
 (1.11)

F36

$$\frac{2}{k} = \sqrt{\frac{2 a_{12} a_{16}^2 - \frac{1}{a_{11} a_{12} a_{16}} (a_{16} + M)^2}{2 a_{12} a_{16}}}$$

$$T = \sqrt{\frac{2 a_{12} a_{16}}{(a_{11} + a_{22})^2 + 2 a_{22} a_{22} + (a_{22} - a_{33}) \epsilon_{2}}}$$

После некоторых преобразований из (1.7), (1.9)—(1.11) наидем

$$\frac{Q}{d\theta} \left[\frac{1}{\Omega} \left(\frac{dz_{,0}}{d\theta} + M \right) \right] + 2 a_{12} \frac{a_{11} + a_{22}}{\Omega} z_{,0} = 0$$
 (1.12)

Разрешая уравнение (1.12) относительно старшей производной, получки

$$\frac{1}{1} = 2 a_{13} - \frac{M}{1} \left(\tau_{10} + M \right) - \frac{a_{11} + a_{12}}{1} - \frac{a_{21} + a_{22}}{1} = + M$$
 (1.13)

rae

$$f = \frac{200}{200} = \frac{9}{2} a_{12}^{-2}$$

Полагая $\tau_{c0} := k\tau$, $M = kM_{0}$, $N = kN_{0}$, из (1.13) имеем

$$= 2 a_{12} \tau \left[\frac{k^2 M_0}{f} (\tau' + M_0) - \frac{a_{11} + a_{22}}{x} \right] - \epsilon \frac{e^{-M}}{f} (\tau' + M_0)$$
 (1.14)

$$\epsilon_{\rm r} \approx A_0$$
, $\epsilon_{\rm r} \approx -\frac{m}{a}$ f, $A_0 \approx \frac{\alpha}{2a}$. $M_0 \approx \frac{m}{a}$ (2.1)

Сделаем замену независимой переменной 0 в уравнении (1.14) з. – М.В. В результате получим уравнение

$$\frac{d^{2}}{dx^{2}} = 2 a_{12} \tau \left[\frac{k^{*}}{f_{1}} \left(\frac{d\tau}{dx} + 1 \right) - \frac{a_{11} + a_{22}}{\tau M_{0}^{2}} \right] + \frac{k}{M_{0}} \frac{e^{\frac{2\lambda}{M_{0}} \pi}}{f_{1}} \left(\frac{d\tau}{dx} + 1 \right) \quad (2.2)$$

FДC

$$f_1 = e^{\frac{2}{M_0}} - 2 a_{12} k^2 z^2$$

Пренебрегая малыми членами в уравнении (2.2), пайдем

$$\frac{a^{2}}{dx^{2}} = 2 a_{12} k^{2} \frac{1}{f_{2}} \left(\frac{d^{2}}{dx} + 1 \right) \quad f_{1} = 1 - 2 a_{12} k^{2}$$
 (2.3)

Уравнение (2.3) явно не содержит независимой переменной х. Сделав замену т' — $\psi(\tau)$, из уравнения (2.3) получаем

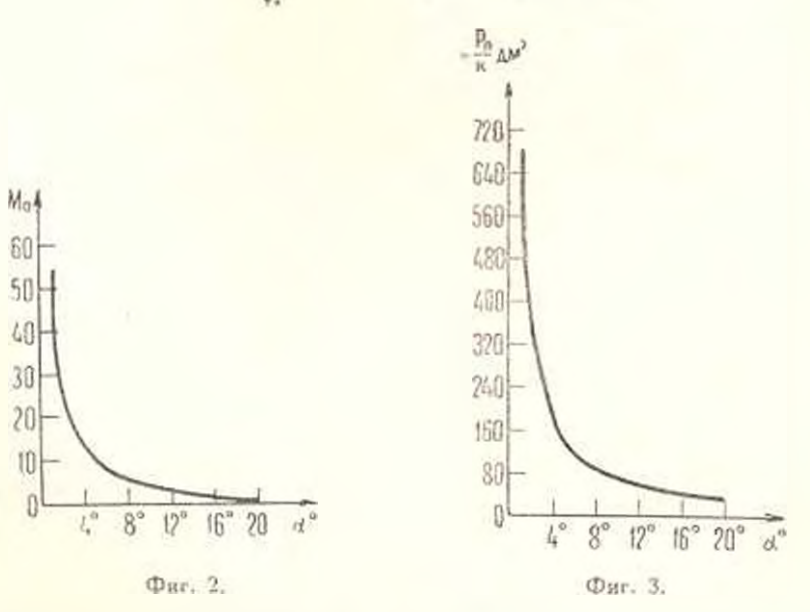
$$\frac{2 a_{12} k^2 d^2}{1 - 2 a_{12} k^2 z^2} = \frac{q d^2}{q + 1} \tag{2.4}$$

интеграл которого будет

$$z = -\frac{1}{\sqrt{2 a_{12} k}} \sqrt{1 - \frac{(\varphi + 1)^2}{(\varphi_0 - 1)^2} e^{-\pi (n-1)}}$$
 (2.5)

здесь ф. — произвольная постоянная. С другой стороны, имеем

$$6 = -\frac{1}{|2a_{12}kM_0|} \frac{(\varphi + 1)^2 e^{2(\varphi_0 - \varphi_1)}}{(\varphi_0 + 1)^2 | -\frac{(\varphi + 1)^2}{(\varphi_0 + 1)^2}}$$
(2.6)



Соотношения (2.5), (2.6) дают связь $\tau = \tau(0)$ в нараметрической форме. Произвольные постоянные ϕ_0 , M_0 определяются из условий

$$z(z) = -m_s \frac{dz(0)}{d\theta} = M_0 \tau_0$$
 (2.7)

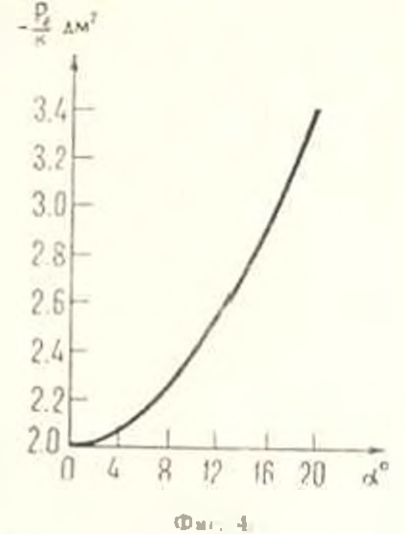
3. Проведено численное исследованиемани при следующих значениях пара истров:

$$a_{11} = a_{22} = \frac{1}{8\lambda^2} \cdot a_{22} = \frac{1}{10 \, k^2} \cdot$$

$$a_{11} \cdot \frac{1}{4 k^2} \cdot \lambda = 0, \ l = 30 \ cm.$$

K - 20 cm, $w_0 = 0.3$ cm cek,

Принедены графики зависимостей, $M_{\rm P}$, $P_{\rm A}/k_{\rm s}$ $P_{\rm A}/k$ от $a_{\rm s}$ где



$$P_{i} = 2l \int_{-\infty}^{R} (r, z) dr, \quad P_{z} = 2 \int_{-\infty}^{R} z_{z}(r, z) r dr dz$$

суммарные давления соответственно на гранях $\theta=\pm\,\alpha$ и $z=\pm\,l$ (фиг. 2—4),

Вычислены также соответствующие значения P_0/k , P_1/k для вотрошного материала. Сравнение величин для изотрошного и анизотропного случаев показывает, что анизотропия несуществения при малых углах раствора клина и аффект от анизотропии возрастает с увеличением угла α . Так, при $\alpha=1^\circ$ величины M_1 , P_1/k , P_1/k в анизотропном случае отличаются от соответствующих величин в изотропном случае на 0.2%, 0.6%. 0.7% соответственно, а при $\alpha=20$ — уже на 12.4%, 9%.

Институт механики АН Арминской ССР

Поступила 25 1Х 1980

Ժ. Գ. ԱԳԻԱՅԱՆ, Ծ Ա. <u>Ջ</u>ԱԳՈՑՈՆ

ՊԼԱՍՏԻԿՈՐԵՆ ԱՆԻԶՈՏՐՈՊ ՍԵՊԻ ՏԱՐԱԾԱԿԱՆ ՀՈՍՔԸ ԿՈՇՏ ԱՆՀԱՐԹ ՍԱՆԵՐԻ ՄԻԶԵՎ

ll d din din c d

ոմսահածմա մեզորկոսայի վերերումա և եւռիրկատիր <mark>երոցմատակեր Ա</mark> ւղղկրմա<u>ի մակա</u>ճաղատ մալԱւողևա կայա ընկերը խողորմա

Ալնելով լարվածային-դեֆորմացիոն վիճակի բնույնից կիսահակադարձ հղանակով բնդունված է, որ դեֆորմացիաննրի արագության տենպորը կախժած է միայն բևնոային անկյունից, և լարման մի բաղադրիչի համար ստացժած է երկրորդ կարգի սովորական ոլ-գծային դիֆերենցիալ հավասարում։ Սնպի բացվածքի փոքր անկյան դեպքում խնդրի լուծումը բերվում է կվադրատարայի։ Բերված է նվային օրինակ։

SPACE FLOW OF A PLASTICALLY ANISOTROPIC WEDGE BETWEEN RIGID ROUGH PLATES

J. G. APIKIAN, M. A. ZADOIAN

Summary

The space problem in strength of a wedge of incompressible plastic non-homogeneous anisotropic material is considered. Proceeding from the pattern of the stress-strain state, using a half-inverse method, it is assumed that the deformation velocity tensor depends on the polar angle only, and the ordinary non-linear differential equation of second order is obtained for the stress component. For a small angle of the wedge opening the solution of the problem is reduced to quadratures A numerical example is presented.

ANTEPATYPA

- 1. Хилл Р. Математическая теория пластичности, М., Гостехтеориздат, 1956.
- 2. Соколовский В. В. Теория пластичности, М., «Высшая школа», 1969.
- Шилл Р Т. Пластическое течение и сходящемся коническом канале. Сб. нереводов «Механика», 1956, № 3.
- Задоян М. А. Частное решение уравнений теории идсальной пластичности в цилиидрических координатах. ДАН СССР, 1964. т. 157, № 1.

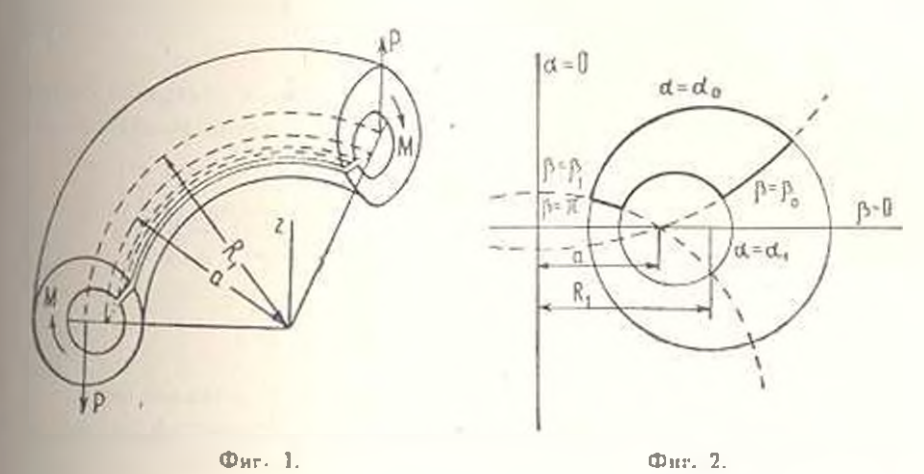
Bloody

HRRAKOTI .M .D

КРУЧЕНИЕ КРИВОГО ПОЛОГО СТЕРЖНЯ С КРИВОЛИНЕЙНЫМИ ЩЕЛЯМИ ПРИ НЕЛИНЕЙНОЙ ПОЛЗУЧЕСТИ

Регсинтривается задача о кручении кривого полого стержия с криволинейными щелями, материал которого обладает свойством нелинейной ческедственной ползучести [1].

Пусть кривой полый стержень со щелью постоянного поперечного сечина находится под воздействием перерезывающих сил I и крутящих монентов I R, R, раднус оси стержия), приложенных на торпевых сечениях (фиг. 1).



Решение такой задачи для упрочинющегося материала приведено в работах [2, 3].

§ 1. Основные уравнения задачи. Принимаем, что для материала стержия справедливы соотношения нелинейно-наследственной теории ползучести Н. X Арутюняна [1]

$$2 G e_{ij} = s_{ij} - \int s_{ij} f(\tau_0) K(t, \tau) d\tau$$
 (1.1)

где G=E 3, E предполагается постоянным, $\mathfrak{I}=\mathfrak{I}_0$ 3, \mathfrak{I}_0 , символ Кронекера, $\mathfrak{I}=$ среднее давление, $f(\mathfrak{I}_0)$ — некоторая функция, ханаризующая нелинейную записимость между напряженнями и денациями ползучести для данного материала, интенсивность

касательных напряжений. $K(t, \cdot) = 3G^{-C(t, \cdot)} \cdot C(t, \cdot)$ — мера ползучести при одноосном напряженном состоянии.

Воспользуемся тороидальными координатами 2, 8, 7

 $x = \rho \cos \gamma$, $y = \rho \sin \gamma$, $z = H \sin \rho$, rate $\rho = a (\sin a (\sin a - \cos \beta)^{-1})$ $H = a (\sin a - \cos^2)^{-1}$, saech $0 \le a \le \infty$, $-\pi \le \beta \le \pi$, $0 \le \alpha \le 2\pi$ (our. 2).

Для компонентов деформации будем иметь [4]

$$\varepsilon_{\alpha\beta} = \frac{\partial}{\partial \beta} \left(\frac{u_{\alpha}}{H} \right) + \frac{\partial}{\partial \alpha} \left(\frac{u_{\beta}}{H} \right), \quad 2 \varepsilon_{\alpha\gamma} = \frac{H}{\rho} \frac{\partial}{\partial \gamma} \left(\frac{u_{\alpha}}{H} \right) + \frac{\rho}{\rho} \frac{\partial}{\partial \alpha} \left(\frac{u_{\alpha}}{H} \right) \\
= \frac{\partial}{\partial \alpha} \left(\frac{u}{H} \right) + \frac{1}{H^2} \left(\frac{\partial H}{\partial \alpha} u_{\alpha} + \frac{\partial H}{\partial \beta} u_{\beta} \right) \Big|_{(\alpha, \beta)} \\
= \frac{1}{\rho} \frac{\partial u_{\alpha}}{\partial \gamma} + \frac{1}{H} \left(\frac{\partial \rho}{\partial \alpha} u_{\alpha} + \frac{\partial \rho}{\partial \beta} u_{\beta} \right) \Big|_{(\alpha, \beta)} \tag{1.2}$$

Положим, что все компоненты напряжения, кроме и в любо момент времени / равны нулю. Тогда из уравнении равновесия остается [4]

$$\frac{\partial}{\partial z} (H_{\mathbb{P}}^{z} z_{z_{1}}) + \frac{\partial}{\partial \hat{z}} (H_{\mathbb{P}}^{z} z_{y_{1}}) = 0 \qquad (1.3)$$

а из остальных уравнений следует, что напряженное состояние стержилие зависит от у, следовательно, тензор деформации также не зависит от у. Из (1.2) перемещения представим в виде

$$u_{a} = u_{a0} + \int F_{a} d\gamma |_{(a,\beta)}, \quad F_{a} = 2 \rho s_{a\gamma} - \frac{1}{H} \frac{\partial}{\partial s} \left(\frac{u_{\gamma}}{\rho} \right) |_{(a,\beta)}$$

$$u_{\gamma} = u_{\gamma \bar{\nu}} + \int \left(\rho s_{\gamma \gamma} - \frac{1}{H} \frac{\partial}{\partial a} u_{\alpha} - \frac{1}{H} \frac{\partial}{\partial \beta} u_{\beta} \right) d\gamma$$

$$(1.4)$$

гле u_{-0} , u_{-0} , u_{-0} произвольные функции z, β и t.

Подставляя (1.4) в (1.2) и учитывая указанное обстоятельство, получим

$$= \frac{1}{H} \frac{\partial u_{a0}}{\partial x} + \frac{1}{H^2} \frac{\partial H}{\partial x} u \qquad 2 \varepsilon_{a5} = \frac{\partial}{\partial x} \left(\frac{u_{30}}{H} \right) + \frac{\partial}{\partial x} \left(\frac{u_{a0}}{H} \right)$$
 (1.5)

а относительно F_a , F_b приходим к системе трех дифференциальных уравиений, решение которой будет

$$F_{1} = (D_{0} + D_{1}z)\frac{1}{H}\frac{\partial y}{\partial x} + (D - D_{1}y)\frac{1}{H}\frac{\partial z}{\partial y}\Big|_{(a, b)}$$
(1.6)

где D_a,D_b,D — произвольные функции от t.

Исключая на (1.4) и и используя (1.6), получим уравнение совместности деформаций

$$\frac{\partial}{\partial \alpha} \left(\frac{H}{\rho} z_{\mu_1} \right) - \frac{\partial}{\partial \beta} \left(\frac{H}{\rho} z_{\mu_1} \right) = D \frac{H^0}{\rho^2}$$
(1.7)

Полагая в (1.5) равными нулю все компоненты деформации, кроме получим систему относительно и₋₀, и решение которой будет

$$u_{a0} = -\frac{N_1}{H} \frac{\sigma_0}{\sigma_a} - \frac{N_1 \sigma_a}{H \sigma_a} \left(\frac{\sigma_a}{\sigma_a} \right)$$
 (1.8)

820

$$N_{1} = \frac{A}{4} (\rho^{2} - z) - \frac{B_{1}}{2} \rho z + \frac{C_{1}}{2} \rho - E_{1} z$$

$$N_{2} = \frac{A}{2} \rho z - \frac{B_{1}}{2} (z - z) + \frac{C_{2}}{2} z + \frac{C_{3}}{2} z - \frac{C_{4}}{2} z + \frac{C_{5}}{2} z - \frac{C_{5$$

A.B.C.E — произвольные функции от l.

После подстановки (1.6) и (1.8) в (1.4) получим выражения для перемещений u_1, u_2, u_3 .

Вводя функцию напряжений

$$\tau_{\alpha\gamma} = -\frac{1}{H_{\nu^2}} \frac{\partial}{\partial \theta} \qquad \tau_{\beta\gamma} = \frac{1}{H_{\nu^2}} \frac{\partial}{\partial \alpha} \tag{1.9}$$

от (1.1) и (1.7) приходим к основному уравнению задачи

$$\frac{\partial}{\partial \alpha} \left(\frac{1}{\rho^3} \frac{\partial \Phi}{\partial \alpha} \right) + \frac{\partial}{\partial \beta} \left(\frac{1}{\rho^3} \frac{\partial \Phi}{\partial \beta} \right) - \\
- \int_{z_i}^{t} \left\{ \frac{\partial}{\partial \alpha} \left[\frac{f(\sigma_0)}{\rho^3} \frac{\partial \Phi}{\partial \alpha} \right] + \frac{\partial}{\partial \beta} \left[\frac{f(\sigma_0)}{\rho^3} \frac{\partial \Phi}{\partial \beta} \right] \right\} K(t, z) dz = DG \frac{H^2}{\rho^3}$$
(1.10)

FAC

$$z_0 = \frac{1}{H_{\rm F}^2} \sqrt{\left(\frac{\partial \Phi}{\partial \alpha}\right)^2 + \left(\frac{\partial \Phi}{\partial \beta}\right)^2} \tag{1.11}$$

Таким образом, задача приводится к определению функции Φ из неаввейного интегро-дифференциального уравнения (1.10) при условии $\Phi(\alpha, \beta, t) = \text{const}$ на контуре.

Рассмотрим случай, когда поперечное сечение представляет криволинейный прямоугольник (фиг. 2). Тогда граничные условия примут следующий вид:

$$\Phi(\alpha_0, \beta, t) = \Phi(\alpha_1, \beta, t) = \Phi(\alpha_1, \beta_0, t) = \Phi(\alpha_1, \beta_1, t) = 0$$
 (1.12)

Кругящий момент выражается формулой

$$M = \left[\left[\left(s - R_1 \right) z_{z_1} - z_{z_0} \right] d^{\Omega} \right]$$
 (1.13)

FAC

$$d^{0} = Ii^{2} + d^{3} = d_{1}d_{2}$$
.

Переходя от са. 2. к и подставляя в (1.13), после примешения формулы Грина-Остроградского получим:

$$M=2R_1\int\int\frac{\Phi}{r^2}d\Omega$$

§ 2. Решение интегро-дифференциального уравнения (1.10). Положим,

$$f(z_0) = 1 + iz_0 \tag{2.1}$$

гле A — физический параметр, характеризующий нелинейный закон ползучести. Решение уравнения (1.10) ищем в виде ряда

$$\Phi\left(\mathbf{z},\ \boldsymbol{\beta},\ t\right) = \sum_{n=0}^{\infty} t^n \, \Phi_n\left(\boldsymbol{\alpha},\ \boldsymbol{\beta},\ t\right) \tag{2.2}$$

где Ф, соответствует случаю динейно-упругого материала.

Подставляя (2.2) в (1.10) и (1.11), приходим к системе рекуррентных дифференциальных уравнений

$$\frac{\partial^2 \Psi_n}{\partial x^2} + \frac{\partial^2 \Psi_n}{\partial y^2} - \frac{3}{\varrho} \frac{\partial y}{\partial x} \frac{\partial \Psi_n}{\partial x} - \frac{3}{\varrho} \frac{\partial \varrho}{\partial y} \frac{\partial \Psi_n}{\partial y} = IF_{\pi_n}$$

$$(2.3)$$

где

$$z_0(t) = GD(t) + G \int_0^t D(t) R(t, \tau) d\tau \qquad (2.4)$$

а $\phi_n(\alpha, \beta, t)$ при n > 1 определяются соотношениями

$$\varphi_{n}(\alpha, \beta, t) = \sum_{k=0}^{n-1} \int_{0}^{\beta} N(t, \tau) \left(\omega_{k} \varphi_{n-1-k} + \operatorname{grad} \Phi_{k} \operatorname{grad} \omega_{n-1-k} \right) d\tau$$
 (2.5)

Здесь

$$N(t, \tau) = K(t, \tau) + \int_{-\tau}^{t} R(t, \tau) K(\xi, \tau) d\xi$$
 (2.6)

$$\omega_n = g^{-4} \sum_{k=0}^{n} \operatorname{grad} \Phi_k \operatorname{grad} \Phi_{n-k}$$
 (2.7)

 $R(t,\tau)$ — резольнента ядра $K(t,\tau)$. Если

$$C(t, \tau) = \varphi(\tau) \left[1 - e^{-t_0 (t-\tau)}\right]$$

70

$$R(t, \tau) = \gamma_0 - \gamma'(\tau) + [\gamma''(\tau) + {\gamma'}^2(\tau) - \gamma_0 \gamma_1(\tau)] e^{\gamma_1(\tau)} \int_0^t e^{-\gamma_1(x)} dx$$

$$\gamma(t) = \gamma_0 \int_0^t [1 + 3 G\varphi(z)] dz$$

вричем, согласно [1], $\tau(z) = C_0 + A_1 z^{-1}$, где C_0 , $A_1 = 0$ некоторые востоянные, характеризующие свойство ползучести материала.

Вводя новую функцию $\Psi_n(x, 3, t)$ при помощи соотношения $\bar{p}_n(t) = (ch x - \cos 3)^{-3/2} \sinh^2 x \Psi_n(x, 3, t)$, из (2.3) получим уравнетие с разделяющимися переменными

$$\frac{1}{\sigma s^{2}} = \frac{1}{(1+c)^{2}} - \frac{1}{\cosh^{2} \alpha} + \left(\frac{1}{4} - \frac{4}{\sinh^{2} \alpha}\right) \Psi_{n} = \frac{H^{2} (\cosh \alpha - \cos \beta)^{3/2}}{\sinh^{2} \alpha}$$
(2.8)

а на (1.12) получим

$$\Psi_n(a_0, \beta, t) = \Psi_n(a_1, \beta, t) = \Psi_n(a, \beta_0, t) = \Psi_n(a, \beta_1, t) = 0$$
 (2.9)

Решая уравнение (2.8) при граничных условиях (2.9) и переходя к $\Phi_{n}(\alpha, \beta, \tau) = \Phi_{n}$, получим

$$\Phi_{n} = \frac{\ln (n - \xi_{n})^{-1}}{(\ln n - \cos x_{n})^{3/2}} \int_{0}^{\infty} \varphi_{n}(\xi, x_{n}) (\ln x_{n} - \cos x_{n})^{3/2} \int_{0}^{\infty} (x_{n} + \xi_{n} + y_{n}) d\Omega$$
 (2.10)

Здесь $(\alpha, \beta; \frac{1}{2}, \frac{1}{2})$ — функция Грина для данной задачи, причем $\Gamma(z, \frac{1}{2}; \frac{1}{2}, \frac{1}{2}) := B(\alpha, \beta; \frac{1}{2}, \frac{1}{2})$ при $c \leqslant \alpha$, где

$$B(\alpha, \beta; 1, \gamma) = 2 \sum_{1}^{\infty} \frac{Z_{n_{n}-1/2}^{2}(\xi, \gamma_{0}) Z_{n_{n}-1/2}(\alpha_{0}, \alpha_{1})}{(\mu_{n}^{2} - 9/4)(\mu_{n}^{2} - 1/4)Z_{n_{n}-1/2}^{2}(\alpha_{0}, \alpha_{1})} \times \times \sin \mu_{n} (2 - \beta_{0}) \sin \mu_{n} (\alpha - \beta_{0})$$
(2.11)

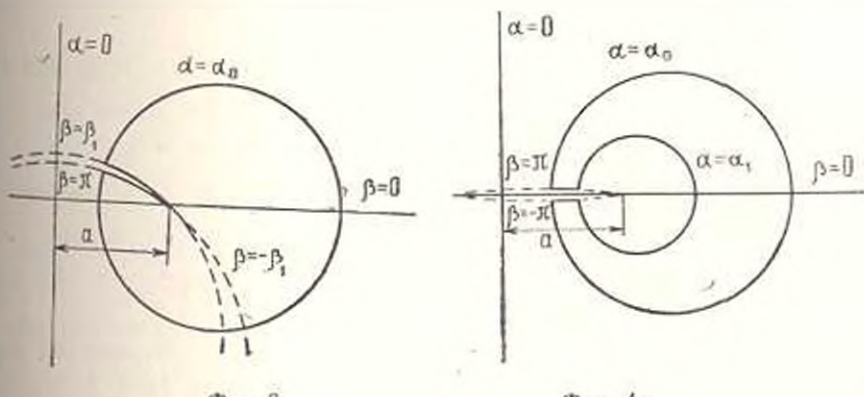
и
$$\Gamma(\alpha, \beta, \beta, \eta) = B(\epsilon, \alpha, \beta)$$
 при $\alpha \beta \beta = \frac{\eta}{\rho_1 - \tilde{\rho}_0}$

$$Z_n(\alpha, \beta) = P_n^m(\cosh \alpha) Q_n^m(\cosh \beta) - P_n^m(\cosh \beta) Q_n^m(\cosh \alpha)$$

где $P_n^m(x)$ и $Q_n^m(x)$ — присоединенные сферические функции соответ-

Рассмотрим ряд частных случаев этого решения.

1. Переходя в (2.10) и (2.11) к пределу при $\alpha_1 - \infty$, $r_1 \neq 0$, получим решение задачи для соответствующей области (фиг. 3). Тогда



Фиг. 3.

Фиг. 4.

$$\Phi_{n} = \frac{\sinh^{2} \alpha}{2\beta_{n} (\cosh \alpha - \cos \beta)^{3/2}} \left(\int \varphi_{n} (1, \eta, t) (\cosh x - \cos \eta)^{3/2} \Gamma_{0} (\alpha, \beta; \xi, \eta) d\Omega \right)$$

где

$$\Gamma_0$$
 (a, 3; τ_0) B_0 (z, β ; ξ , τ_0) при $\xi \ll \alpha$, причем
$$2 \sum_{n=1}^{\infty} \frac{Z_{n_n-1/2}^2(\alpha_0, \xi) \, Q_{n_n-1/2}^2 \, (\cosh \alpha)}{(\mu_n^2 - \tau_0) \, (\mu_n^2 - \tau_0) \, (\cosh \alpha_0)}$$

$$\sin \mu_n \, (\beta - \beta_1) \, \sin \mu_n \, (\eta + \beta_1)$$

и
$$\Gamma_0(a, \beta; -\tau) = H_0(t, -\tau, \beta)$$
 при 2 — здесь $n_n = \frac{n_1}{2\beta_1}$.

2. Переходя в (2.10) и (2.11) к пределу при $\beta_0 \to - \pi$, $\beta_1 \to \pi$, по лучим решение задачи для соответствующей области (фиг. 1). Тогда

$$\Phi_{n} = \frac{1}{2 - (\cosh \alpha - \cos \beta)^{1/2}} \int_{-\pi}^{\pi} \left[-\pi - (\cosh \beta)^{1/2} \right] \left[-\pi - (\alpha, \beta; \pi, \eta) + \frac{\pi}{2 - (\cosh \alpha - \cos \beta)^{1/2}} \right] \left[-\pi - (\alpha, \beta; \pi, \eta) + \frac{\pi}{2 - (\cosh \alpha - \cos \beta)^{1/2}} \right] \left[-\pi - (\alpha, \beta; \pi, \eta) + \frac{\pi}{2 - (\cosh \alpha - \cos \beta)^{1/2}} \right]$$

$$(2.12)$$

где

 $\Gamma^{*}(a, \beta; \xi, \gamma) = \Pi^{*}(a, \beta; \xi, \gamma), \quad \Gamma^{*}_{1}(a, \beta; \xi, \gamma) = \Pi^{*}(a, \beta; \xi, \gamma)$ при $\xi \leqslant \alpha$, причем

$$B^*(a, \beta; = 1) = 3 \sum_{(n^2-9)} \frac{z_0 Z_{n-1/2}(z_1, \alpha)}{(n^2-9)(n^2-1) Z_{n-1/2}(z_0, \alpha_1)} \times \sin \frac{\pi}{2} (\beta - \pi) \sin \frac{\pi}{2} (\gamma - \pi)$$

$$B_1^*(a, \beta; \xi, \gamma) = \frac{\prod_1 = \alpha_0 \prod_1 (z_1, \alpha_1)}{\prod_1 (z_0, \alpha_1)} \cos \frac{\beta}{2} \cos \frac{\gamma}{2} + \frac{\prod_2 (\xi_1, \alpha_0) \prod_2 (\alpha_1, \alpha_1)}{\prod_3 (z_0, \alpha_1)} \cos \frac{3}{2} \cos \frac{3}{2}$$

и $\Gamma^*(\alpha, \beta; \mathbb{R}_{n-1}; \alpha, \beta)$, $\Gamma_1^*(\alpha, \beta; \alpha, \beta) = \mathbb{B}_1^*(\beta, \gamma; \alpha, \beta)$ при $\alpha \leqslant \beta$ Здесь

$$\Pi_{3}(\alpha, \beta) = \frac{---\left(\frac{\cosh^{3}\beta}{3} - \cosh^{3}\right) - \frac{1}{\sinh^{--}}\left(\frac{1}{3} - \cosh^{2}\right)}{3}$$

3. Переходя и (2.12) и (2.13) к пределу при с, -∞, получим решение задачи для сплощного круга с криволинейной щелью (фиг. 5). Гогда

$$\Phi = \frac{\sinh^2 \alpha}{2\pi (\cosh \alpha - \cos \beta)} = \int_{\Omega}^{\infty} \left(\xi, \eta, t\right) \left(\cosh \xi - \cos \eta\right)^{3/2} \left[\Gamma_0^* \left(\alpha, \beta; \xi, \eta\right) + \frac{1}{\sinh^2 \alpha} \Gamma_{10} \left(\alpha, \beta; \xi, \eta\right)\right] dt$$

140

 $\Gamma_0^{\bullet}(z, \beta; 1, \gamma) = B_0^{\bullet}(a, \beta; \epsilon, \gamma)$. $\Gamma_{10}^{\bullet}(a, \beta; \epsilon, \gamma) = B_{10}^{\bullet}(a, \beta; \epsilon, \gamma)$ при $\xi \leqslant \alpha$ причем

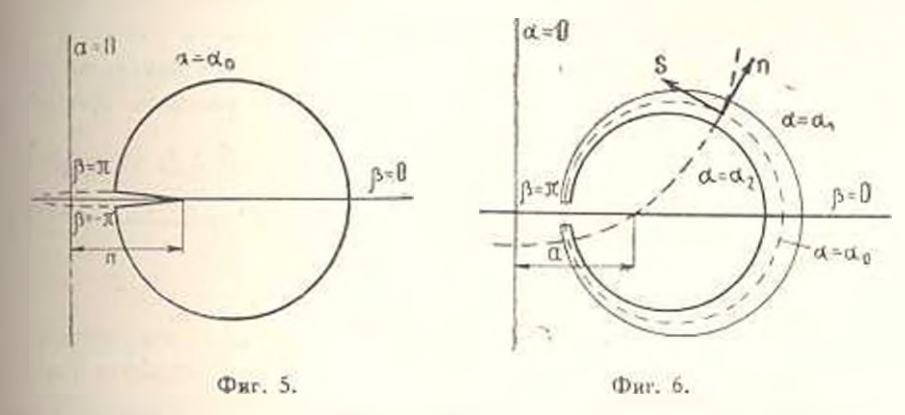
$$B_{0}(a, \beta; \xi, \tau) = 32 \sum_{n=2, 4, 5, 6, 7, \dots} \frac{Z_{(n-1)/2}^{2}(\alpha_{0}, \xi) Q_{(n-1)/2}(\cosh \alpha)}{(n^{2} - 9)(n^{2} - 1) Q_{(n-1)/2}^{2}(\cosh \alpha)}$$

$$< \sin \frac{\pi}{2} (\beta + \pi) \sin \frac{\pi}{2} (\gamma_{1} + \pi)$$

$$B_{10}^{*}(a, \beta; \xi, \gamma_{1}) = \frac{\prod_{1} (\xi, \alpha_{0}) \cosh \alpha \sinh^{2} \alpha_{0}}{\sinh^{2} \alpha \cosh \alpha_{0}} \cos \frac{\beta}{2} \cos \frac{\gamma_{1}}{2} + \frac{\prod_{3} (\xi, \alpha_{0}) \sinh^{2} \alpha_{0}}{\sinh^{2} \alpha} \cos \frac{\beta}{2} \cos \frac{\beta}{2} + \frac{\prod_{3} (\xi, \alpha_{0}) \sinh^{2} \alpha_{0}}{\sinh^{2} \alpha} \cos \frac{\beta}{2} + \cos \frac{\beta}{2} + \frac{\prod_{4} (\xi, \alpha_{0}) \sinh^{2} \alpha_{0}}{\sinh^{2} \alpha} \cos \frac{\beta}{2} + \cos \frac{\beta}{2} + \frac{\prod_{4} (\xi, \alpha_{0}) \sinh^{2} \alpha_{0}}{\sinh^{2} \alpha} \cos \frac{\beta}{2} + \cos \frac{\beta}{2} + \frac{\prod_{4} (\xi, \alpha_{0}) \sinh^{2} \alpha_{0}}{\sinh^{2} \alpha} \cos \frac{\beta}{2} + \cos \frac{\beta}{2} + \frac{1}{2} \cos$$

 $\Gamma_0\left(\alpha,\beta;\,\xi,\,\eta\right) = B_0^*\left(\xi,\,\eta;\,\alpha,\,\beta\right), \; \Gamma_{10}\left(\alpha,\,\beta;\,\xi,\,\eta\right) = B_{10}\left(\xi,\,\alpha,\,\beta\right) \; \mathrm{при} \; \alpha \leqslant \xi\,.$

§ 3. Исследование сходимости ряда (2.2). Для доказательства существования решения надо показать, что ряд (2.2), где коэффициенты определяются из рекуррентных формул (2.10), сходится абсолютно и равномер-



но. С втой целью оценим Φ_n (α , β , t). Возьмем фиксированный промежуток $\tau_n \leqslant t \leqslant T$ и положим

$$\max |K(t, z)| = K_{T_1} \max |R(t, z)| = K_{T_2} z_1 = t - T$$
 (3.1)

Тогда на (2.6) и (3.1) следует, что

$$|N(t, \tau)| \leqslant K_T (1 + R_T T) = N_T$$
 (3.2)

Вводя норму

$$[X] = \max |X| + \sup \frac{|X(A) - X(B)|}{|AB|}$$

где A, B — произвольные точки внутри поперечного сечения стержня, $0 < \delta < 1$, при помощи априорных оценок Шаудера [5], которые в данном случае пишутся в виде

$$|D^{\mu} \Phi_{\alpha}| \ll \epsilon_{\alpha} |\varphi_{\alpha}|$$
 (3.3)

где с_{*} — некоторая постоянная, зависящая от формы области, и пользуясь (2.4), (2.5), (2.7), (3.2) и (3.3), получим рекуррентную систему перавенств

$$\|b_{n+1}\| \le 2 \sum_{k=0}^n \|\phi_k\| \, q_{n-k}$$

где

$$v = 2 N_T T uc^* (1 + 6 \mu c)$$

$$p = \max_{\{x, \beta\} \in \mathcal{L}} \left[|H^{-2}|, \frac{\partial}{\partial x} (H^{-2} p^{-4}) \right],$$

$$q_{ij} = \sum_{k=0}^{n} \left[\frac{\partial}{\partial x} (H^{-2} p^{-4}) \right],$$

Рассмотрим ряд с общим членом $t = n^{-2} t$. Методом индукции можно показать, что $\| \rho_n \| \le \| \rho_0 \| n \| t$. Следовательно, ряд $\sum_{n=0}^{\infty}$

а поэтому и ряд (2.2) сходятся абсолютно и равномерно с радиусом сходимости $\ell=\ell_*=\{364$

§ 4. Тонкостенный стержень открытого профиля. Пусть поперечное сечение тонкостенного стержия предстанляет криволинейный открытый профиль, симметрично расположенный относительно средней линии $\alpha = \alpha_0$ (фиг. 6). Для тонкостенных призматических стержней ата задача исследована в [6]. В этом случае в уравнении (1.10) можно пренебречь производной по β и заменить его уравнением вида

$$\frac{\partial}{\partial x} \left(\frac{1}{s^3} \frac{\partial \phi}{\partial x} \right) - \int \frac{\partial}{\partial x} \left[\frac{f(z_0)}{s^3} \frac{\partial \phi}{\partial z} \right] K(z_0, z) dz = DG \frac{H^4}{s^3}$$
(4.1)

где

$$z_0 = z_0 = \frac{1}{Hv^2} \frac{\partial \Phi}{\partial z}$$

Интегрируя (4.1) и принимая во внимание, что $\sigma_{\rm c}=0$ при $\alpha=\alpha_{\rm o}$, получим

$$\sigma_0(t) = \int_0^t f(\sigma_0) \,\sigma_0 \,K(t, \tau) \,d\tau = DGg \tag{4.2}$$

где

$$g = g(\alpha, \beta)$$
 (ch $\alpha_0 = \cos \beta$) $(\alpha + \alpha_0) (\alpha + \alpha_0)^{-1}$

Если к этому урашиению применить вышензложенный метод и удовлетвориться только первыми двумя приближениями, го для о. (1) получим

$$\pi_0(t) = Gg\left\{H_0(t) + \lambda Gg\left[H_1(t) + \int H_1(\tau) R(t, \tau) d\tau\right]\right\} + 0 \ (i^2)$$
 (4.3)

125

$$H_0(t) = D(t) + \int D(\tau) R(t, \tau) d\tau, \ H_1(t) = \int H_0^2(\tau) K(t, \tau) d\tau \qquad (4.4)$$

эд сь принято $f(\sigma_0) = 1 - \iota \sigma_0$.

Пользуясь (1.13) и (4.3), получим

$$H_0(t) + \lambda k_1 \int_0^t [H_0^2(\tau) + \int_0^t H_0^2(x) R(\tau, x) dx] K(t, \tau) d\tau = k, \qquad (4.5)$$

rae

$$k_1 = GJ_2J_1, \quad k_2 = M(GJ_1)^{-1}$$

$$J_1 = -\int \int \left(\frac{-\coth x}{H} \frac{\partial z}{\partial \beta} - \frac{z}{H} \frac{\partial p}{\partial \beta}\right) \sigma(z, \beta) d\Omega$$

$$J_2 = -\int \int \int \left(\frac{p - a \coth \alpha_0}{H} \frac{\partial z}{\partial \beta} + \frac{z}{H} \frac{\partial p}{\partial \beta}\right) [g(\alpha, \beta)]^2 d\Omega$$

Если к уравнению (4.5) применить вышеизложенный метод и удовлеториться только первыми двумя приближениями, то для неизвестной туккции H_4 (1) получим

$$H_0(t) = k_2 \left[1 + \lambda k_1 k_2 \left[3 GC(t, \tau_1) - \int_{-1}^{t} R(t, x) K(t, \tau) dx d\tau \right] \right] + 0 (\lambda^2)$$

Решая (4.4) относительно D(t), будем иметь

$$D(t) = H_0(t) + \int_0^t H_0(t) K(t, z) dz$$

Рассмотрим задачу релаксации напряжении. В начальный момент стержню сообщим крутку D (τ_1), оставляя ее во времени неизменной. Гогда интегральное уравнение (4.2) примет вид

$$\sigma_0(t) - \int f(a_0) \pi_0 K(t, \pi) d\pi = D(\pi_1) Gg$$
 (4.6)

Если к уравнению (4.6) применить вышеизложенный метод и удовлешториться только первыми двумя приближениями, пользуясь (1.13), получни

$$M(t)/M(s) = H_0^*(t) + M_1[H_1^*(t) + \int_0^t H_1^*(s) R(t, s) ds] + O(\lambda^2)$$
 (4.7)

$$H_0(t) = 1 - 3 G \gamma_0 \left(C_0 + A_1 z_1^{-1} \right) e^{-1} \gamma_1^{\mu} r^{\mu-1} \left[\Phi_* \left(rt, \ p \right) - \Phi_* \left(rz_1, \ p \right) \right]$$

$$p = 3 G \gamma_0 A_1, \ r = \gamma_0 \left(1 + 3 G C_0 \right), \ H_1(t) = \int_0^t [H_0(z)]^2 K(t, z) dz$$

$$k_3 = D(z_1) G f_2 f_1^{-1}$$
, $\Phi_*(z_1, p) = e^{-z_1} d -$ пенолная гамма-функция.

Аналогичным образом, ограничиваясь в общем решении интегрального уравнения (4.6) первыми тремя приближениями, для определения релаксации крутящего момента получим следующую формулу:

$$M(t)M(\tau_{1}) = H_{0}^{*}(t) + k_{2}[H_{1}(t) - \int_{t}^{t} H_{1}(\tau) R(t, \tau) d\tau] +$$

$$(4.8)$$

$$t^{2} k_{4}[H_{2}(t) + \int_{t}^{t} H_{2}^{*}(\tau) R(t, \tau) d\tau] + 0 (t^{3})$$

rge

$$H_{2}^{*}(t) = \int [H_{0}(z) H_{1}^{*}(z) + \int H_{1}^{*}(x) R(t, x) dx] K(t, z) dz$$

$$k_{4} = 2\{GD(z_{1})\}^{2} J_{3}J_{1}^{-1}, \qquad \int \int \left(\frac{a \sinh z}{dz} - \frac{z}{H} \frac{\partial a}{\partial z}\right) [g(z, \beta)]^{3} d\Omega$$

Рассмотрим частный случай. Для старого материала можно положить $q(\tau) = C_0$. Тогда из (4.6) получим замкнутое решение

$$z_0 + = \frac{(\omega - x_2) x_1 - x_2 (\omega - x_1) e^{A^* u}}{4}$$
 где $u = A^* = -3 G C_0$, а x_1 и x_2 — кории уралиения $x^* = \gamma_0 (1 + 3 G C_0) x - \omega_{00}^* = 0$

Аналогичным образом, если принять $f(z_0) = 1$ — то решение получается в кнадратурах

$$\ln \left| \frac{(t)}{z_{0}^{2}(t) - z_{0}z_{0}(t) + z_{0}} \right| = \frac{3z_{0}}{4p + 3z_{0}^{2}} \operatorname{artco} \frac{2V \cdot 4p_{*} + 3z_{0}^{2}[z_{0}(t) - z_{0}]}{4p_{*} + 3z_{0}^{2} + [2z_{0}(t) - z_{0}]} = A_{*} (3z_{0}^{2} + p_{*})(t - z_{0}^{2})$$

$$A_* = -3 GC_0(q^k, p_* = (1 + 3 GC_0) (3 GC_0 k)^{-1}$$

$$-\frac{q_*}{2} + 1 \overline{Q_*} + \sqrt{-\frac{q_*}{2} - 1 Q_*}, q_* = -D(\tau_1) g (3 C_0 k)^{-1}$$

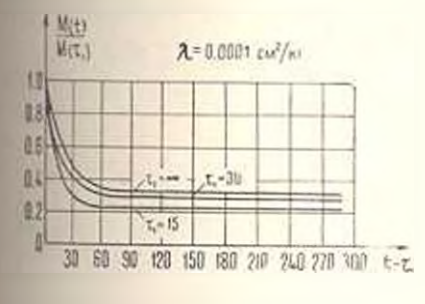
$$Q_* = \left(\frac{p_*}{3}\right)^3 + \left(\frac{q_*}{2}\right)^2$$

На ЭВМ "EC-1022" при значениях параметров ch $z_0=3$, $a=6\sqrt{8}$ см, $\alpha_0-\alpha_1=(2\sqrt{8})^{-1}$, $A_1=4.82\cdot 10^{-5}$ см² день/кг, $C_0=0.9\cdot 10^{-5}$ см²/кг, $3~G=2\cdot 10^5~\kappa r/c$ м², $\gamma_0=0.026~\frac{1}{\rm день}$,

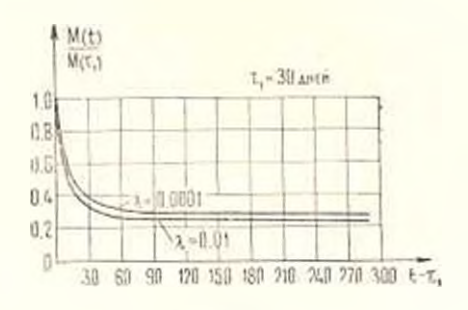
$$M(z_1) = 500 \ \kappa z c M$$

еню решение задачи о релаксации крутящего момента тонкостенного стержия. Вычисления показывают, что значения $M(t)/M(\tau_t)$, полученные при помощи формул (4.7) и (4.8), отличаются на 10^{-5} , следователью, в общем решении (2.2) урависния (4.6) можно ограничиться первыми двумя приближениями.

На фиг. 7 и 8 показано изменение крутящего момента по времени при равличных значениях т. и л.



Фиг. 7.



Фиг. 8.

За постановку задачи и постоянное внимание выражаю благодарность нему научному руководителю проф. М. А. Задояну.

Единиский политехнический пиститут им. К. Маркса

Поступная 2 Х 1980

3. Մ. ՓՈԼԱԳՑԱՆ

որություն բողքում հուր ուները բողք ուներունը ուրագրեր հետաքուն ուներուն

Ամփոփում

Ո**ւսումնասիրվում** է կորադիծ ձհղթով կոր սնամեջ ձողի ոլորումը ոչ դծայթե առա<mark>նդական սող</mark>թի դեպրում։ Օղտադործելով իհորական կոսրդինատ-- Արս<mark>ահակադար</mark>ձային մ. ողով խնդիրը լարումների ֆունկցիայի նկատմամբ թերվում է ոչ-դծային ինտեղրո-զիֆերենցիալ Հավասարման, որի լուծումը փնտրվում է աստիճանային չարթի օգնությամբ և ապացուցվում է այդ շարթի զուդամիտությունը։ Դիտարկվում են մի քանի մասնավոր դեպքեր։ Բարակապատ բաց պրոֆիլով ձողի Համար լուծված են սողջի և ռելաքսացիայի խնդիրները։ Վերջինիս Համար բերված թվային օրինակների Տիման վրա կառուցված են գրաֆիկներ։

THE TORSION OF A CURVED HOLLOW CORE WITH CURVILINEAR SLOTS UNDER NON-LINEAR CREEP

F. M. POLADIAN

Summary

The torsion of a curved hollow core with curvilinear slots is considered under non-linear hereditary creep. By using toroidal coordinates and the semi-reverse method the problem is reduced to the non-linear integro-differential equation with respect to the stress function. The solution of this equation is obtained in the form of a power series and the series convergence is proved.

Some particular cases are treated.

For a thin-walled core of an open section the problem of creep and relaxation is solved. Graphs for relaxation are plotted on the basis of numerical examples.

ANTEPATYPA

- 1. Аритюнян Н. Х. Некоторые вопросы теории ползучести. М. Л., ГИГГА, 1952,
- 2. Задоян М. А. Пластическое кручение неполного тора. ДАН СССР, 1975, т. 223. № 2.
- 3. Залоян М. А. Пластическое кручение сектора кольца. Изв. АП СССР, МТТ, 1977, No. 1.
- 4. Интерниция В. В. Теприя упругости. М.—А., Судстройнодат, 1962.
- 5. Курант Р. Уравнения с частными производными. М., «Мир», 1965.
- Арутюнян И. Х., Манукян М. М. Крученке тонкостенных стержней открытого профиля и условиях исустановнишейся ползучести. Изв. АН СССР, механика и машиностроспис, 1959, № 6.

А. П. СЕЙРАНЯН

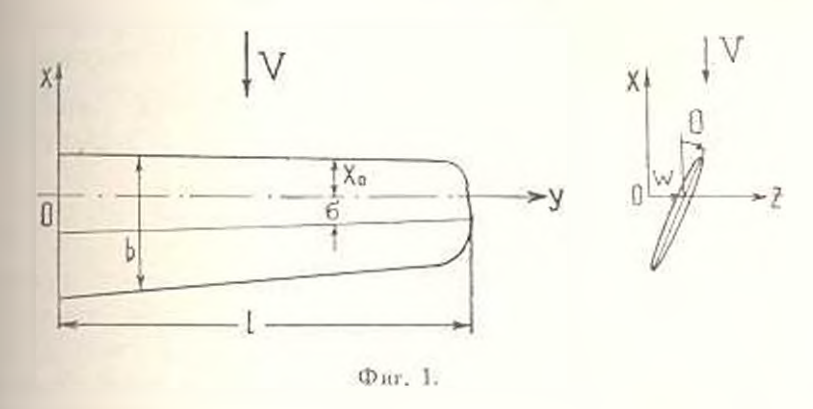
ВЛИЯНИЕ РАСПРЕДЕЛЕНИИ МАСС И ЖЕСТКОСТЕИ НА КРИТИЧЕСКУЮ СКОРОСТЬ ФЛАТТЕРА

исследуется влияние распределений масс и жесткостей крыла большого удлинения на критическую скорость изгибно-крутильного флаттера выжимаемом потоке газа. Выведены соотношения, описывающие измежене флаттерных характеристик в зависимости от вариаций масс и жесткостей по размаху крыла. Описан алгоритм перераспределения этих величии с целью повышения критической скорости флаттера. Приведены и проаназапрованы результаты численных расчетов.

Задачи оптимизации флаттерных характеристик в дискретной постаповке рассматривались в работах [1—4].

1. Рассмотрим колебания тонкого крыла в несжимаемом потоке газа.

Вредполагается, что крыло представляет собой упругую балку тонкостенного сечения с прямой упругой осью Оу, перпендикулярной фюзеляжу (фит. 1). Ось Ог направлена перпендикулярно вверх к плоскости чертежа. Ось инерции показана на фиг. 1 сплошной линней.



Деформация крыла характеризуется перемещением w(x, t) и углом ворота $\Theta(x, t)$ относительно упругой оси. Уравнения движения крыла в втоке имеют вид [5, 6]

$$\frac{\partial^{2}}{\partial y^{2}} \left(E I \frac{\partial^{2} w}{\partial y^{2}} \right) + m \frac{\partial^{2} w}{\partial t^{2}} - m z \frac{\partial^{2} \Theta}{\partial t^{2}} = I_{-}$$

$$- \frac{\partial}{\partial y} \left(G J \frac{\partial \Theta}{\partial y} \right) - m z \frac{\partial^{2} w}{\partial t^{2}} + I_{m} \frac{\partial^{2} \Theta}{\partial t^{2}} = M_{a}$$
(1.1)

В этих уравнениях EI и GI — жесткости на изгиб и кручение m в I_m — масса и массовый момент инерции, приходящиеся на единицу размаха. О — расстояние между упругой осью и осью инерции, L_a и M — соответственно авродинамические сила и момент относительно упругой оси на единицу размаха.

Для описания аэродинамических сил примем гипотезу стационаристи [5, 6], согласно которой аэродинамические характеристики крыла в неустановившемся движении заменяются в каждын момент временя характеристиками того же крыла, движущегося с постоянной линейной в угливой скоростями, равными скоростями действительного движения. Выражения для L и M записываются в виде

$$M_{a} = C_{a} V b \left[\Theta + \frac{b}{V} \left(\frac{3}{4} - \frac{x}{b} \right) \frac{\partial \Theta}{\partial t} - \frac{1}{V} \frac{\partial w}{\partial t} \right]$$

$$M_{a} = C_{a}^{1} V b \left[\Theta + \frac{b}{V} \left(\frac{3}{4} - \frac{x_{0}}{b} - \frac{\pi}{16 C_{m}^{3}} \right) \frac{\partial \Theta}{\partial t} - \frac{1}{V} \frac{\partial w}{\partial t} \right]$$

$$(1.2)$$

где b — хорда крыла, x. — расстояние от передней кромки до упругой оси, p — плотность газа. V — скорость потока. Теоретические значения аэрохинамических коэффициентоп C° и C для тонкого крыла бесконечного размаха составляют соотнетственно C° — C_m — C_m — C_m — 0.25). Граничные условия для w и b имеют вид

$$w = \frac{\partial w}{\partial y} = \theta = 0 \quad \text{при} \quad y = 0$$

$$EI \frac{\partial^2 w}{\partial y^2} = \frac{\partial}{\partial y} \left(EI \frac{\partial^2 w}{\partial y^2} \right) = G / \frac{\partial \Theta}{\partial y} = 0 \quad \text{при} \quad y = I$$
(1.3)

Система уравнений (1.1)—(1.3) представляет собой линейную однородную красвую задачу. Решение уравнений (1.1)—(1.3) будем искать в виде

$$w(y, t) = u(y) e^{it}, \quad \Theta(y, t) = v(y) e^{it}$$
 (1.4)

где k— собственное значение, u(y), v(y)— собственные функции. В силу неконсервативности задачи i, u(y), v(y) — вообще говоря, комплексные величины, $i = q + i \omega$, $u(y) = u_1(y) + i u_2(y)$, $v(y) = v_1(y) + i v_2(y)$, i — минмая единица. В зависимости от скорости потока V амилитула колебаний может убывать с течением времени (Rei < 0, устойчивость), либо возрастать (Rei > 0, пеустойчивость). Газанчают два ти па потери устойчивости: колебательный тип (флаттер) и апериодический (динергенция) [7]. Критическая скорость флаттера V_f харам теризуется соотношениями Rei = 0, Imi = u = 0, где частом флаттера, а критическая скорость динергенции V_d — равенством V_d —

Запишем уравнения движения крыла при флаттере. Для этого в (14) положим $\lambda=10$. Подставим затем выражения (1.4) в (1.1)—(1.3) и используем в них $V=V_J$. В результате придем к системе уравнений для соб-

ственных функций u(y), v(y). Искомыми ведичинами также являются контическая скорость флаттера V_f и частота флаттера Φ

$$Lf = \begin{pmatrix} L_{11} L_{12} \\ L_{21} L_{22} \end{pmatrix} \begin{pmatrix} a \\ v \end{pmatrix} = 0$$
 (1.5)

где L, - линейные дифференциальные операторы вида

$$L_{11} = \frac{d}{dy^{2}} \left(E I \frac{d}{dy^{2}} \right) - m e^{a^{2}} + i e^{a} C^{a} \circ V_{f} b$$

$$L_{12} = e^{a} - C^{a}_{g} \circ V_{f}^{2} b - i e^{a} C^{a}_{g} \circ V_{f} \left(\frac{3}{4} - \frac{\pi}{b} \right) b^{2} \qquad (1.6)$$

$$L_{11} = m^{2} + i e^{a} C^{a}_{g} \circ V_{f} b^{2}$$

$$L_{22} = \frac{d}{dy} \left(\frac{d}{dy} \right) - C^{a}_{g} \circ V_{f} b^{2} - C^{a}_{g} \circ V_{f} b^{3} - C^{a}_{g} \circ V_{f} b^{3} \right) = C^{a}_{g} \circ V_{f} b^{3} \left(\frac{3}{4} - \frac{\pi}{b} - \frac{\pi}{16 C^{a}_{g}} \right) i e^{a}$$

Граничные условия для функций и и в следуют из условий (13)

$$u = \frac{du}{dv} - v = 0 \quad \text{при } u = 0$$

$$EI \frac{d^2u}{dy} - \frac{d}{dy} \left(EI \frac{d^2u}{dy} \right) = G \frac{dv}{dy} = 0 \quad \text{при } y = l$$
(1.7)

Рассмотрим теперь задачу о дивергенции крыла в потоке газа. Для этого в выражениях (1.4)—(1.6) положим $\lambda=0$. В результате придем к посопряженной и положительно определенной задаче на собственные значения [9]

$$\frac{d}{dy}\left(GJ\frac{dv_d}{dy}\right) + C_m^a + V_d^* b^2 v_d = 0$$

$$v_d(0) = 0, \quad \left(GJ\frac{dv_d}{dy}\right) = 0$$
(1.8)

Здесь через $v_d(y)$ обозначена собственная функция дивергенции Критическая скорость дивергенции V_a определяется наименьшим собственвым значением задачи (1.8).

Введем управляющую функцию h (g). Предположим, что сечение крыла плоскостью g = const представляет собой тонкостенный замкнутый профиль произвольного вида. Если изменить толщины всех силовых элементов профиля в h раз, то жесткостиые и массовые характеристики этого сечения El, Gl, l_m , m также изменятся в h раз, а величины a, a0 останутся вензменными. Поэтому можно положить

$$EI(y) = EI_0(y) h(y), GI(y) = GI_0(y) h(y)$$

$$I_m(y) = I_{m_0}(y) h(y), \quad m(y) = m_0(y) h(y)$$
(1.9)

где EI GI_{\bullet} , I — некоторые фиксированные начальные распределения массовых и жесткостных характеристик.

Функция h(y) будет служить безразмерной управляющей функцией. По смыслу $h(y) \ge 0$. Варьирование ею приводит к перераспределению масс и жесткостей и, следовательно, к изменению критических скоростей флаттера и дивергенции.

Наша цель состоит в исследовании влияния различных распределений h(y) на критическую скорость флаттера, а также в том, чтобы целенаправленным изменением h(y) добиться увеличения критической скорости потери устойчивости, сохраняя полную массу крыла неизменной.

2. Вычислим приращение критической скорости флаттера в зависимости от вариации δh .

Введем в рассмотрение сопряженную [8] к (1.5), (1.7) задачу о флаттере, которая потребуется в дальнейшем

$$L^{T}p = \begin{pmatrix} L_{11} & L_{21} \\ L_{12} & L_{22} \end{pmatrix} \begin{pmatrix} \varphi \\ \psi \end{pmatrix} = 0$$
 (2.1)

Операторы L_{ij} определяются выражениями (1.6). Функции и $\psi(y)$ комплексные величины $\phi = \phi_1 + i\phi_2$. Граничные условия для них имеют вид

$$\varphi = \frac{d\varphi}{dy} = \psi = 0 \quad \text{при} \quad y = 0$$

$$EI \frac{d^2 \varphi}{dy^2} = \frac{d}{dy} \left(EI \frac{d^2 \varphi}{dy^2} \right) = GJ \frac{d\psi}{dy} = 0 \quad \text{при} \quad y = I$$

$$(2.2)$$

В силу сопряженности краевых задач можно показать, что критическая скорость и частота в задачах (1.5), (1.7) и (2.1), (2.2) совпадают. Эти задачи линейны и однородны относительно вектор-функций l и p, поэтому l и p определены с точностью до произвольного комплексного множителя.

Перейдем к вычислению варнаций. Для этого вернемся к задаче о флаттере (1.5), (1.7) с учетом (1.9). Варнация δh (у) приводит к приращениям величии V_{i} , от и комплексной вектор-функции f (у). Приращения δh (у), V_{i} , δm — действительные величины, варнация комплексной функции δf (у) имеет вид

$$\Im f(y) = \begin{pmatrix} \omega_1(y) + i\delta u_1(y) \\ \delta v_1(y) + i\delta v_2(y) \end{pmatrix}$$

Запишем для задачи (1.5), (1.7) уравнения в варнациях

$$K(\delta h) f + L_{V_f} f \delta V_f + L_{w} f \delta w + L \delta f = 0$$
(2.3)

$$\delta u = \frac{d}{dy} \delta u = \delta v = 0 \quad \text{при} \quad y = 0$$

$$EI_0 \circ h \frac{d^2u}{dy^2} + EI \frac{d^2\partial_u}{dy} = \frac{d}{dy} \left(EI_0 \circ h \frac{d^2u}{dy^2} + EI \frac{d^2\partial_u}{dy^2} \right) =$$

$$= GI_0 \circ h \frac{du}{dy} + GI \frac{d}{dy} \circ v = 0 \quad \text{при} \quad y = I$$

где матрицы L_{Γ_f} и L_{\odot} получаются из матрицы L_i см. (1.5), (1.6), формальным дифференцированием по параметрам V_f и \odot соответственном вытричный оператор K(3h) имеет вид

$$K(\delta h) = \begin{pmatrix} \frac{d}{du^{\alpha}} \left(EI_0 \delta h \frac{d^{\alpha}}{du^{\alpha}} \right) + m_0 \omega^2 \delta h, & m_0 \delta \omega^{-2} \delta h \\ m_0 \delta \omega^{2} \delta h, & -\frac{d}{dy} \left(GI_0 \delta h \frac{d}{dy} \right) - 1 \end{pmatrix}$$
(2.4)

Умножим уравнение (2.3) слева на вектор-функцию строку p(y) = -(y(y), y(y)), где p является решением сопряженной задачи (2.1), (2.2) и результат проинтегрируем от 0 до l

$$\int_{0}^{t} \left[p^{T} K(\tilde{c}h) f + \left(p^{T} L_{1} f \right) \tilde{c} V_{1} + \left(p^{T} L_{...} f \right) \tilde{c} u + p^{T} L \tilde{c} f \right] dy = 0$$
 (2.5)

Интегрируя далее по частям и учитыная граничные условия (2.2). (2.4), можно убедиться в том, что

$$\int_{0}^{t} (p L^{2}f) dy = \int_{0}^{t} (\sqrt{f}L^{2}p) dy = 0$$

(последнее равенство справедливо в силу (2.1)), а первый член в (2.5) приводится к виду

$$H = EI_0 \frac{d^2u}{dy^2} \frac{d^2\varphi}{dy^2} + GJ_0 \frac{dv}{dy} \frac{d^2\varphi}{dy} + GJ_0 \frac{dv}{dy} + GJ_0 \frac{dv}{dy$$

Введем также обозначения

$$A = \int_{0}^{t} (p^{T} L_{v_f} f) dy, \quad B = \int_{0}^{t} (p^{T} L_{v_f} f) dy$$
 (2.7)

В результате (2.5) примет вид

$$H \delta h \, dy + A \delta V_I + B \delta \omega = 0 \tag{2.8}$$

Отметим, что функция H представляет собой комплексную функцию действительного переменного u, а константы A и B - - комплексные числа. Умножим (2.8) на комплексно сопряженную к B величину B и от результата возьмем минмую часть. B силу того, что Im(BB) = 0 и δV , $\delta \omega$ — действительные величины, приходим к выражению для вариации

$$2V_{j} = \int_{B} g \, \delta h \, dy, \quad g = -\frac{\operatorname{Im}(H \, \overline{B})}{\operatorname{Im}(A \, \overline{B})} \tag{2.9}$$

Таким образом, функция д является граднентом функционала критической скорости флаттера по управляющей функции h.

Аналогично на (2.8) можно найти также вариацию частоты флаттера

$$\delta m = \int e \, \delta h \, dy, \quad e = -\frac{\operatorname{Im}(H\overline{A})}{\operatorname{Im}(B\overline{A})}$$
 (2.10)

Гаким образом, для определения градиентов g и с следует решить прямую и сопряженную задачи о флаттере (1.5), (1.7); (2.1), (2.2) и определить комплексные вектор-функции f(y), p(y) и значения V_f и ω . По ним согласно (2.6), (2.7) следует вычислить комплексные константы A и B и функцию H, а затем из (2.9), (2.10) найти градиенты g и e.

Описанный в этом параграфе способ вычисления градиентов от флаттерных характеристик по управляющей функции h (y) можно использовать при вычислении градиентов по любым другим независимым функциям или параметрам задачи. Знание градиента от критической скорости флаттера по различным распределениям и параметрам позволяет рациональным образом улучшить флаттерные характеристики конструкции.

3. Выведем необходимые условия максимума критической скорости флаттера при заданной полной массе материала, из которого изготовлено крыло.

Ограничение на полную массу характеризуется постоянством интеграла

$$M = \int_{0}^{t} h(y) m_{0}(y) dy = \int_{0}^{t} m_{0}(y) dy$$
 (3.1)

Градиент функционала M по h равен m_n . Рассмотрим дополнительное ограничение на управляющую функцию h (у)

$$h_{\min} \leqslant h\left(y\right) > h_{\max} \tag{3.2}$$

С учетом пыражения для градиента критической скорости флаттера (2.9) и условия (3.1) запишем перную париацию

$$\partial V_{j} = \int_{0}^{\infty} (g(y) - \mu m_{j}(y)) \omega(y) dy$$
 (5.3)

Здесь и - неизвестный множитель Логранжа.

Если функция $h_o(y)$ такова, что функционал V, достигает своего максимума, то $\delta V_f = 0$ на произвольных варнациях δh_i , удовлетворяющих ограничению (3.2). Отсюда с использованием выражения (3.3) получим вобходимые условия локального максимума функционала V_f при ограничениях (3.1), (3.2)

$$g(y) + \mu m_0(y) > 0 h_0(y) = h_{\text{max}}$$

$$g(y) + \mu m_0(y) = 0 h_{\text{min}} \cdot h_0(y) \cdot h_{\text{max}}$$

$$g(y) + \mu m_0(y) < 0 h_0(y) = h_{\text{min}}$$
(3.4)

где множитель и определяется изопериметрическим условием (3.1).

Основываясь на необходимых условиях экстремума, запишем итерационную формулу

$$h^{(n+1)} = h^{(n)} + 2h^{(n)}, \qquad (y) = \mu^{(n)} m_0(y)$$
 (3.5)

где верхний индекс в скобках (л) означает номер итерации; 2^(л) — щаг по градиенту, выбираемый вычислителем.

$$a^{(n)} > 0$$
: $u^{(n)} = -\int_{U(n)} m_0 g^{(n)} dy / \int_{U(n)} m_n^2 dy$.

 $Q^{(*)}$ — область, в которой $h_{\min} < h^{(*)} < h_{\max}$, $Q^{(*)} \subset [0, l]$. Начальную функцию $h^{(0)}(y)$ следует выбирать удовлстворяющев ограничения (3.1), (3.2). После выполнения очередной итерации по формуле (3.5) вроверяется ограничение (3.2) и в случае его нарушения функция $\delta h^{(n)}$ всправляется на допустимую следующим образом:

$$\delta h^{(a)} > h_{\text{max}} - h^{(a)}$$
 , τo $\delta h^{(a)} = h_{\text{max}} - h^{(a)}$ (3.6)

CCAR

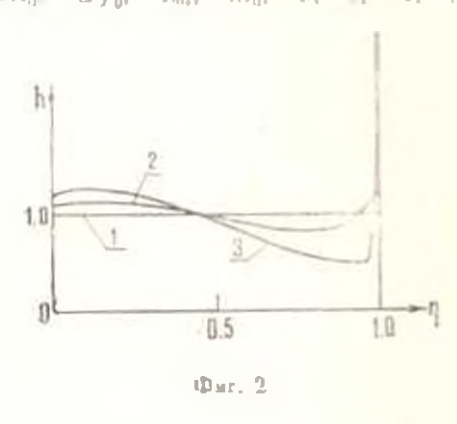
$$\delta h^{(n)} \le h_{\min} - h^{(n)} \qquad \delta h^{(n)} = h_{\min} - h^{(n)}$$

Из соотношений (3.3), (3.5) следует, что при отсутствии ограничения (3.2) на каждом шаге итерационной процедуры выполняется условие (3.1), и критическая скорость флаттера попраствет б 1, 0. Можно показать, что это утверждение остается справедлиным и при наличии ограничения (3.2).

На каждом шаге градиентной процедуры по h для вычисления следующего приближения следует решать прямую и сопряженную задачу о флаттере. Решение задачи о флаттере (1.5), (1.7) в данной работе осуществлялось методом последовательных приближений, изложенным в [5]. Решение сопряженной задачи о флаттере (2.1), (2.2) также осуществлялось методом последовательных приближений по аналогичной программе. Получающиеся в прямои и сопряженной задаче значения h, и h0 сравиивались, что являлось одним из признаков верной работы алгоритма решения флаттерной задачи.

Кроме задачи о флаттере, на каждом шаге градиентной процедуры решалась задача о дивергенции (1.8). Решение этой задачи осуществлялось методом последовательных приближений, изложенным в [9]. В результате определялась критическая скорость дивергенции V_{\perp} . Опишем весь ход вычислительного пропесса: 1) задается приближение $h^{(n)}$ (у), удовитворяющее ограничениям (3.1), (3.2); 2) решаются прямая и сопряженная задачи о флаттере (1.5), (1.7), (2.1), (2.2) и находятся функции $u^{(n)}$, $v^{(n)}$, их производные и значения V_f и 3) имчисляются величины H_f (у), $A^{(n)}$, $B^{(n)}$ согласно (2.7) и находится градиент (у): 4) определяется облаеть $\Omega^{(n)}$, находится константа $\mu^{(n)}$ и вычисляется вариация $\partial h^{(n)}$ (у) согласно (3.5), (3.6), определяется $h^{(n)}$ (у) и т. д.

4. В качестве примера рассматривалось примоугольное крыло с постоянными по размаху характеристиками. Исходиме данные $EL_0 = GI_0$, I_{m_0} , I_{m_0} , I_0 ,



№ 3. Значение плотности гина при расчетах полагалось ранным —0.125 мг ле. Для удобства расчетов внодилась безразмерная перемения — y/t. Отрезок [0, 1] разбинался на № 20, 40 ранных промежутков, численное интегриронание осуществлялось методон трапеций. В ограничении (3.2) полагалось h_{шін} = 0, h_{шін} = 4.5. Изопериметрическое условие (3.1) винду постоянства то принимает вид

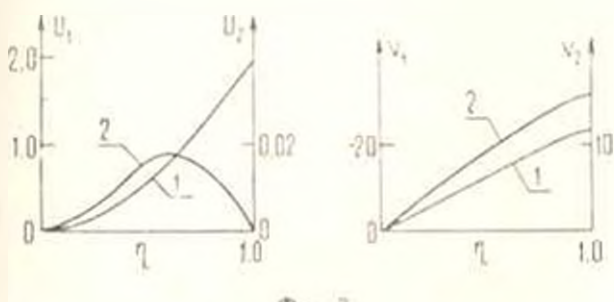
$$\int_{0}^{1} h(\tau_{i}) d\tau_{i} = 1.$$

В качестве начального приближения возьмем функцию $h^{(6)}(\eta) = 1$. На фиг. 2 цифрами 1–2, 3 показано поведение распределений $h(\eta)$ в зависимости от возрастающего числа итераций. Остановка итерационного процесса (3.5), (3.6) производилась при выполнении необходимых условий локального максимума (3.4) с точностью до $\epsilon = 10^{-1}$.

Функция (1,), реализующая максимум критической скорости флаттера, отмечена на фис 2 цифрой 3. Функция 1 (п) независимо от параметря $h_{\rm max}$ выходит на верхнее ограничение при п = 1. Физически это означает, что для повышения скорости флаттера на свободном конце крыла следует сосредоточить масс)

Критическая скорость флаттера со значения $V_f = 29.4$ месм, соотнетствующего начальному приближению $h^{(+)}(z) = 1$, повышается до неличины $V_f = 30.9$ месм для распределения $h_{-}(z)$. При этом частота флаттера о изменяется от начального значения 107.1 сем $^{(+)}$ до 112.4 сем $^{(+)}$. Таким образом, пыигрыш и критической скорости флаттера неяелик, он составляет $\approx 5\%$. Отметим, что критическая скорость дивергенции для распределений $h_{-}(z)$, представленных на фиг. 2, значительно пренышает соотнетствующую скорость флаттера.

Еобственные функции $u(\eta) = u_1(\tau_1) \div iu_2(\tau_1)$, $v(\tau_1) = v_1(\tau_1) + iv_2(\tau_1)$, представлены на фиг. 3. Эти функции определены с точностью до произвольного комплексного множителя. В работе была использована следующая нормировка собственных функции и v:u(1) = 2. Отметим, что в ходе итерации характер атих кривых не писиялся



Фиг. 3.

К распределению $h_*(\eta)$, описанному выше, можно придти, начиная итерационный процесс не только с функции $h^{(c)}(\eta) = 1$, но и с других мачальных приближений, например, с $h^{(c)}(\eta) = 1.95 - 1.9 \ \eta$ и пр.

Однако оказывается, что функция $h_{\rm e}$ (η) реализует лишь локальный максимум функционала критической скорости флаттера при заданной полной массе. Так начальное приближение $h_{\rm e}$ (η) = 2.7 ($1-\eta$)² + 0.1, помечение на фиг. 4 инфрой 1, котя и приводит к небольшому значению притической скорости $V_{\rm e}$ = 29.1 м/сек ($V_{\rm eff}$ 57.5 м сек), однако градиент функционала $g_{\rm eff}$ (η) при этом распределении оказывается большим по абсолютной величине (фиг. 5).

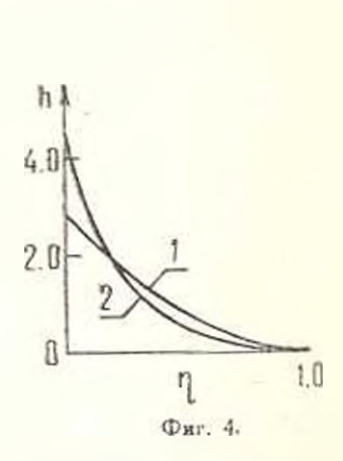
Отметим, что функция $g_{\tau}(\eta)$ в отличне от граднентов в случае распределений, представленных на фиг. 2, на отрезке [0,1] меняет знак. Из рассмотрення фиг. 5 следует, что особенно чувствительным к вариациям распределений $h(\eta)$ оказывается свободный конец крыла $(\eta-r)$. Незнавительное уменьшение материала в этой области может привести к замегному повышению значений 1

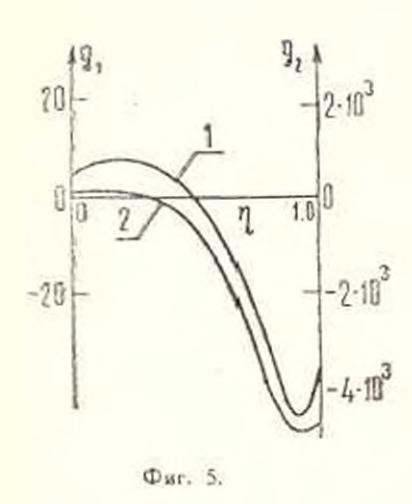
Из того, что градиент $g_{*}(\eta)$ принимает на отрезке $\{0,1\}$ отрицательные вначения, следует вывод о том, что функционал V, можно повышать, уменьшая при этом полную массу крыла. Таким образом, существуют расвредсления $h(\eta)$, для которых уменьшение веса не противоречит повышению критической скорости флаттера.

Несколько итераций с малым щагом от распределения $h_1(\eta)$ приводят в значительному повышению критической скорости флаттера. Распределение $h_2(\eta)$, отмеченное цифрой 2 им фиг. 4, обладает значением $V_f=48.3$ м/сек., однако при этом оказывается $V_f=48.0$ м/сек $< V_f$. Поэтому конструкции крыла с таким распределением материала теряет устоичивость по дивергенции. Выигрыш в критической скорости потери устоичивости по сравнению с исходным париантом составляет $\approx 63\%$.

Интересно отметить, что в ходе итерационного процесса от распределения $h_1(\eta)$ и $h_2(\eta)$ характер колебаний при флаттере существенно изме-

няется. На формах колебаний u (η), v (η) появляются узлы. Частота флаттера при этом возрастает от значения $\omega_i = 224.5$ сек $^{-1}$ до величины $\omega_z = 262.0$ сек $^{-1}$.





Ивститут проблем механики АН СССР

Поступила 23 IV 1980

น. ๆ. บธรกนารนา

ԶԱՆԳՎԱԾՆԵՐԻ <mark>ԵՎ ԿՈՇՏՈՒԹՅՈՒՆՆ</mark>ԵՐԻ ԲԱՇԽՈՒՄՆԵՐԻ ԱԶԴԵՑՈՒԹՅՈՒՆ<mark>Ը ՖԼԱՏԵՐԻ ԿՐ</mark>ԵՏԻԿԱՆ ԱՐԱԳՈՒԹՅԱՆ ՎՐԱ

Անփոփում

Ուսումնասիրվում է ղանդվածների և կոշտություների բաշխումների աղդեցությունը չսեղմվող դազի հոսքում թեի ծոման-ոլորման ֆլատերի կրիտիկական արագության վրա։ Ստացվել են արտահայտություններ հլատերի կրիտիկական արադության դրադիննաների և ըստ թեի բացվածքի ղանդվածների և կոշտությունների բաշխումների հլատերի ժամանակ տատանումների հաճախականության համար։ Նկարագրված է այդ մեմությունների վերարաշխման ալգորիթմը ֆլատերի կրիտիկական արադության մեծացման նպատակով, երբ սահմանափակվում է թեի լրիվ դանդվածը։ Բերվում են և վերլումվում թվային հաշվումների արդյունըները։

INFLUENCE OF MASS AND STIFFNESS DISTRIBUTIONS ON FLUTTER VELOCITY

A. P. SEYRANIAN

Summary

Influence of spanwise mass and stiffness distributions of a wing in incompressible gas flow on the bending—torsional flutter velocity is investigated. The gradients of flutter velocity and flutter frequency are

blained. The algorithm for redistribution of these values is proposed to berease the critical velocity of flutter with the constraints on the total weight of a wing. Numerical results are presented and discussed.

ЛИТЕРАТУРА

- 1 Буньков В. Г. Расчет оптимальных флаттерных характеристик методом градиента. То. НАГИ, 1969. № 1166.
- 2 бирюх В. И. О задаче оптимального проектирования конструкции крыла из условий прочности и вароупругости. Ученые записки ЦАГИ, 1972, № 4.
- Haftka R. T., Starnes J. H. Jr., Barton F. W., Dixon S. C. Comparison of two types of structural optimization procedures for flutter requirements. AIAA J. 1975, vol. 13, No. 10.
- 4. McIntosh S. C. fr., Ashley H. On the optimization of discrete structures with asroclastic constraints. Computers and Structures, 1978, vol. 8, № 3/4.
- 5. Гроссиин E. II. Флаттер. Тр. ЦАГИ, 1937, № 284.
- в. Омя Я. Ц. Введение в теорию аэроупругости. М., Физматгиз, 1959.
- 7. Волотих В. В. Неконсервативные задачи теории упругой устойчивости. М., Физматгвз, 1961.
- 8. Канкс Э. Справочник по обыкновенным дифференциальным уравнениям. М., «Наука».
- 9 Колчоти Л. Задачи на собственные значения. М., «Мир», 1969.

Մեխանիկա

XXXIV, № 3, 1981

Механика

В. М. СМОЛЬСКИЯ

ОЦЕНКА ХАРАКТЕРИСТИК ВРЕМЕНИ ДО РАЗРУШЕНИЯ ПОД ДЕЙСТВИЕМ СЛУЧАЙНЫХ НАГРУЗОК ДЛЯ УПРОЩЕННОЙ МОДЕЛИ РАСПРОСТРАНЕНИЯ ТРЕШИНЫ

Задача оценки надежности, долговечности и ресурса летательного анпарата, подверженного в процессе аксплуатации случайному нагружению, обычно разбинается на следующие важные задачи: определение спектра случайных нагрузок, действующих на летательный анпарат; определение переходной функции наиболее «опасного» алемента конструкции летательного анпарата как линейной колебательной системы; определение характеристик оремени до разрушения атого элемента конструкции от деиствия случайного нагружения.

Концепция наиболее «опасного» влемента естественна при оценке ресурса и долговечности конструкции в целом, так как расчет на прочность и проектирование поиструкции осуществляется по предельным статическим, а не динамическим нагрузкам, поэтому конструкция летательного анпарата является относительно равнопрочной, в то время как по критериям долговечности и ресурса солержит «узкие места».

Первая из перечисленных задач является задачей измерения и успешно решается акспериментально [1]: для решения второй задачи, которая является задачей теории колебаний, имеются испытанные расчетные методы [2, 3]: третья задача непосредственно связана с процессом разрушения, ей и посвящена пастоящая работа.

Задачей оценки характеристик времени до разрушения под действием случайной нагрузки интенсивно занимаются с 60-х годов нашего века. Первые работы в этом направлении связаны с ввристическими подходами; подмечались закономерности при разрушении от циклических нагрузок различной амплитуды и осуществлялся прямей перенос их на разрушение при случайном нагружении, при этом подмеченные эмпирические закономерности высказывались в виде гипотез. Наиболее часто употребляемой из них ниляется гипотеза минейного суммирования повреждений. Зная кривую усталости материала и пользуясь гипотезой линейного суммирования повреждении, можно съязать среднее время до разрушения конструкции с пвраметрами случайной пагру ки и вкспериментально определяемыми постоянными. Хотя этот подход применяется на практике и и настоящее премя, результаты его применения ислызи считать надежными для оценки долговечности элемента конструкции.

Другой эпристический подход связан с идентификацией процесса наконления попреждений дискретиым марковским процессом с конечным инслом состояний [4]. С течением времени повреждения необратимо перегода из одного состояния в другое, и изменяется пероятность перехода из текущего состояния в конечное. При таком подходе требуется осуществлять вычисление степеней матриц, порядок которых равен числу состояний, в то время как накопление повреждения в первом порядке происходит вдоль трасктории некоторого дифференциального уравнения. В связи с этим в последнее время успешно развиваются полходы, связанные с иден: ификацией процесса накопления повреждений непрерывной марковской переменной. Для случая процесса, однородного по временной и пространственной координатам, в [5] определена плотность вероятности времени до разрушения. Однако, процесс накопления повреждений является ограниченным и, следовательно, не является однородным по пространственной координате.

В 70-х годах с помощью механики разрушения удалось вскрыть механизм усталостного разрушения и важность «усталостной» части книетической днаграммы при действии случайных нагрузок. Установлено [6], что при размерах дефектов, характерных для усталостного разрушения, влияние случайных выбросов значительно весомее, чем на ранней стадии зарождения трещины. Поэтому в настоящей работе уравнение скорости роста усталостной трещины, полученное в [7], приближению заменено стохастическим дифференциальным уравнением с белым шумом, для которого аналитически выписаны моменты и плотность вероятности времени достижения трещиной критической длины. Для выяснения границ применимости предлагаемого упрощения распределение времени до разрушения сравнивается с логарифмически нормальным распределением.

В [7] для усталостного распространения трещины в пластине при случайных нагрузках получена формула

$$\frac{d}{dt}\left(-\frac{1}{l}\right) = \begin{cases} \frac{2\beta^{-2}}{K_C^4} \, \xi^3 \, \dot{\xi}, & \xi > 0 \, \land \dot{\xi} > 0 \\ 0, & \xi \leqslant 0 \, \lor \dot{\xi} \leqslant 0 \end{cases} \tag{1.1}$$

Здесь 2l — длина растущей трещины, много меньшая длины и ширины пластины, $\xi(t)$ — пормально действующая к трещине случайная нагрузка, K_c и \mathfrak{p} — постоянные материала пластины. Нам требуется определить характеристики времени первого достижения процессом $\xi(t)$ другого случайного процесса K_c . С целью упрощения уравиения (1.1) введем обозначения

$$I_{1}, D^{2} = \frac{4 D_{1}^{3}}{D} \cdot D_{1} = I - I_{1}, D_{2} = I_{1} - I_{3}$$

$$I_{k} = B \bigvee_{0 = 0} \int_{0}^{\infty} \int_{0}^{\infty} f_{k}(x, y, z) p(x, y, z) dz dy dx, k = 1, 2, 3, 4,$$

$$B = \frac{2}{A^{3}}, f_{1} = x^{3}y, f_{3} = 3 x^{2}y^{2} + x^{3}z, f_{2n} = B f_{2n-1}^{2}, n = 1, 2,$$

$$(1.2)$$

где p(x, y, z) — совместная плотность вероятности процесса $\xi(t)$ и его двух первых производных.

Приближенно заменим уравнение с кусочной правой частью (1.1) следующим стохастическим уравнением:

$$\frac{du}{dt} = -I - VDw(t) \quad \left(u = \frac{1}{I}\right) \tag{1.3}$$

где I и D определяются соотношениями (1.2), а w(t) белый шум $(K_w(z) = D\delta(z), Mw = 0)$. Тогда плотность вероятности достижения процессом u(t) постоянной границы и в момент t, если при t=0 и u_0 , удовлетворяет возвратному уравнению Колмогорона

$$\frac{\partial f}{\partial t} - l \frac{\partial f}{\partial u} - \frac{D}{2} \frac{\partial^2 f}{\partial u^2} = 0 \tag{1.4}$$

в области t>0, u>0 и гранячным услопиям

$$f(0, u) = a(u - u_0), u > 0; f(t, u_1) = 0, t > 0$$
 (1.5)

Моменты распределения времени достижения постоянной границы можно определить [8], не решая задачу (1.4)—(1.5), из решения итерационных краевых задач для обыкновенных дифференциальных уравнений

$$\frac{1}{2} T_0 \frac{d^2 T_n}{du^n} + I \frac{d T_n}{du} = -n T_{n-1} T_n$$

$$T_n(u_1) - T_n(\infty) = 0, \ n = 1, 2, \cdots$$
(1.6)

Моменты распределения времени до разрушения, следуя В. В. Болотину [9], можно получить в виде

$$J_{\alpha} = \int_{0}^{\frac{K_{C}}{V + t_{0}}} T_{\alpha} \left(\frac{1}{l}\right) p_{\beta} \left(\frac{K_{C}}{V + t_{0}}\right) d\left(\frac{K_{C}}{V + t_{0}}\right), \quad n = 1, 2, \dots$$
(1.7)

где P , (x) — плотность пероятности z (t). В дальнейшем будут использованы первые два момента

$$J_1 = \frac{1}{ll_0} - \frac{Q_1}{l}, J_2 = \frac{1}{l^2 l_0^2} - \frac{D}{l^3 l_0} - Q_1 \left(\frac{2}{l^2 l_0} - \frac{D}{l^3}\right) + \frac{Q_2}{l^2}$$
 (1.8)

где

$$Q_n = \int_0^\infty x^{2n} \, p_{\downarrow}(x) \, dx, \ n = 1, \ 2, \ p_{\downarrow}(x) = \int_{-\infty}^\infty \int_{-\infty}^\infty p(x, y, z) \, dy \, dz$$

В [10] решена задача (1.4), (1.5) с помощью преобразования Лапласа. Плотность вероятности f(t) времени достижения постоянной границы u_t можно записать в виде

$$tf(t) = \frac{1}{2} \left\{ \frac{\varepsilon + \gamma_i}{\sqrt{z}} \exp\left[-(\gamma_i - \varepsilon)^2\right] - \varepsilon \left[1 - \Phi\left(\gamma_i\right)\right] \right\}$$

$$(1.9)$$

$$\times \exp \left[2 i (\eta - i)\right] + \frac{\eta}{1 - i} \exp \left[2 i (\eta - i) - \eta^2\right]$$
 (1.9)

r_Ae

$$1 \le 2x_0 \ \xi = \frac{H}{\sqrt{2Dt}}, \ x = \frac{u_0 - u_0}{\sqrt{2Dt}}, \ \Phi(x) = \frac{2}{\sqrt{2}} \int_0^{\infty} e^{-tt} dt$$

Сравним плотность распределения (1.9) с логарифмически нормальной валичной распределения. Плотность распределения случайной величны $u = \inf 6y$ дет $f_n(x) = \exp(x) f(\exp(x))$ и потому f(t) надо сравнить с функцией

$$g(t) = \frac{1}{2\pi i 2} \exp \left[-\frac{(\ln t - a)^2}{2 z^2} \right]$$

Сравнение проведено на равномерном шаге по переменной х ($\alpha - 3\sigma \le x = -\ln t - a + 3\sigma$), параметры a и σ определялись методом наименьших квадратов, а начальные их значения после введения обозначений $a_1 - I' \mid D$, $a_2 = (u_0 - u_1)/ \mid D$ и использования (1.8) приближенно получены и виде

$$a = \ln (a_2/a_1), \ z = \ln (1 + 1/1 \ \overline{a_1 a_2}).$$

Для расчета наяты значения $a_1 = 10^4$, a_1 менялось от 2 до 10 с шагом 2. При атих исходных значениях и абсолютной точности поиска 10 ⁻¹ метод наименьших крадратов срабатывал вхолостую: исходные значения сразу оказывались оптимальными. Результаты сравнения сведены в табл. 1, из которой видно, что уклонение распределения (1.9) от логарифмически нормального незначительно.

Таблика $f_{\alpha}(x)$ (сверху) и $\sigma(x)$ (спизу, поручльное распределение) при различных энечениях σ , и x; вниху даны значения и и τ

-	2	40	6	8	10
a-3:	0.647	0.908	1.11	1.28	1.42
a 2 z	0.629 7.74	0.889 10.9	1,09	1.25	1.4
	7.66	10.8	13.2	15.3	17,1
<u>a</u> 3	34 3 31.3	48.5 48.5	59,4 59.4	68.6 68.6	76.6 76.7
a	56.4	79.8	97.7	112.8	126.1
	56.6	80	97.9	113,1	126.4
a :- 10 ³	8.517 0.705	7.824 0.499	7.418 0.407	7.13 0.353	6 91 0.316

Таким образом, результаты расчета обосновывают допустимость упрощения (1,3) для оценки надежности алемента конструкции и теоретически доказывают логарифмически нормальное распределение долговечности.

Московский авиационный институт

Поступила 3 \ 1979

վ. Մ. ՍՄՈԼՍԿԻ

ձԵՂՔԻ ՏԱՐԱԾՄԱՆ ՊԱՐԶԵՑՎԱԾ ՄՈԴԵԼԻ ՀԱՄԱՐ ՊԱՏԱՀԱԿԱՆ ՔԵՌՆՎԱԾՔՆԵՐԻ ԱԶԴԵՑՈՒԹՅԱՆ ՏԱԿ ՄԻՆՉԵՎ ՔԱՑՔԱՏՄԱՆ ԺԱՄԱՆԱԿԻ ՈՐՈՇԻՉԵԵՐԻ ԳՆԱՀԱՏԱԿԱՆԸ

Մ. մ փովւում

Պատագական թեռնվածբների արդերության տակ ձեղթի անման արագու-Բյան գավասարումը փոխարինվում է ստոխաստիկ դիֆերենցիալ գավասարումով, որի գամար ստացվել են ձեղթի կրիտիկական երկարությունը գասնելու ժամանակի որոշիչները։

EVALUATION OF TIME CHARACTERISTICS BEFORE FRACTURE UNDER A STOCHASTICAL LOAD FOR A SIMPLIFIED MODEL OF A CRACK GROWTH

V. M. SMOLSKY

Summary

The equation for the rate of crack growth under a stochasticalload is substituted for a stochastical differential equation for which the time characteristics of the crack's reaching a critical length are obtained.

AHTEPATYPA

- № Райхер В. Л. Гипотеза спектрального суммирования и се применение для определения усталогиюй долговечности при действии случайных напрузок. Тр. ЦАГИ, М., 1969, вып. 1134, 39 с.
- Пархомовский Я. М. О приближенном решения некоторых краевых задач прочности самолета. Ученые записки ЦАГИ, 1977. т. 8. № 6. 93—106.
- Швилкин В. А., Чидаев Б. Я., Башкин В. Н., Расчет частот и форм собственных колебаний самолета с крылом большого уданнения методом начальных параметров. Тр. ЦАТИ, М., 1975. вып. 1662, 15 с.
- Котаев В. П. Оценка распределения долгопичности при нарьируемых амплитудах методом перемножения стохастических матриц. Машиноведение. 1976. № 4, 72-79.
- 7 аркопольский Г. И. К. теорин паконачня повреждения. Тр. Новосибирского ин-та ияж. жел.-дор. тр-та, 1970, пын. 96, 184—188.
- Matolesy M. General fatigue problems of stochastically loaded (vehicle) structures. Material prufung, 1976, Vol. 18, No. 4, 115-122.

- 7. Черепиния 1. П., Смольский В. М. К расчету среднего временя до разрушения панели с треприной от случайной нагрузки. Машиноведение, 1978, № 6, 58—60.
- 8. Смольский В. М. К оценке моментов распределения времени до разрушения панели с трещиной от случайной цагрузки. Машинопедение, 1980, № 2, с. 117—119.
- 9. Болотин В. В. Статистические методы в строительной механике. М., -Стройнздат». 1965, 279 с.
- Смольский В. М. Об одной возможности оценки распределения долговечности нанелей и фюзеляжа. «Прочность, устойчивость и колебания тонкостенных конструкций». М., 1980, 53—56.